

R-1983

T 942-2

UNIVERSIDAD DE SEVILLA
Dpto. Química Org. y Farmac.
Facultad Farmacia
de este Departamento desde el dia 23 Octubre
hasta el dia 11 Noviembre
Sevilla 23 de Octubre de 1996
El Jefe del Negociado de Tesis,
Pereira Reffuto

IV PARTE EXPERIMENTAL

UNIVERSIDAD DE SEVILLA
Dpto. Química Org. y Farmac.
Facultad Farmacia
de este Departamento desde el dia 23 Octubre
hasta el dia 11 Noviembre
Sevilla 23 de Octubre de 1996
EL DIRECTOR DE

Ubs 810940

1. Métodos Generales.

Los puntos de fusión han sido determinados en un aparato Gallenkamp en un tubo capilar abierto y no están corregidos. Las rotaciones ópticas se han medido en un polarímetro Bellingham and Stanley Ltd P20, empleando luz amarilla de sodio ($\lambda = 589$ nm) a una temperatura de $20^\circ\text{C} \pm 5$. Los análisis elementales se han realizado en el Centro de Microanálisis Elemental de la Universidad Complutense de Madrid.

Los espectros de ^1H -RMN se han registrado en espectrómetros Bruker AC-P 200 (200 MHz) y AMX 500 (500 MHz); los espectros de ^{13}C -RMN en instrumentos AC-P 200 (50.29 MHz) y AMX 500 (125.72 MHz) utilizando como disolvente CDCl_3 (cloroformo deuterado). Para los valores de desplazamiento químico se utiliza el parámetro δ , en ppm, referido al TMS (tretrametilsilano) como referencia interna. La multiplicidad de las señales se indica mediante las siguientes abreviaturas: s (singulete), sa (singulete ancho), d (doblete), t (triplete), c (cuartete), q (quintuplete), dd (doble doblete), dt (doble triplete), dc (doble cuartete), ddd (doble doblete de dobletes), td (triplete de dobletes) y m (multiplete). La interpretación completa de los espectros de ^1H y ^{13}C de los productos se realizó utilizando las siguientes técnicas: Homonuclear Correlated Spectroscopy (COSY), Heteronuclear Correlated Spectroscopy (HETCOR), Distortionless Enhancement by Polarization Transfer (DEPT) y Spin Decoupling en ^1H -RMN.

Los espectros de masas se han registrado en un instrumento Kratos MS-80-RFA equipado con fuente de ionización química (CI) e impacto electrónico (EI). Las muestras se introdujeron mediante una sonda de sólidos, calentada de 30°C a 280°C . La temperatura de ionización fué de 150°C a 250°C , según los

experimentos realizados: Ionización por impacto electrónico a 70 eV, corriente de ionización de 100 mA, voltaje acelerador de 4 kV, resolución 1000/10 %, velocidad de barrido de 3 s/dec. Ionización química a 150 eV, usando como gas reactivo isobutano a una presión de 0.8 bar, corriente de ionización de 500 μ A, voltaje acelerador de 4 kV y velocidad de barrido de 3 s/dec.

El análisis por cromatografía HPLC se realizó en un Cromatógrafo Waters, Millipore Modelo 6000A, con un detector de absorbancia serie 440, utilizando una columna quiral Chiracel OD (Daicel) y una columna de fase reversa Lichrocart C-18, 250-4 (5 μ m) de Merck.

El material de vidrio utilizado fué secado previamente en una estufa a 120°C. El tetrahidrofurano (THF) y el éter utilizados en las reacciones anhídras se destila de sodio y benzofenona,¹⁰⁰ El diclorometano se destila de CaH₂ y el benceno se destila de sodio.

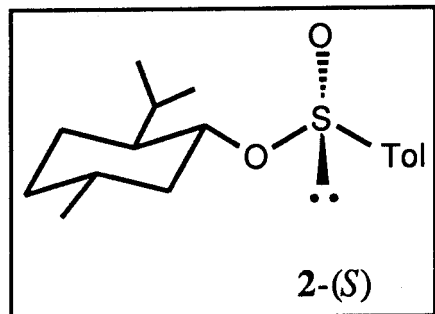
La purificación de los productos se lleva a cabo por destilación, cristalización y por cromatografía en columna rápida,¹⁰² empleando gel de sílice, Merck 60 (400-300 mallas).

2. Métodos Sintéticos.

(-),(S)-*p*-Toluenosulfinato de mentilo 2-(S)

Método A:

En un matraz se disuelven en 250 mL de benceno, 25g (0,14 mol) de la sal sódica del ácido *p*-toluenosulfónico, previamente secada por destilación azeotrópica en tolueno. El matraz se sumerge en un baño a 0 °C y se le añaden 50 mL (0,7 mol) de cloruro de tionilo, gota a gota. Esta mezcla se deja agitar hasta alcanzar temperatura ambiente. Posteriormente, se concentra a una cuarta parte de su volumen por evaporación a presión reducida manteniendo la temperatura por debajo de los 40 °C, para eliminar el exceso de cloruro de tionilo. El residuo se diluye con 250 mL de éter anhidro y se forma un precipitado de cloruro sódico. La disolución enfriada a 0 °C, se añade gota a gota a otra disolución de 24,15 g (0,15 mol) de (-)-mentol en 25 mL de piridina.



La mezcla resultante se agita durante 1 h a temperatura ambiente y se hidroliza con 100 mL de agua. La capa orgánica se lava sucesivamente con 100 mL de una disolución de HCl al 10% y con 50 mL de una disolución saturada de NaCl. Tras la eliminación del disolvente por evaporación a presión reducida, se disuelve en 100 mL de acetona y se le añaden unas gotas de HCl concentrado. La disolución se cristaliza a -20 °C y se filtra. Despues de filtrar los primeros cristales, las aguas madres se concentran a sequedad, se vuelven a disolver en acetona agregándose nuevamente unas gotas de HCl concentrado y

se enfria de nuevo a -20 °C para dar más cristales. Esta operación se repite cuatro veces y todos los cristales obtenidos se recristalizan de acetona caliente, obteniéndose 19.8 g del sulfinato **2-(S)**. p.f.113 °C (lit⁴, 110-111 °C); $[\alpha]_D^{25^\circ C} = -204^0$ (c=2, acetona); (lit⁴ $[\alpha]_D^{25^\circ C} = -201^0$, c=2, acetona)

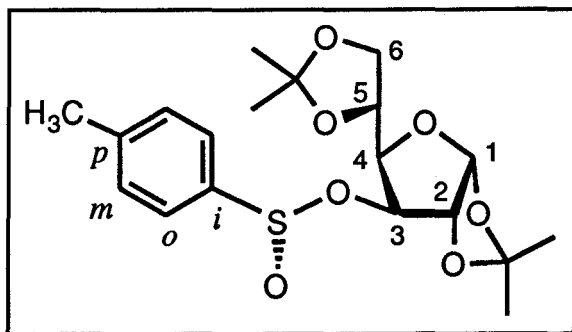
Método B:

A una mezcla de disulfuro de *p*-tolilo (24,6 gr, 0,1 mol) y ácido acético glacial (11,4 mL, 0,2 mol), enfriada a -40 °C, se le adiciona cloruro de sulfurilo (25,7 ml, 0,31 mol) gota a gota. Finalizada la adición, la mezcla de reacción se agita durante 2 h a -20 °C, otras 2 h a temperatura ambiente y finalmente 1 h a 35 °C. Después de eliminar los productos volátiles a presión reducida en el rotavapor a temperatrura ambiente, se obtiene el cloruro de *p*-toluenosulfinilo **21** como un líquido azul con un rendimiento cuantitativo (34,9 g), que no necesita ninguna purificación adicional.²³

A una disolución de cloruro de *p*-toluenosulfinilo (34,9 g, 0,20 mol) en éter seco (250 ml), enfriada a 0 °C, se adiciona lentamente una disolución de (-)-mentol (34,4 g, 0,22 mol) en piridina seca (50 mL). A continuación, la mezcla de reacción se agita 2 h a temperatura ambiente. Transcurrido dicho tiempo, se hidroliza con agua destilada (100 mL). La fase orgánica se trata como en el método A, obteniéndose el (*S*)-*p*-toluenosulfinato de mentilo **2** (48,3 g, 82%) con propiedades físicas idénticas (punto de fusión y poder rotatorio) que el producto obtenido en el método A.

(-)-(S)-*p*-Toluenosulfinato de 1,2,5,6-di-*O*-isopropiliden- α -D-glucofuranosilo 25-(S).

A una disolución de cloruro de *p*-toluenosulfinilo 21 (24.5 g 0.14 mol) en THF seco (200 mL), enfriada a -78 °C, se le adiciona lentamente una disolución de 1,2,5,6-di-*O*-isopropiliden- α -D-



glucofuranosa (26.03 g, 0.1 mol) y diisopropil etilamina (20.9 mL, 0.12 mol) en tetrahidrofurano seco (200 mL). Una vez terminada la adición, la mezcla de reacción se agita 2 h a -78 °C, se hidroliza con agua destilada (100 mL) y se extrae con diclorometano. Los extractos orgánicos se lavan sucesivamente con una disolución de HCl al 10 % (100 mL), con una disolución saturada de NaHCO₃ (100 mL) y con una disolución saturada de NaCl (100 mL), se secan sobre Na₂SO₄ anhídrio y se elimina el disolvente a presión reducida. El residuo obtenido se recristaliza de hexano caliente, obteniéndose el (S)-*p*-toluenosulfinato de DAG 25-(S) (35 g, 88 %) como un sólido cristalino; p.f. 95-96 °C (lit.⁷ p.f. 95-97 °C); [α]_D^{25°C} = -125° (c= 4, acetona), (lit.⁷ [α]_D^{25°C} = -125°, c=0.42, acetona).

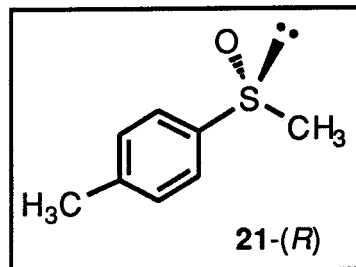
¹H-RMN (500 MHz, CDCl₃): δ 7.66-7.35 (sistema AA'BB', 4H, Me-C₆H₄); 5.9 (d, J_{1,2}=3.6 Hz, 1H, H₁); 4.84 (d, J_{1,2}=3.6 Hz 1H, H₂); 4.50 (d, J_{4,3}=2.9 Hz, 1H, H₃); 4.12 (m, 1H, H₅); 4.08 (dd, J_{4,5}=7.4 Hz, J_{4,3}=2.9 Hz, 1H, H₄); 4.03 (dd, J_{6,6'}=8.6 Hz, J_{5,6'}=6.2 Hz, 1H, H₆); 3.93 (dd, J_{6,6'}=8.6 Hz, J_{5,6}, 5.2 Hz, 1H, H₆); 2.45 (s, 3H, CH₃-Ar); 1.46 (s, 3H, OC(CH₃)₂O); 1.31 (s, 3H, OC(CH₃)₂O); 1.30 (s, 3H, OC(CH₃)₂O) y 1.25 (s, 3H, OC(CH₃)₂O).

13C-RMN (125 MHz, CDCl₃): δ 143.27 (C_{para}); 140.19 (C_{ipso}); 129.57 (C_{meta}); 125.74 (C_{orto}); 112.12 y 108.80 (OC(CH₃)₂O); 105.02 (C-1); 84.06 (C-2); 80.19 (C-4); 77.69 (C-3); 72.01 (C-5); 66.82 (C-6); 26.58, 26.51, 26.17 y 25.14 (OC(CH₃)₂O) y 21.47 (CH₃-Ar).

(R)-(+)-Metil-p-tolilsulfóxido 21-(R).

Método A:

En un matraz de dos bocas equipado con un refrigerante se suspenden 0,99 g (41 mmol) de magnesio en 50 mL de éter anhidro. A esta disolución enfriada a 0 °C, se añaden gota a gota 2,9 mL (47 mmol) de ioduro de metilo, agitándose la mezcla 30 min. La disolución resultante se añadió lentamente sobre otra de 10 g (34 mmol) de (S)-(-)-p-toluenosulfinato de mentilo **2** en 50 mL de benceno anhidro enfriada a 0 °C. Terminada la adición, la mezcla se agita a temperatura ambiente durante 2 h. Transcurrido dicho tiempo se hidroliza con una disolución saturada de cloruro de amonio (50 mL), y se extrae con éter. La capa orgánica se lava con una disolución saturada de cloruro sódico y posteriormente con bisulfito sódico. Se seca con sulfato de sodio anhidro. Tras la evaporación del disolvente a presión reducida, se obtiene un residuo en forma de aceite que se cristaliza de hexano-éter. Se obtiene el sulfóxido **21-(R)** como un sólido blanco con un rendimiento de 4,1 gr (78%). p.f. 72-73 °C (lit.³ p.f. 73-74); [α]_D^{25°C} = +142° (c=2, acetona); (lit³ [α]_D^{25°C} = +145°, c=8,3 acetona)



Método B:

A una disolución de *(-)-(S)-p*-toluenosulfinato de DAG **25** (33 g, 0,08 mol) en tolueno seco (200 mL), enfriada a 0 °C, se le adiciona gota a gota ioduro de metilmagnesio, recientemente preparado a partir de 3,04 g de magnesio (0,13 mol) y de 8,6 mL de iodometano (0,14 mol). A continuación, la mezcla de reacción se agita a temperatura ambiente durante 2 h. Transcurrido este tiempo se hidroliza con una disolución saturada de NH₄Cl y se extrae con éter. Los extractos orgánicos se lavan con una disolución de bisulfito de sodio al 40 % (100 mL) y con una disolución saturada de NaCl (100 ml), se secan sobre Na₂SO₄ anhídrico y se elimina el disolvente a presión reducida. El residuo obtenido se disuelve en acetonitrilo (200 mL), se adiciona agua destilada (75 mL) y ácido trifluoroacético (3,6 mL, 0,05 mol). Esta disolución se agita durante 4 h a temperatura ambiente. Pasado este tiempo, se adiciona una disolución saturada de NaHCO₃ y se extrae con diclorometano. Los extractos orgánicos se lavan con una disolución saturada de NaCl (100 ml), se secan sobre Na₂SO₄ anhídrico, evaporándose el disolvente a presión reducida. El residuo obtenido se recristaliza de una mezcla de éter-hexano, obteniéndose el *(R)*-metil *p*-tolil sulfóxido **21** (10 g, 80 % rdto) como un sólido blanco con propiedades físicas idénticas (punto de fusión y poder rotatorio) a las del producto obtenido en el método A.

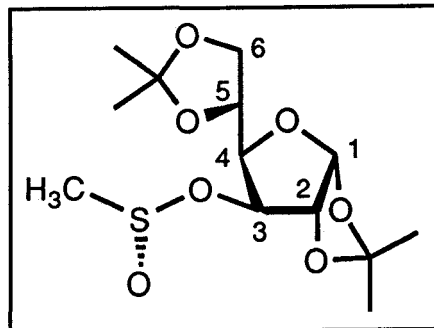
Cloruro de metanosulfinilo 27.³⁰

A una mezcla de 8,9 mL (0,1 mol) de disulfuro de metilo y 11,4 mL (0,2 mol) de ácido acético glacial, enfriada a -40 °C se le adiciona lentamente 25,7 mL (0,31 mol) de cloruro de sulfurilo. Una vez completada la adición, la mezcla de reacción se agita 2 h a -20 °C, 2 h a temperatura ambiente y

finalmente 1 h a 35 °C para que se complete la reacción. Transcurrido este tiempo, se eliminan los productos volátiles a presión reducida en el rotavapor sin calentamiento y el líquido resultante se destila; p.eb.=55-56 °C/23 mmHg (lit.³⁰ p.eb. 55 °C/40 mmHg), obteniéndose 9,3 g del cloruro de metanosulfinilo **27** (95 % rdto).

(-)-(S)-Metanosulfinato de 1,2,5,6-di-*O*-isopropiliden- α -D-glucofuranosilo 28-(S).

A una disolución de 8,6 mL (0,12 mol), de cloruro de metanosulfinilo en tetrahidrofurano seco (200 mL), enfriada a -78 °C, se adiciona gota a gota una disolución de 26.03 g de DAG (0,10 mol) y 20,9 mL de diisopropiletilamina (0,12 mol)



en THF anhidro (200 mL). Una vez terminada la adición, la mezcla de reacción se agita durante 2 h a -78 °C. Pasado este tiempo, se hidroliza con agua destilada (100 ml) y se extrae con diclorometano. Los extractos orgánicos se lavan sucesivamente con una disolución de HCl al 10 % (100 ml), con una disolución saturada de NaHCO₃ (100 ml) y con una disolución saturada de NaCl (100 ml). Se seca sobre Na₂SO₄ anhídrico y se evapora el disolvente a presión reducida. El residuo se cristaliza de hexano caliente, obteniéndose el (S)-metanosulfinato de DAG **28** (29,3 g, 91 %) como un sólido blanco; p.f. 93-94 °C (lit.⁷ p.f. 92-94 °C); $[\alpha]_D^{25^\circ\text{C}} = -60^\circ$ (c=2.1, acetona), (lit.⁷ $[\alpha]_D^{25^\circ\text{C}} = -60^\circ$, c=2.7, acetona).

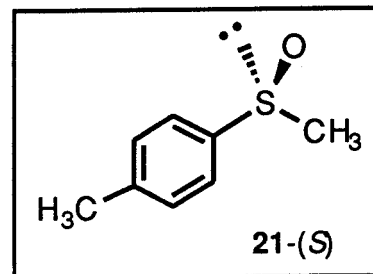
¹H-RMN (500 MHz, CDCl₃): δ 5.90 (d, $J_{1,2}=3.6$ Hz, 1H, H1); 4.76 (d, $J_{3,4}=2.36$ Hz, 1H, H3); 4.60 (d, $J_{1,2}=3.6$ Hz, 1H, H2); 4.25 (m, 2H, H4 y H5); 4.09

(dd, $J_{6,6'}=8.5$ Hz, $J_{5,6'}=5.13$ Hz, 1H, H₆); 4.01 (dd, $J_{6,6'}=8.5$ Hz, $J_{5,6}=4.2$ Hz, 1H, H₆); 2.69 (s, 3H, CH₃-S=O); 1.50 (s, 3H, OC(CH₃)₂O); 1.42 (s, 3H, OC(CH₃)₂O); 1.33 (s, 3H, OC(CH₃)₂O) y 1.30 (s, 3H, OC(CH₃)₂O).

¹³C-RMN (125 MHz, CDCl₃) δ 112.30 y 109.2 (OC(CH₃)₂O); 104.90 (C-1); 83.70 (C-2); 80.20 (C-4); 78.10 (C-3); 72.20 (C-5); 66.70 (C-6); 44.20 (CH₃-S=O); 26.70, 26.60, 26.10 y 25.10 (OC(CH₃)₂O).

(-)-(S)-Metil *p*-tolil sulfóxido 21-(S).

Una mezcla de magnesio activado³² (5,17 g, 0,22 mol), 1,2-dibromoetano (0,1 mL, 1,2 mmol), *p*-bromotolueno (17,84 mL, 0,145 mol) y éter seco (15 mL) se calienta a reflujo durante 2 h. El bromuro de *p*-tolilmagnesio así formado se adiciona lentamente a una disolución de (-)-(S)-metanosulfonato de DAG 28 (29,01 g, 90 mmol) en tolueno seco (120 mL), a 0 °C. Una vez acabada la adición, la mezcla de reacción se agita durante 2 h a temperatura ambiente. A continuación, se hidroliza con una disolución saturada de NH₄Cl y se extrae con éter. La fase orgánica se lava con una disolución de bisulfito de sodio al 40 % (50 mL) y con una disolución saturada de NaCl (50 mL), se seca sobre Na₂SO₄ anhídrico y se elimina el disolvente a presión reducida. Al residuo, disuelto en acetonitrilo (200 mL), se le adiciona agua destilada (75 mL) y ácido trifluoroacético (3.6 mL, 0,046 mol). Terminada la adición, la mezcla de reacción se agita 4 h a temperatura ambiente y, al cabo de este tiempo, se adiciona una disolución saturada de NaHCO₃ (75 mL) y se extrae con diclorometano. Los extractos orgánicos se lavan con una disolución saturada de NaCl (100 ml) y se secan sobre Na₂SO₄ anhídrico. El disolvente se evapora a



presión reducida y el residuo se cristaliza de éter-hexano, obteniéndose 11,1 g de (*S*)-metil *p*-tolil sulfóxido **21-(S)** (80 % rdto) como un sólido blanco; p.f. 72-73 °C (lit.⁷ p.f. 73-74 °C), $[\alpha]_D^{25^\circ\text{C}} = -145^\circ$ (c=2.04, acetona), (lit.⁷ $[\alpha]_D^{25^\circ\text{C}} = -145^\circ$, c=1.0, acetona)

***p*-Clorofenildisulfuro (30).**

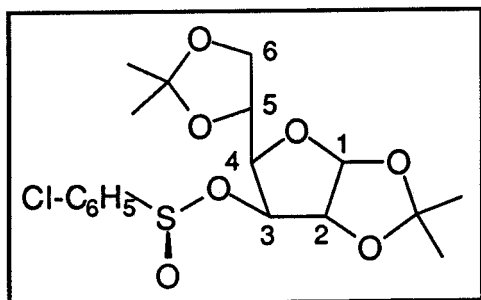
A una disolución de *p*-clorotiofenol (8,6 g, 60 mmol), en una mezcla metanol (150 mL) y agua (60 mL), se le adicionan 18,5 g de perborato sódico (180 mmol) y se agita durante 3 h a temperatura ambiente. Transcurrido ese tiempo se hidroliza con agua (200 mL) y se extrae con diclorometano. Tras la evaporación del disolvente a presión reducida se obtienen 8,7 g de *p*-clorofenildisulfuro (98% rdto) como un sólido blanco. p.f. 62-62,5 °C (lit²⁸ p.f. 62-63 °C).

Cloruro de *p*-Clorobencenosulfinilo (31).

Se adicionan 7,4 mL (91,5 mmol) de cloruro de sulfurilo gota a gota sobre una disolución de *p*-clorofenildisulfuro **28** (8,7 g, 30.5 mmol) en ácido acético (3,5 mL, 61 mmol), enfriada a -40 °C. A continuación la mezcla se agita 4 h. a -20 °C, 2 h. a temperatura ambiente y 1 h. a 35 °C. El cloruro de acetilo en exceso se elimina por evaporación a presión reducida manteniendo el baño por debajo de 20 °C. De esta forma se obtiene 8,5 g (98% rdto) de *p*-clorobencenosulfinilo en forma de un líquido amarillo, que se utiliza sin purificación posterior.

(-)-(S)-*p*-clorobencenosulfonato de 1,2,5,6-di-*O*-isopropiliden- α -D-glucofuranosilo 32-(S).

A una disolución de 11,8 g (45,36 mmol) de DAG y 10,3 mL (59 mmol) de diisopropiletilamina en THF anhidro (70 mL), enfriada a -78 °C se le añade gota a gota una disolución del cloruro de *p*-clorofenilsulfinilo **29** (11,5 g, 59 mmol) en 20 mL de THF anhidro agitándose la mezcla de reacción durante 2 h. a esa temperatura. Transcurrido este tiempo, se hidroliza con agua (50 mL) y se extrae con diclorometano. Los extractos orgánicos se lavan sucesivamente con una disolución de HCl al 10 % (50 mL), con una disolución saturada de NaHCO₃ (50 mL), y con una disolución saturada de NaCl (50 mL). Se secan sobre Na₂SO₄ anhídrico y se evapora el disolvente a presión reducida. El residuo se cristaliza de hexano caliente, obteniéndose el (S)-*p*-clorobencenosulfonato de DAG **32** (14,5 g, 78 % rdto) como un sólido blanco; p.f. 64-65 °C [α]_D^{25°C} = -124 ° (c=1, acetona).



1H-RMN (500 MHz, CDCl₃): δ 7.56-7,47 (sistema AA'BB', 4H, Cl-C₆H₄); 5.87 (d, J_{1,2}=3,6 Hz, 1H, H₁); 4,78 (d J_{1,2}=3,6 Hz, 1H, H₂); 4.42 (d, J_{1,2}=3,6 Hz, 1H, H₃); 4.07 (m, 4H, H₄, H₅ y H₆); 1.41 (s, 3H, OC(CH₃)₂O); 1.26 (s, 3H, OC(CH₃)₂O); 1.24 (s, 3H, OC(CH₃)₂O); 1.18 (s, 3H, OC(CH₃)₂O).

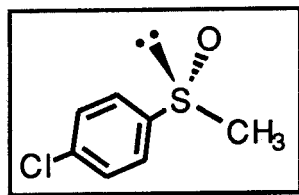
13C-RMN (125 MHz, CDCl₃): δ 141.54 (Cpara); 139,03 (Cipso); 129.2 (Cmeta); 127.39 (Corto); 112,24 y 108,99 (OC(CH₃)₂O); 105,01 (C-1); 84,1 (C-2); 80,11 (C-4); 77,73 (C-3); 71,69 (C-5); 67,06 (C-6); 26,59, 26, 17 y 25,13 (OC(CH₃)₂O).

EM: (HR) m/e para C₁₈H₂₃O₇SCl: 403.0623, desviación 0.8 ppm.

EM, m/e (abundancia relativa): M⁺ (6,1); 246 (3,6); 194 (4,9); 160; (26,2); 159 (65,8); 144 (10,9); 129 (12,2); 113 (8,5); 101 (100); 85 (17,1); 69 (8,5); 59 (29,8); 43 (83).

(+)-(R)-*p*-clorofenilmetilsulfóxido 29-(R).

A una disolución de (-)-(S)-*p*-clorobenceno sulfinato de DAG 32 (3,2 g, 7,6 mmol) en tolueno seco (30 mL), a 0 °C, se le añade gota a gota una disolución de ioduro de metilmagnesio preparado recientemente a partir de 0,23 g (9,9 mmol) de magnesio y 0,62 mL (9,9 mmol) de ioduro de metilo en éter seco (15 mL). Una vez acabada la adición, la mezcla de reacción se agita durante 2 h a temperatura ambiente. A continuación, se hidroliza con una disolución saturada de NH₄Cl y se extrae con éter. La fase orgánica se lava con una disolución de NaHSO₃ al 40 % (25 mL) y con una disolución saturada de NaCl (25 mL), se seca sobre Na₂SO₄ anhídrico y se elimina el disolvente a presión reducida. El residuo obtenido se purifica por cromatografía flash (AcOEt/Hex), obteniéndose 1,06 g de (R)-*p*-clorofenilmetil sulfóxido 31 (80 % rdto) como un sólido blanco. p.f. 40-43 °C, lit¹⁵ p.f. 40-45 °C, [α]_D^{25°C} = +163° (c = 2.1, CHCl₃).

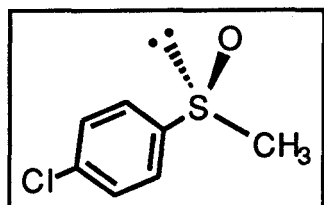


¹H-RMN (200 MHz, CDCl₃): δ 7.56-7.47 (sistema AA'BB', 4H, Cl-C₆H₄); 2,68 (s, 3H, CH₃).

¹³C-RMN (50,29 MHz, CDCl₃): d 143.71 (Cpara); 136.74 (Cipso); 129.24 (Cmeta); 124.64 (Corto) y 43.56 (CH₃).

(-)-(S)-*p*-clorofenilmethylsulfóxido 29-(S).

Se añade gota a gota una disolución de bromuro de *p*-clorofenilmagnesio (16,13 mL, 16,13 mmol) 1M en éter sobre otra disolución del metanosulfinato de DAG 28-(S) (4 g, 12,4 mmol) en tolueno, enfriada a 0 °C. Terminada la adición se agita 2 h. a temperatura ambiente y, posteriormente, se hidroliza con una disolución saturada de NH₄Cl y se extrae con diclorometano. La fase orgánica se lava con una disolución de NaHSO₃ al 40 % (25 mL) y con una disolución saturada de NaCl (25 mL). Se seca sobre Na₂SO₄ anhídrico y se elimina el disolvente a presión reducida. El residuo obtenido se purifica por cromatografía flash (AcOEt/Hex), obteniéndose 1,2 g de (*R*)-*p*-clorofenilmethylsulfóxido 29 (88 % rdto) como un sólido blanco. p.f. 41-43 °C, lit¹⁵ p.f. 40-45 °C, [α]_D^{25°C} = -156° (c=1,8, CHCl₃), (lit¹⁵ [α]_D^{25°C} = -158°, c=0,95, CH₃Cl).

***p*-Metoxifenildisulfuro (34).**

Se añaden 10,97 g (71,3 mmol) de perborato sódico sobre una disolución de *p*-metoxitiofenol (5 g, 35,6 mmol) en una mezcla de metanol (90 mL) y agua (36 mL). La mezcla de reacción se agita 2 h. a temperatura ambiente, A continuación se hidroliza con agua (50 mL) y se extrae con diclorometano. Tras la evaporación del disolvente a presión reducida, se obtienen 4,7 g del disulfuro (95% rdto) como un sólido de color amarillo.

¹H-RMN (200MHz, CDCl₃): δ 7.4-6.83 (sistema AA'BB', 4H, MeO-C₆H₄); 3.76 (s, 3H, OCH₃).

Cloruro de *p*-metoxibencenosulfinilo (35).

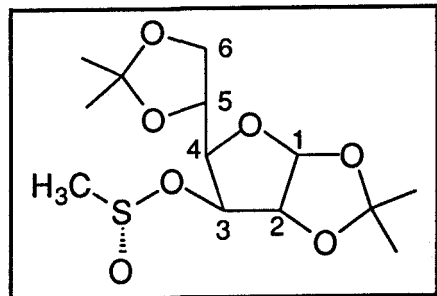
A una mezcla del disulfuro de *p*-metoxifenilo 34 y ácido acético glacial enfriado a -40 °C, se le añade gota a gota cloruro de sulfurilo (5,4 mL, 67,03 mmol) durante 30 min. La mezcla se agita 4 h. a -20 °C, 2 h. a temperatura ambiente y, por último, 1 h. a 35 °C. El exceso de cloruro de sulfurilo se elimina por evaporación a presión reducida manteniendo el baño por debajo de 20 °C. Se obtiene de esa forma 6,9 g del cloruro de sulfurilo 35 (81% rdto) como un líquido amarillo, que se utiliza sin purificación posterior.

1H-RMN (200 MHz, CDCl₃): δ 7.79-7.04 (sistema AA'BB', 4H, MeO-C₆H₄); 3.86 (s, 3H, OCH₃).

(-)-(R)-Metanosulfinato de 1,2,5,6-di-*O*-isopropiliden-*α*-D-glucofuranosilo 28-(R).

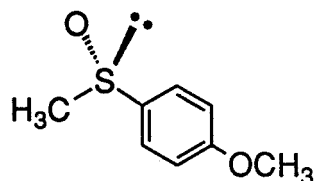
A una disolución de 2.65 mL (36,88 mmol) de cloruro de metanosulfinilo en tetrahidrofurano seco (25 mL), enfriada a -78 °C, se adiciona gota a gota una disolución de 8 g (30,73 mmol) de DAG y 3,22 mL de piridina (39,90 mmol) en THF anhidro (50 mL).

Una vez terminada la adición, la mezcla de reacción se agita durante 2 h a -78 °C y a continuación, se hidroliza con agua destilada (25 ml) y se extrae con diclorometano. Los extractos orgánicos se lavan sucesivamente con una disolución de HCl al 10 % (20 ml), con una disolución saturada de NaHCO₃ (20 ml), y con una disolución saturada de NaCl (20 ml). Se secan sobre Na₂SO₄ anhídrico y se evapora el disolvente a presión reducida. El residuo se



purifica por cromatografía flash (AcOEt-Hexano), obteniéndose el (*R*)-metanosulfinato de DAG 28-(*R*) (8,9 g, 90 % rdto) como un aceite. $[\alpha]_D^{25^\circ\text{C}} = +19^\circ$ ($c=3$, acetona), (lit.¹⁰ $[\alpha]_D^{25^\circ\text{C}} = +17^\circ$, $c=4,4$, acetona).

(+)-(R)-*p*-metoxifenilmetilsulfóxido 33-(*R*)

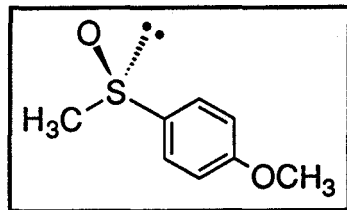


Una disolución de magnesio (226 mg, 9,3 mmol), 1,2 dibromoetano (50 μL, 0,58 μmol) en eter seco (15 mL) se le añade gota a gota 1,16 mL (9,3 mmol) de *p*-bromoanisol y se calienta a reflujo durante 1 h. A continuación, se adiciona gota a gota a una disolución del (*S*)-metanosulfinato de DAG 28-(*S*) (2 g, 4,65 mmol) en tolueno (15 mL), enfriada a 0 °C. Terminada la adición, la mezcla se agita durante 2 h. a temperatura ambiente, se hidroliza con una disolución saturada de NH₄Cl y se extrae con diclorometano. La fase orgánica se lava con una disolución de NaHSO₃ al 40 % (10 mL) y con una disolución saturada de NaCl (10 mL), se seca sobre Na₂SO₄ anhídrico y se elimina el disolvente a presión reducida. El residuo obtenido se purifico por cromatografía flash (AcOEt-CH₂Cl₂, 1:4),, obteniéndose 640 mg de (*R*)-(*p*-metoxifenil)metilsulfóxido 33-(*R*) (61 % rdto) como un sólido blanco. $[\alpha]_D^{25^\circ\text{C}} = +160^\circ$ ($c = 2$, CHCl₃), (lit.¹⁰ $[\alpha]_D^{25^\circ\text{C}} = +165,9^\circ$, $c = 0,38$, CHCl₃).

¹H-RMN (200 MHz, CDCl₃): δ 7,67-7,02 (sistema AA'BB', 4H, MeO-C₆H₄); 3,86 (s, 3H, OCH₃); 2,71 (s, 3H, CH₃).

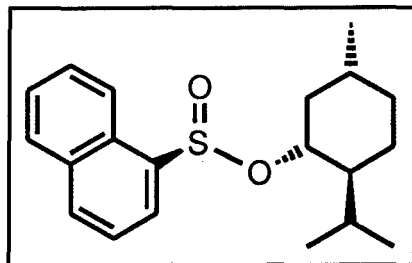
(-)-(S)-*p*-metoxifenilmetilsulfóxido 33-(S)

Una suspensión de magnesio (180 mg, 7,44 mmol), 1,2 dibromoetano (50 μ L, 7,2 μ mol) en éter seco (10 mL) se le añandan gota a gota, 0,87 mL de *p*-bromoanisol (7,44 mmol) y se calienta a reflujo durante 1 h. A continuación, se añade gota a gota sobre una disolución del (S)-metanosulfinato de DAG 28-(S) (1,5 g, 4,65 mmol) en tolueno (10 mL), enfriado a 0 °C. Terminada la adición, la mezcla se agita durante 2 h. a temperatura ambiente. Se hidroliza con una disolución saturada de NH₄Cl y se extrae con diclorometano. La fase orgánica se lava con una disolución de NaHSO₃ al 40 % (8 mL) y con una disolución saturada de NaCl (8 mL), se seca sobre Na₂SO₄ anhídrico y se elimina el disolvente a presión reducida. El residuo obtenido se purifica por cromatografía flash (AcOEt-CH₂Cl₂, 1:4),, obteniéndose 475 mg de (S)-*p*-clorofenilmetil sulfóxido 33-(S) (60 % rdto) como un sólido blanco. $[\alpha]_D^{25^\circ\text{C}} = -167^\circ$ (c= 2.7, CHCl₃), (lit.¹⁸ descrito para su enantiómero, $[\alpha]_D^{25^\circ\text{C}} = +165,9^\circ$, c = 0,38, CHCl₃).



(-)-(S)-1-Naftalenosulfinato de (1*R*, 2*S*, 5*R*)-mentilo 37-(S).¹⁴

Una disolución de cloruro de 1-naftaleno-sulfonilo (15 g, 66 mmol) y (-)-mentol (6,9 g, 44 mmol) en diclorometano seco (150 mL), se calienta 5 min. a reflujo y posteriormente se le adiciona lentamente, bajo atmósfera de argón, trietilamina (9.2 mL, 66 mmol) y fosfito de trimetilo (10.4 mL, 88 mmol). Una vez completada la adición, la mezcla de reacción se mantiene a reflujo durante 2 h. Transcurrido

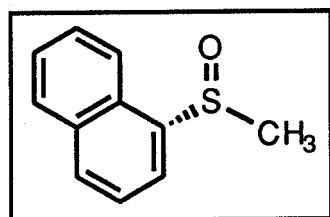


este tiempo, se enfria a temperatura ambiente, se lava sucesivamente con una disolución de HCl al 10 % (50 mL), con una disolución saturada de NaHCO₃ (50 mL) y con una disolución saturada de NaCl (75 mL). Se elimina el disolvente a presión reducida y el residuo se purifica por cromatografía flash utilizando como eluyente hexano:acetato de etilo (9:1). El sólido obtenido es una mezcla de los dos diastereómeros que, una vez disuelta en acetona, se trata con HCl concentrado (5 gotas) y se deja a 0 °C durante varios días para su equilibración. Después de filtrar los cristales formados, se concentran las aguas madres, se les adiciona HCl concentrado (una gota) y se vuelve a dejar a 0 °C. Este proceso se repite varias veces. Finalmente el producto obtenido de las diferentes cristalizaciones se recristaliza de acetona caliente, obteniéndose el (S)-1-naftalenosulfonato de mentilo **33-(S)** (14 g, 65%), como un sólido cristalino; p.f. 119-120 °C (lit.^{5b,89} p.f. 118-119 °C), $[\alpha]_D^{25^\circ\text{C}} = -444^\circ$ ($c=2.08$, acetona), (lit.^{5b} $[\alpha]_D^{25^\circ\text{C}} = -433^\circ$, $c=2.07$, acetona), (lit.⁸⁹ $[\alpha]_D^{25^\circ\text{C}} = -427^\circ$, $c=2.07$, acetona).

(+)-(R)-Metil-(1-naftil)sulfóxido **36-(R)**.

A una disolución de (S)-1-naftalenosulfonato de mentilo **37-(S)** (2 g, 6,1 mmol) en benceno seco (25 mL), enfriada a 0 °C, se adiciona gota a gota bajo atmósfera de argón una disolución de bromuro de metilmagnesio 1.4 M (5.6 ml,

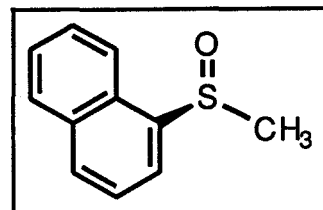
7.8 mmol) en tolueno. Una vez terminada la adición, la mezcla de reacción se agita durante 15 min. a 0 °C y 1 h a temperatura ambiente. Se hidroliza con una disolución saturada de NH₄Cl (10 mL), se lava con una disolución saturada de NaCl (50 mL), se seca sobre Na₂SO₄ anhidro y se elimina el disolvente a presión reducida. El residuo se purifica por cromatografía flash



(hexano/acetato de etilo 50:50), obteniéndose el (*R*)-metil 1-naftil sulfóxido **36-(R)** (1.1 g, 94 %) como un sólido blanco; p.f. 59-60 °C (lit.⁶ p.f. 58-65 °C), $[\alpha]_D^{25^\circ\text{C}} = +400^\circ$ (c=1.47, etanol), (lit.⁸⁹ $[\alpha]_D^{25^\circ\text{C}} = +399^\circ$, c=1.0, etanol).

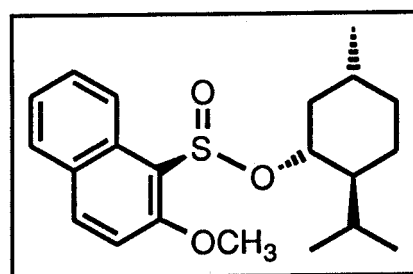
(-)-(S)-Metil(1-naftil)sulfóxido 36-(S).

Una mezcla de magnesio (3,0 g, 9.4 mmol) y 1-bromonaftaleno (18,1 g, 87,2 mmol) en éter etílico anhidro (100 mL) se calienta a refluro durante 1.5 h. Transcurrido este tiempo, se enfria a temperatura ambiente y el bromuro de 1-naftilmagnesio formado se adiciona lentamente bajo atmósfera de argón a una disolución de (-)-(S)-metanosulfinato de DAG **28-(S)** (8,8 g, 58.4 mmol) en tolueno seco (200 mL), enfriada a 0 °C. Transcurrida la adición, la mezcla de reacción se agita 2 h a temperatura ambiente, se hidróliza con una disolución saturada de NH₄Cl y se extrae con éter. La fase orgánica se seca sobre Na₂SO₄ anhídrico y se evapora el disolvente. El residuo se disuelve en acetonitrilo (200 ml), se trata con agua destilada (75 ml) y ácido trifluoroacético (3,6 mL, 46 mmol) y se agita a temperatura ambiente durante 4 h. Pasado este tiempo, se adiciona una disolución saturada de NaHCO₃ (75 mL) y se extrae con diclorometano. Los extractos orgánicos se lavan con una disolución saturada de NaCl (100 ml), se secan sobre Na₂SO₄ anhídrico y se elimina el disolvente a presión reducida. El residuo se purifica por cromatografía en columna rápida utilizando como eluyente hexano-acetato de etilo (50:50), obteniéndose el (*S*)-metil 1-naftil sulfóxido **36-(S)** (7,15 g, 65 %) como un sólido blanco; p.f. 57-60 °C (lit.^{19b} p.f. 55-58 °C), $[\alpha]_D^{25^\circ\text{C}} = -398^\circ$ (c=2.5, etanol), (lit.¹⁹ $[\alpha]_D^{25^\circ\text{C}} = -459.8^\circ$, c=1.2, etanol).



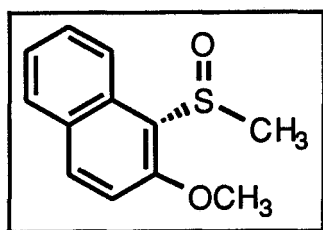
(-)-(S)-2-Metoxi-1-naftalenosulfinato de (1*R*, 2*S*, 5*R*)-mentilo 40-(*S*).³⁴

Una disolución de 2-metoxinaftaleno pulverizado (24 g, 0,15 mol) en cloruro de tionilo (22 ml, 0,30 mol) se agita durante 1 h a temperatura ambiente³⁵ (En el transcurso de este tiempo se desprende HCl y la solución amarilla brillante se convierte en sólido amarillo). Posteriormente se lava con benceno seco (50 mL) y se seca a presión reducida. El sólido obtenido se disuelve en diclorometano seco (100 mL) y se adiciona gota a gota a una disolución de (-)-mentol (21.4 g, 0,14 mol) y piridina seca (31 mL, 0,38 mol) en diclorometano seco (200 mL), enfriada a 0 °C. Al cabo de la adición, la mezcla de reacción se agita durante 2 h a 0°C y a temperatura ambiente durante toda la noche. Pasado este tiempo, el crudo de reacción se filtra, y el filtrado se lava con una disolución de HCl al 10 % (100 mL), se seca sobre Na₂SO₄ anhídrico y se evapora el disolvente a presión reducida. El residuo obtenido que contiene la mezcla de los diastereómeros, se disuelve en acetona, se trata con HCl concentrado (5 gotas) y se deja a 0 °C durante varios días para su equilibración. Después de filtrar los cristales formados, las aguas madres se concentran, se tratan con HCl concentrado (una gota) y se vuelve a dejar a 0 °C. Este proceso se repite varias veces. Finalmente el producto obtenido de las diferentes cristalizaciones se recristaliza de acetona caliente, obteniéndose el (*S*)-2-metoxi-1-naftalenosulfinato de mentilo 40-(*S*) (13,4 g, 75 % rdto) como un sólido cristalino; p.f. 123-124 °C (lit.³⁴ p.f. 103-105 °C), [α]_D^{25°C}=-184° (c=2.15, CHCl₃) (lit.³⁴ [α]_D^{25°C}= -183°, c=1.2, CHCl₃).



(+)-(R)-Metil-(2-metoxi-1-naftil)sulfóxido 38-(R).³⁴

A una disolución de (*S*)-2-metoxi-1-naftalenosulfinato de mentilo 40-(*S*) (5 g, 13,9 mmol) en benceno seco (60 mL), enfriada a 0°C, se adiciona lentamente una disolución 1.4 M de bromuro de metilmagnesio (14,9 mL, 201,9 mmol).



La mezcla de reacción resultante se agita durante 2 h a temperatura ambiente, se hidroliza con una disolución saturada de NH₄Cl y se extrae con éter. La fase orgánica se seca sobre Na₂SO₄ anhídrico y se elimina el disolvente a presión reducida. El sólido resultante se lava con hexano y se cristaliza de hexano:AcOEt-CH₂Cl₂ (50:25:25), obteniéndose el (*R*)-metil 2-metoxi-1-naftil sulfóxido 38-(*R*) (2.5 g, 75 % rdto) como un sólido blanco; p.f. 105-106 °C (lit.³⁴ p.f. 102-103 °C), [α]_D^{25°C} = +109° (c=2.0, CHCl₃) (lit.³⁴ [α]_D^{25°C} = +107°, c=0.1, CHCl₃).

Clorhidrato del Ester Metílico de laL-Cistina 42

A una disolución de *L*-cistina (2,0 g, 8,3 mmol) en 50 mL de metanol, enfriada a 0 °C, se le adicionan lentamente 2 mL (25 mmol) de cloruro de tionilo. Terminada la adición, se agita durante 1 h a temperatura ambiente (en este tiempo se vuelve a formar un sólido). A continuación, se calienta a reflujo durante 2 h, volviéndose a disolver el sólido. Transcurrido este tiempo, se elimina el metanol por evaporación a presión reducida. Al sólido resultante se le adicionan 25 mL de metanol y 75 mL de éter para precipitar el clorhidrato,

el cual se filtra y se lava con éter,. Se obtienen 2,9 g de sólido cristalino blanco de p.f.=180-181 °C (lit²⁸ p.f.=182-183 °C) y $[\alpha]_D^{25^\circ C} = -33.30$ (c=4, CH₃OH)

Ester metílico de N,N'-bis(benciloxicarbonil)-L-cistina 43

A 2,38 g (6,97 mmol) del clorhidrato **45** se le adicionan 5,0 g de bicarbonato sódico, 20 mL de agua destilada y 4 mL de éter. Se agita la mezcla durante la adición de 3,1 mL (18,13 mmol) de cloroformiato de bencilo en dos adiciones y se continúa la agitación durante 3 h. Transcurrido este tiempo, se extrae con diclorometano, se lava con una disolución saturada de cloruro sódico y se seca sobre sulfato sódico anhidro. El disolvente se evapora a presión reducida y se purifica por cromatografía flash utilizando como eluyente hexano-acetato de etilo (7:3) obteniéndose 3,7 g.(83% rdto) de un sólido blanco de p.f.=56-58 °C (lit²⁸.p.f.= 59-60 °C).

Ester metílico de N-(benciloxicarbonil)-L-cisteina-S-oxo-S-cloro 44

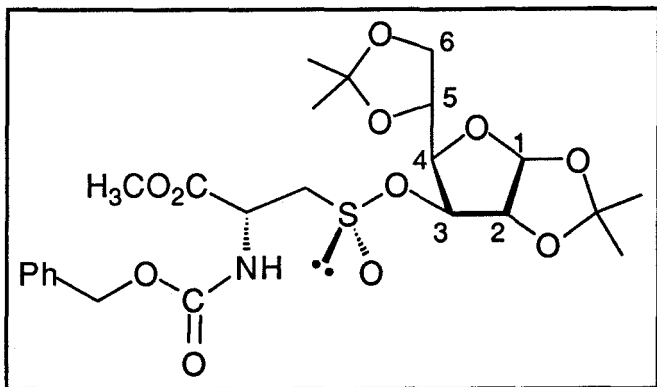
A una disolución de 8,2 g (15,28 mmol) del clorhidrato del ester metílico de N,N'-bis (benciloxicarbonil)-L-cistina **43** y 1,9 mL de ácido acético glacial (30,57 mmol), enfriada a -40 °C, se añade gota a gota durante 30 min 3,7 mL de cloruro de sulfurilo (45,86 mmol). Una vez terminada la adición se agita la mezcla a -20 °C durante 3h. Transcurrido este tiempo se continúa la agitación durante 2 h a temperatura ambiente. Por último, se agita 1 h a 35 °C. Por eliminación del exceso de cloruro de sulfurilo, se forman 9,57 g de **44** como un sólido blanco (98% rdto).

¹H-RMN (200 MHz, CDCl₃): δ 7.4 (s, 5H, C₆H₅); 5.86 (sa, 1H, NH); 5.12 (s, 2H, CH₂C₆H₅); 4.8 (m, 1H, HCCO₂CH₃); 3.95 (m, 2H, CH₂SO); 3.8 (s, 3H, CH₃OOC).

Lit²⁹: **¹H-RMN** δ 7.36 (s, 5H, C₆H₅); 6.0 (sa, 1H, NH); 5.15 (s, 2H, CH₂Ph); 4.82 (m, 1H, HCCO₂CH₃); 4.0 (m, 2H, CH₂SO); 3.8 (s, 3H, CH₃OOC)

(-) -Ester metílico de la N-(benciloxicarbonil)-(S) -S-Oxo-S-(1,2,5,6-Di-O-isopropiliden-α-D-glucofuranos-3-iloxi)-L-cisteina 45-(S).

A una disolución de 2,68 g (10 mmol) de DAG en 30 mL de tolueno anhidro, enfriada a -78 °C, y se le adicionan 2,15 mL (13 mmol) de iPr₂EtN y se deja agitar durante 30 min. A continuación se añaden 4,9 g (17 mmol) del cloruro de sulfinilo **44** preparado anteriormente, disuelto en 25 mL de tolueno, y se deja agitar durante 30 min.



Pasado este tiempo, se añaden 10 mL de agua para disolver las sales y se extrae con cloruro de metíleno. La fase orgánica se separa y se lava sucesivamente con una disolución de ácido clorhídrico al 10%, después con disolución saturada de bicarbonato sódico y, por último, con una disolución saturada de ClNa. La fase orgánica se seca con sulfato sódico anhidro y se evapora a presión reducida obteniéndose un sólido anaranjado que se cristaliza

(eter etilico-diclorometano-hexano, 20:5:5) Rendimiento 5,2 g del sulfinato (94 %), p.f.=130-131 °C. $[\alpha]_D^{25^{\circ}C} = -1020$ (c=2, acetona)

¹H-RMN (500 MHz, CDCl₃) δ: 7.35 (m, 5H, C₆H₅); 5.95 (d, J = 3,4 Hz, 1H, H₁); 5.86 (d, J = 7,4 Hz, 1H, NH); 5.13 (s, 2H, CH₂Ph); 4.76 (d, J = 2,6 Hz, 1H, H₃); 5.49 (m, 1H, CH-CO₂Me); 4.70 (d, J = 3,4 Hz, 1H, H₂); 4,25 (m, 2H, H₄ y H₅); 4.05 (dd, J_{gem}=8.5 Hz, J_{5,6}=5.9 Hz, 1H, H₆); 4,00 (dd, J_{gem}=8.5 Hz, J_{5,6} 4.7 Hz, 1H, H₆); 3.81 (s, 3H, CH₃O); 3.48 (sistema ABX, J_{AB}=13.9 Hz, J_{BX}=4,2 Hz, 1H, CH₂-S); 3.25 (sistema ABX, J_{AB}=13.9 Hz, J_{AX}=7.6 HZ, 1H, CH₂-S); 1.52 (s, 3H, CH₃CO); 1.43 (s, 3H, CH₃CO); 1.33 (s, 3H, CH₃CO); 1.32 (s, 3H, CH₃CO).

¹³C-RMN (125 MHz, CDCl₃) δ: 170,01 (CO); 155,63 (NH-CO); 135,69 (Cipso); 128,5 (Corto); 128,29 (C_{para}); 128,05 (C_{meta}); 112,30 (C(CH₃)₂); 109,32 (C(CH₃)₂); 104,96 (C-1); 83,09 (C-2), 80,18 (C-4); 79,67 (C-3); 72,10 (C-5); 67,33 (CH₂C₆H₅); 66,81 (C-6); 58,95 (CH₂S); 53,10 (OCH₃); 49,02 (CH-CO₂Me); 26,72 (CH₃C-O); 26,56 (CH₃C-O); 26,10 (CH₃C-O); 25,02 (CH₃C-O).

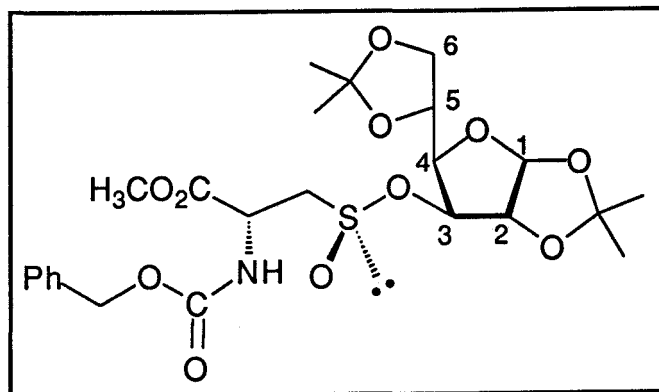
Analisis. Calculado para C₂₄H₃₃O₁₁NS: C, 53,013; H, 6,12; N, 2,57

Encontrado: C, 53,04; H, 6,12; N, 2,56.

EM, (abundancia relativa) m/e : M⁺ (9,7); 245 (54,9); 187 (26,2); 127 (29,9); 109 (40,8); 108 (31,1); 101 (100); 91 (89); 79 (28,6); 68 (33,5); 43 (36,6).

(-)-Ester metílico de la N (benciloxicarbonil)-(R)-S-Oxo-S-(1,2,5,6-Di-O-isopropilidén- α -D-glucofuranos-3-iloxi)-L-cisteina 45-(R).

A una disolución de 1,7 g (6,53 mmol) de DAG en 15 mL de cloruro de metíleno anhidro enfriada a -78 °C, se le adicionan 0,6 mL (8,49 mmol) de piridina y se agita durante 30 min. A continuación, se añaden 3,5 g (9,79



mmol) del cloruro de sulfinilo **44**, disuelto en 25 mL de cloruro de metíleno y se mantiene la agitación durante 30 min. Pasado este tiempo, se adicionan 10 mL de agua para disolver las sales y se extrae con cloruro de metíleno. La fase orgánica se lava sucesivamente con una disolución de ácido clorhídrico al 10%, disolución saturada de bicarbonato sódico y una disolución saturada de ClNa. Se seca con sulfato sódico anhidro y se elimina el disolvente a presión reducida, obteniéndose un residuo oleoso que se purifica por cromatografía flash (éter-hexano; 3:2). Rendimiento 3,35 g (94 %). $[\alpha]_D^{25} = -41^0$ (c = 6,7; acetona).

¹H-RMN (500 MHz, CDCl₃): δ 7,36 (m, 5H, C₆H₅); 6,05 (d, J = 8,0 Hz, 1H, NH); 5,9 (dd, J = 3,5 Hz, 1H, H₁); 5,14 (sistema AB, J = 12 Hz, 2H, CH₂Ph); 4,82 (m, 1H, H₂); 4,76 (d, J = 3,6 Hz, 1H, H₂); 4,70 (s, 1H, H₃); 4,14 (s, 2H, H₄, H₅); 4,10 (dd, J_{gem} = 8,7 Hz, J_{5/6} 3,2 Hz, 1H, H₆); 4,0 (dd, J_{gem} = 8,7 Hz, J_{5/6} = 2 Hz, 1H, H₆); 3,8 (s, 3H, CH₃O); 3,49 (sistema ABX, J_{AB} = 13,9 Hz, J_{BX} = 6,3 Hz, 1H, CH₂SO); 3,38 (sistema ABX, J_{AB} = 13,9 Hz, J_AX 5,0 Hz, 1H, CH₂SO); 1,5 (s, 3H, CH₃CO); 1,37 (s, 3H, CH₃CO); 1,31 (s, 3H, CH₃CO); 1,30 (s, 3H, CH₃CO).

13C-RMN (125 MHz, CDCl₃): δ 170,25 (CO); 155,64 (NHCO); 135,78 (Cipso); 128,47 (Corto); 128,24 (C_{para}); 128,09 (C_{meta}); 112,35 (C(CH₃)₂); 109,54 (C(CH₃)₂); 105,24 (C-1); 83,75 (C-2); 83,66 (C-3); 80,70 (C-4); 72,04 (C-5); 67,59 (C-6); 67,29 (CH₂-C₆H₅); 58,31 (CH₂SO); 52,98 (OCH₃); 49,26 (CH-COOMe); 26,74 (CH₃CO); 26,63 (CH₃CO); 26,07 (CH₃CO); 24,89 (CH₃CO).

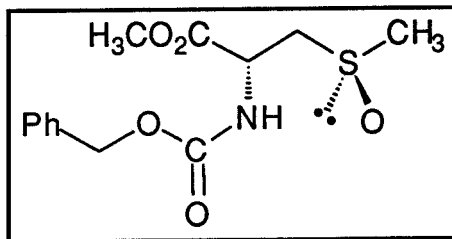
EM, m/e (abundancia relativa): M⁺ (4,3); 420 (21,9); 248 (17,1); 245 (29,2); 191(10,9); 176 (42,1); 127 (21,9); 106 (39); 101 (100); 91 (90,2); 79 (29,2); 69 (16,4); 59 (29,8); 43 (23,2).

Método general de obtención de los sulfóxidos de la *L*-Cisteina

Al sulfinato **45** (1 mmol), disuelto en 15 mL de THF anhidro, se le adiciona una disolución 2M de AlMe₃ (1,2 mmol), y se agita durante 1 h a temperatura ambiente. Transcurrido dicho tiempo, se enfria la disolución a -78 °C y se le agrega la disolución del magnesiano correspondiente (3 mmol), manteniéndose la agitación a dicha temperatura durante 1,5 h. A continuación, se añaden 8 mL de una disolución 1N de ácido sulfúrico para destruir las sales de aluminio y se extrae con cloruro de metileno. La fase orgánica se lava con una disolución saturada de bicarbonato de sodio y con una solución saturada de cloruro sódico. Se seca sobre sulfato sódico anhidro y se elimina el disolvente a presión reducida.

Ester metílico de la (N-benciloxicarbonil)-(R)-S-Oxo-S-metil-L-Cisteina 41-(R).

La reacción de 2 g (3,68 mmol) del sulfinato 45-(S) con bromuro de metilmagnesio (11 mmol), de acuerdo con el método general, da lugar a un sólido que se purifica por cromatografía en columna rápida (acetato de etilo-metanol; 4:1) obteniéndose 717 mg de un sólido blanco (65 % rdto). p.f. 149-150 °C.



Alternativamente el crudo de la reacción se puede cristalizar de acetato de etilo-diclorometano-hexano a -5 °C. $[\alpha]_D^{25} = -196^\circ$ (c=2,1; acetona).

Analisis. Calculado para C₁₃H₁₇O₅SN : C, 52,17; H, 5,72; N, 4,68.

Encontrado: C, 52,35; H, 5,79; N, 4,43.

¹H-RMN (200 MHz, CDCl₃): δ 7.30 (s, 5H, C₆H₅); 6.36 (ancha, 1H, NH); 5.08 (s, 2H, CH₂O); 4.70 (m, 1H, CH); 3.73 (s, 3H, CH₃O); 3.15 (m, 2H, CH₂S); 2,57 (s, 3H, CH₃).

¹³C-RMN (50.29 MHz, CDCl₃): δ 170.46 (COOCH₃); 155.93 (CONH); 135.95 (C_{ipso}); 128.42 (C_{meta}); 128.12 (C_{orto}); 127.97 (C_{para}); 67.08 (CH₂O); 55.84 (CH₂S); 52.91 (CH); 50.3 (CH₃O); 39.09 (CH₃).

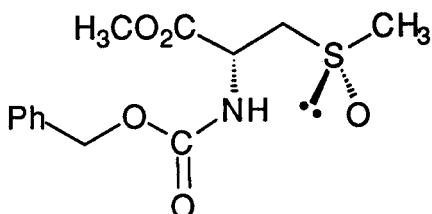
IR (KBr): ν 3191; 3031; 1748; 1710; 1052 cm⁻¹

EM: (HR) m/e para C₁₃H₁₇O₅NS 299,0827, desviación 5,0 ppm.

EM, m/e (abundancia relativa): M⁺ (5,5); 176 (6,1); 144 (6,1); 132 (7,3); 101 (20,1), 92 (18,3); 91 (100); 64 (14); 43 (13,4).

(+)-Ester metílico de la N (benciloxicarbonil)-(S)-S-Oxo-S-metil-L-cisteina 41-(S)

La reacción de 1,4 g (2,57 mmol) del sulfinato **45-(R)** tratados con bromuro de metilmagnesio (7,72 mmol), siguiendo el método general, permite obtener un sólido que se purifica por cromatografía flash (acetato de etilo-metanol; 4:1). Rendimiento 438 mg de un sólido blanco (63% rdto). p.f. 86-88 °C $[\alpha]_D^{25;c} = +10.29^\circ$ ($c = 2.7$, acetona).



Analisis. Calculado para: C₁₃H₁₇O₅SN, C, 52,17; H, 5,72; N, 4,68.
Encontrado: C, 51,91; H, 5,74; N, 4,45.

¹H-RMN (200 MHz, CDCl₃): δ 7.30 (s, 5H, C₆H₅); 6.26 (ancha, 1H, NH); 5.07 (s, 2H, CH₂O); 4.66 (m, 1H, CH); 3.73 (s, 3H, CH₃O); 3.24 (m, 2H, CH₂S); 2,57 (s, 3H, CH₃)

¹³C-RMN (50.29 MHz, CDCl₃): δ 170.15 (COOCH₃); 155.75 (CONH); 135.89 (C_{ipso}); 128.43 (C_{meta}); 128.16 (C_{orto}); 127.96 (C_{para}); 67.12 (CH₂O); 55.80 (CH₂S); 52.97 (CH); 49.92 (CH₃O); 38.82 (CH₃)

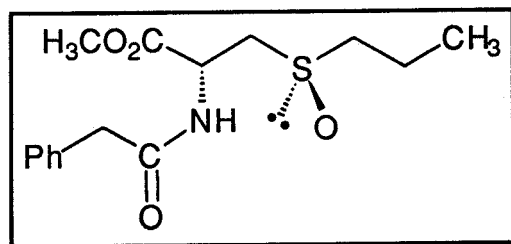
IR (KBr): ν 3312; 2997; 1751; 1689; 1540; 1274; 1216; 1035; 698 cm⁻¹

EM: (HR) m/e para C₁₃H₁₇O₅NS: 299,0827, desviación 4,6 ppm.

EM, m/e (abundancia relativa): M⁺ (3,1); 193 (1,8); 176 (8,5); 132 (9,7); 108 (6,1); 107 (6,7); 101 (6,7); 92 (54,8); 91 (100); 79 (7,3); 77 (9,1); 65 (18,9); 64 (31,1); 62 (14); 47 (18,3).

Ester metílico de la N (benciloxicarbonil)-(R)-S-Oxo-S-propil-L-cisteina 47-(R).

La reacción de 500 mg (0,92 mmol) del sulfinato 45-(S) con cloruro de propilmagnesio (2,76 mmol), por el procedimiento general, da lugar a un sólido que se purifica por cromatografía flash (acetato de etilo-metanol, 20:1) obteniéndose 186 mg de 47-(R). (62 % rdto). p.f. 96-97 °C. $[\alpha]_D^{25^\circ C} = -27^0$ (c= 1,5, CHCl₃).



Análisis. Calculado para C₁₅H₂₁O₅S: C, 55,03; H, 6,47 ; N, 4,28.

Encontrado: C, 54,98; H, 6,67; N, 4,18.

¹H-RMN (200 MHz, CDCl₃): δ 7.34 (s, 5H, C₆H₅); 6.20 (ancha, 1H, NH); 5.12 (s, 2H, CH₂O); 4.84-4.74 (m, 1H, CH); 3.78 (s, 3H, CH₃O); 3.30-3.10 (m, 2H, CHCH₂); 2.82-2.63 (m, 2H, SOCH₂); 1.87-1.74 (m, 2H, CH₂CH₃); 1.07 (t, J =7.3 Hz, 3H, CH₃)

¹³C-RMN(50.29 MHz, CDCl₃): δ 170.51 (COOCH₃); 155.93 (CONH); 136.0 (C_{ipso}); 128.34 (C_{meta}); 128.02 (C_{orto}); 127.87 (C_{para}); 67.20 (CH₂O); 54.74 (CH₂S); 53.81 (SCH₂); 52.54 (CH); 50.41 (CH₃O); 16.06 (CH₂CH₃); 13.16 (CH₃).

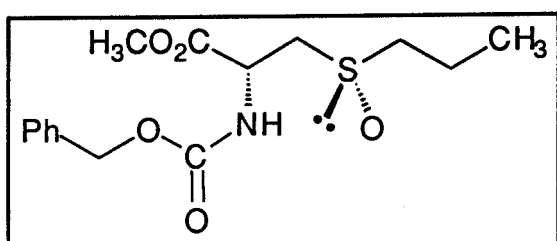
IR (KBr): v 3319; 2960; 1728; 1522; 1455; 1378; 1234; 1047; 699 cm⁻¹

EM: (HR) m/e para C₁₅H₂₁O₅NS: 327,1140, desviación 0,1 ppm.

EM, m/e (abundancia relativa): M⁺ (0,7); 176 (9,1); 160 (3,6); 144 (9,1); 114 (6,1); 102 (11,6); 92 (33,5); 91 (100); 77 (6,7); 67 (12,2); 63 (27,4); 51 (6,1); 43 (24,4).

Ester metílico de la N-(benciloxicarbonil)-(S)-S-Oxo-S-propil-L-cisteina 47-(S).

Por reacción de 500 mg (0,92 mmol) del sulfinato 45-(R) con cloruro de propilmagnesio (2,76 mmol), de acuerdo con el método general, se obtiene un sólido que se purifica por cromatografía flash (acetato de etilo-metanol, 20:1) rindiendo 201 mg en forma de un sólido blanco (67 % rdto). p.f. 124-125 °C. $[\alpha]_D^{25^\circ C} = +36^0$ (c=1, CHCl₃).



Analisis. Calculado para: C₁₅H₂₁O₅S, C, 55,03; H, 6,47; N, 4,28.

Encontrado: C, 55,25; H, 6,61; N, 4,06.

¹H-RMN (200 MHz, CDCl₃): δ 7.32 (s, 5H, C₆H₅); 6.03 (ancha, 1H, NH); 5.10 (s, 2H, CH₂O); 4.69 (m, 1H, CH); 3.76 (s, 3H, CH₃O); 3.20 (m, 2H, CHCH₂); 2.7 (m, 2H, SOCH₂); 1.7 (m, 2H, CH₂CH₃); 1.11 (t, J =7.3 Hz, 3H, CH₃)

¹³C-RMN (50.29 MHz, CDCl₃): δ 170.17 (COOCH₃); 155.72 (CONH); 135.89 (C_{ipso}); 128.51 (C_{meta}); 128.23 (C_{orto}); 128.01 (C_{para}); 67.21 (CH₂O); 54.73 (CH₂S); 53.81 (SCH₂); 53.08 (CH); 50.15 (CH₃ O); 16.16 (CH₂CH₃); 13.54 (CH₃).

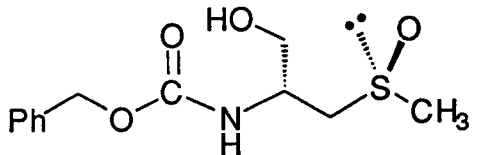
IR (KBr): ν 3359; 2948; 1726; 1519; 1450; 1377; 1230; 1052; 850; 746; 688 cm^{-1}

EM: (HR) m/e para $\text{C}_{15}\text{H}_{21}\text{O}_5\text{NS}$: 327,1140, desviación 3,7 ppm.

EM, m/e (abundancia relativa): M^+ (1,8); 245 (6,7); 187 (4,2); 176 (6,1); 127 (6,7); 101 (30,5); 92 (15,2); 91 (100); 73 (4,9); 69 (5,1); 59 (12,2); 43 (17).

(-) -N-(benciloxicarbonil)-(S)-S-Oxo-S-metil-L-cisteinol 49

Se disuelven 233 mg (0,78 mmol) del sulfoxido **41-(S)** en 15 mL de dimetoxietano. Esta disolución se enfria a 0 °C y se trata con



0,58 mL (1,16 mmol) de una disolución 2M en THF de LiBH_4 . Se agita 1 h a temperatura ambiente. Trascurrido dicho tiempo, se le añaden 5 mL de una disolución de H_2SO_4 3N lentamente manteniendo la agitación durante 10 min. Se extrae con cloruro de metíleno y la fase orgánica se seca con sulfato de sodio anhidro. Tras la evaporación del disolvente a presión reducida, se obtienen 173 mg de **49** (82%) como un sólido blanco que se purifica por cromatografía flash (acetato de etilo-metanol, 4:1). p.f. 129-130 °C. $[\alpha]_D^{25,c} = -66^\circ$ ($c=2.12, \text{CHCl}_3$).

Análisis. Calculado para: $\text{C}_{12}\text{H}_{17}\text{O}_4\text{S}$, C, 53,12; H, 6,31; N, 5,16.

Encontrado: C, 52,94 H, 6,29; N, 4,93.

1H-RMN (200 MHz, CDCl_3): δ 7.32 (s, 5H, C_6H_5); 5.79 (ancha, 1H, NH); 5.07 (s, 2H, CH_2O); 4.12 (m, 1H, CH); 3.81 (m, 2H, CH_2OH); 3.28 (ancha, 1H, OH); 3.0 (m, 2H, CH_2S); 2.60 (s, 3H, CH_3)

¹³C-RMN (50.29 MHz, CDCl₃): δ 156.04 (CONH); 136.09 (C_{ipso}); 128.54 (C_{meta}); 128.24 (C_{orto}); 128.08 (C_{para}); 67.04 (CH₂O); 63.63 (CH₂OH); 55.36 (CH₂S); 50.01 (CH); 50.29 (CH₃O); 39.04 (CH₃).

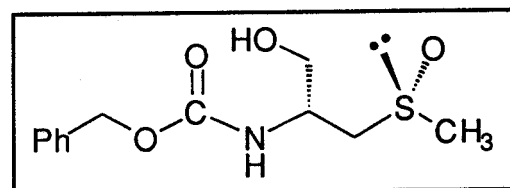
IR (KBr): ν 3425; 3023; 1718; 1502; 1313; 1221; 1192; 1032, 790; 713; 676 cm⁻¹

EM: (HR) m/e para C₁₂H₁₇O₄NS: 271,0878, desviación 4,4 ppm.

EM, m/e (abundancia relativa): M⁺ (3,1); 194 (3,1); 133 (4,8); 108 (12,2); 107 (10,4); 92 (8,5); 91 (100); 79 (12,2); 76 (10,4); 61 (6,1); 41 (4,8).

(+)-N-(benciloxicarbonil)-(R)-S-Oxo-S-metil-L-cisteinol 51

A una disolución de 120 mg (0,40 mmol) del sulfóxido **41-(R)** en 15 mL de dimetoxietano, enfriada a 0 °C , se le agregan



0,30 mL (0,60 mmol) de una disolución de LiBH₄ 2M en THF y se agita durante 1 h a temperatura ambiente. Transcurrido este tiempo, se le añaden 5 mL de una disolución de H₂SO₄ 3N lentamente manteniendo la agitación durante 10 min. La mezcla se extrae con diclorometano y se seca con sulfato de sodio anhidro. La eliminación del disolvente a presión reducida da lugar a un sólido blanco que se purifica por cromatografía flash (acetato de etilo-metanol, 4:1) obteniéndose 92 mg de un sólido blanco (85% rdto). p.f. 122-124 °C. [α]_D^{25°C} = +32 (c=2.28, CHCl₃).

Análisis. Calculado para: C₁₂H₁₇O₄SN, : C, 53,12; H, 6,31; N, 5,16.

Encontrado: C, 53,31 H, 6,18; N, 5,07.

¹H-RMN (200 MHz, CDCl₃): δ 7.35 (s, 5H, C₆H₅); 5.77 (ancha, 1H, NH); 5.11 (s, 2H, CH₂O); 4.64 (s, 2H, OCH₂O); 4.38-4.28 (m, 1H, CH); 3.85-3.68 (m, 2H, CH₂OCH₂); 3.35 (s, 3H, CH₃O), 3.04 (d, J = 6.1 Hz, 2H, CH₂S); 2.64 (s, 3H, CH₃).

¹³C-RMN (50.29 MHz, CDCl₃): δ 155.67 (CONH); 136.18 (C_{ipso}); 128.50 (C_{meta}); 128.47 (Corto); 128.10 (C_{para}); 96.78 (OCH₂O); 68.35 (CH₂OCH₂); 66.91 (CH₂O); 56.05 (CH₂S); 55.58 (CH); 47.92 (CH₃O); 39.43 (CH₃).

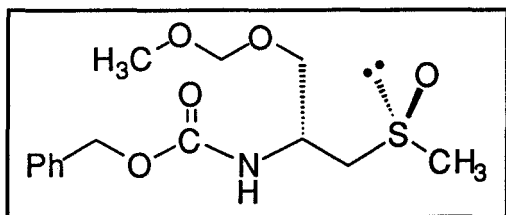
IR (KBr): ν 3675; 3432; 3024; 2953; 1728; 1505; 1440; 1341; 1215; 1185; 1059; 1016; 807; 785; 697 cm⁻¹

EM: (HR) m/e para C₁₂H₁₇O₄NS: 271,0878, desviación 2,4 ppm.

EM, m/e (abundancia relativa): M⁺ (1,8); 238 (3,1); 164 (3,1); 133 (9,1); 108 (9,1); 107 (6,1); 101 (4,8); 92 (14,6); 91 (100); 79 (10,9); 77 (6,1); 45 (56,7).

(-)-N-(benciloxicarbonil)-(O)-(metoximetil)-(S)-S-Oxo-S-metil-L-cisteinol 50

A una disolución de 80 mg (0,25 mmol) del alcohol **49** en 20 mL de THF seco, enfriada a 0 °C, se le agregan 0,63 mL (0,88 mmol) de otra disolución 1,4 M de ⁿbutillitio.



A continuación, se le añaden 0,34 mL (0,44 mmol) de cloruro de metoximetilo agitándose durante 1 h a esa temperatura. Posteriormente, se deja agitar la mezcla durante 3 días a temperatura ambiente. Al cabo de este tiempo se hidroliza con una disolución saturada de cloruro de amonio y se extrae con diclorometano. Tras eliminar el disolvente por evaporación a presión reducida

se forma un residuo que se purifica por cromatografía rápida en columna (AcOEt-MeOH 95:5). De esta forma se obtienen 80 mg de un aceite transparente (86% rdto). $[\alpha]_D^{25^\circ\text{C}} = -76,4^\circ$ ($c=1,1$, acetona), (lit.²⁸ para su enantiómero $[\alpha]_D^{25^\circ\text{C}} = +76^\circ$, $c=0.1$, acetona).

Analisis. Calculado para: C₁₄H₂₁O₅S : C, 53,31; H, 6,71; N, 4,44.

Encontrado: C, 53,36 H, 6,73; N, 4,41.

¹H-RMN (200 MHz, CDCl₃): δ 7.3 (s, 5H, C₆H₅); 6.06 (ancha, 1H, NH); 5.05 (s, 2H, CH₂O); 4.19 (ancha, 1H, OH); 4.09 (m, 1H, CH); 3.71 (ancha, 2H, CH₂OH); 3.05 (m, 2H, CH₂S); 2,58 (s, 3H, CH₃)

¹³C-RMN (50.29 MHz, CDCl₃): δ 155.98 (CONH); 136.07 (C_{ipso}); 128.44 (C_{meta}); 128.12 (C_{orto}); 127.96 (C_{para}); 66.83 (CH₂O); 63.19 (CH₂OH); 57.22 (CH₂S); 49.30 (CH); 38.08 (CH₃).

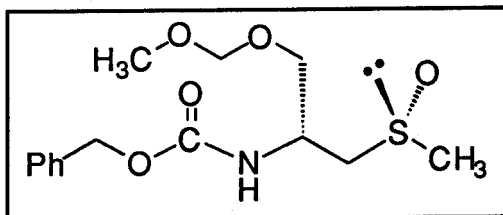
IR (KBr): ν 3311; 2997; 1685; 1544; 1274; 1141; 1115; 1029; 697 cm⁻¹

EM: (HR) m/e para C₁₄H₂₁O₅NS: 315,1140, desviación 5,9 ppm.

EM, m/e (abundancia relativa): M⁺ (5,5); 194 (4,8); 154 (2,4); 150 (4,2); 133 (5,4); 117 (4,2); 108 (18,3); 107 (12,2); 100 (4,2); 92 (13,4); 91 (100); 79 (14,6); 77 (9,1); 65 (9,1); 61 (8,5); 51 (6,1); 41 (4,8).

(+)-N-(benciloxicarbonil)-(O)-(metoximetil)-(R)-S-Oxo-S-metil-L-cisteinol 52

Se añaden 0,39 mL (0,55 mmol) de una disolución 1,4 M de ⁿbutillitio en hexano a 50 mg (0,18 mmol) del alcohol **51**, disueltos en 12 mL de THF seco y enfriados a 0 °C. A continuación se le añaden 0,21 mL (0,20 mmol) de cloruro de metoximeto agitándose durante 1 h a esa temperatura. Posteriormente, se agita la mezcla durante 3 días a temperatura ambiente. Pasado ese tiempo se hidroliza con una disolución saturada de NH₄Cl y se extrae con diclorometano. Tras eliminar el disolvente por evaporación a presión reducida se forma un residuo que se purifica por cromatografía flash (AcOEt/MeOH 95:5). Rendimiento 53 mg de **52** (91% rdto) en forma de un aceite transparente . [α]_D^{25°C} = +13,3° (c=1,8, acetona),



Analisis. Calculado para: C₁₄H₂₁O₅SN : C, 53,31; H, 6,71; N, 4,44.

Encontrado: C, 53,22; H, 6,82; N, 4,23.

¹H-RMN (200 MHz, CDCl₃): δ 7.35 (s, 5H, C₆H₅); 5.50 (ancha, 1H, NH); 5.11 (s, 2H, CH₂O); 4.63 (s, 2H, OCH₂O); 4.33-4.20 (m, 1H, CH); 3.84-3.63 (m, 2H, CHCH₂O); 3.35 (s, 3H, CH₃O); 3.03 (d, J =6.1 Hz, 2H, CH₂S); 2,68 (s, 3H, CH₃).

¹³C-RMN (50.29 MHz, CDCl₃): δ 155.71 (CONH); 136.09 (C_{ipso}); 128.54 (C_{meta}); 128.24 (C_{orto}); 128.11 (C_{para}); 96.82 (OCH₂O); 68.91 (CH₂OCH₂); 67.04 (CH₂O); 56.85 (CH₂S); 55.63 (CH); 47.44 (CH₃O); 39.18 (CH₃).

IR (KBr): ν 3659; 3467; 3038; 2875; 1729; 1507; 1445; 1338 1267; 1174; 1044; 811; 789; 686 cm⁻¹

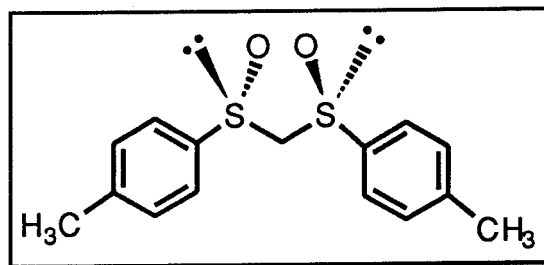
EM: (HR) m/e para C₁₄H₂₁O₅NS: 315,1140, desviación 8,4 ppm.

EM, m/e (abundancia relativa): M⁺ (3,1); 240 (2,4); 238 (3,7); 196 (3,1); 164 (4,2); 133 (12,1); 108 (10,4); 107 (7,3); 101 (5,4); 92 (18,3); 91 (100); 79 (9,1); 77 (7,3); 45 (61).

(S,S)-(+)-p-tolil-bis-sulfóxido (99)

Método A:

Se disuelven 2 mL (14 mmol) de diisopropilamina en 10 mL de THF anhidro y se enfrian a 0 °C. A continuación se le añaden 9 mL (14 mmol) de otra disolución 1,6 M de *n*butillitio en hexano y se agita la mezcla durante 30 min a 0 °C. Trancurrido este tiempo, se enfria a -78 °C y se le añade lentamente una disolución de 1g (6,5 mmol) de (*R*)-(+)-metil-p-tolisulfóxido **21-(R)** en 10 mL de THF anhidro, y se mantiene la agitación durante 30 min a esta temperatura.



Al cabo de este tiempo, se añade esta mezcla gota a gota sobre una disolución de 2,3 g (7,8 mmol) de (*S*)-(-)-p-toluenosulfonato de mentilo **2-(S)** en 25 mL de THF anhidro, enfriada a -78 °C, y se agita durante 1 h a esta temperatura. Se hidroliza con una disolución de cloruro de amonio y se extrae con diclorometano, se seca sobre sulfato sódico anhidro y se evapora el disolvente a presión reducida. El residuo oleoso se lava con hexano caliente,

formándose un sólido blanco que se cristaliza de una mezcla de diclorometano y hexano a temperatura ambiente. Rendimiento 4.5 g, (79 %) como un sólido cristalino; p.f. 136-137 °C (lit.⁶³ p.f. 137.5 °C), $[\alpha]_D^{25^\circ\text{C}} = +317^\circ$ (c=1, acetona), (lit.⁶³ $[\alpha]_D^{25^\circ\text{C}} = +318^\circ$, c=0.1, acetona).

Método B:

Se adicionan 8,9 mL (14,26 mmol) de una disolución 1,6 M de ⁿbutillitio en hexano a una disolución de 1,99 mL (14,26 mmol) de diisopropilamina en 15 mL de THF anhidro, enfriada a 0 °C, y se agita durante 30 min. a esa temperatura. Posteriormente, se enfria a -78 °C y se le adiciona lentamente una disolución de 1 g (6,48 mmol) de (+)-(R)-p-tolilsulfóxido **21-(R)** en 10 mL de THF agitándose durante 1 h a esa temperatura. Transcurrido este tiempo, la mezcla se adiciona gota a gota sobre una disolución de 3,09 g (7,78 mmol) de (+)-(S)-p-toluenosulfinato de DAG **25-(S)** procediendo igual que en el método anterior. El residuo obtenido, tras la eliminación del disolvente, se cristaliza de acetato de etilo caliente. Se obtienen así 1,55 g del bis-sulfóxido (82 % rdto) como un sólido cristalino que presenta los mismos valores de p.f. y rotación óptica que el obtenido en el método anterior.

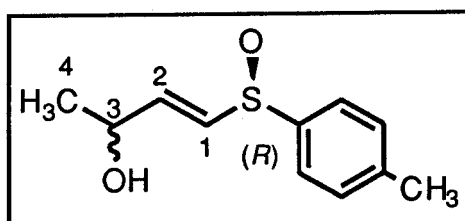
Procedimiento general de obtención de γ -hidroxisulfóxidos- α,β -insaturados (101).

A una disolución del bis-sulfóxido **99** (1 eq) en acetonitrilo se le adiciona sucesivamente piperidina (5 eq) y el aldehido correspondiente (2,5 eq). La mezcla se agita el tiempo detallado en cada caso. Al cabo de este tiempo, se hidroliza con una disolución de HCl al 10%, se extrae con

diclorometano y la fase orgánica se lava con una disolución saturada de HCO_3Na y otra de ClNa , secándose sobre sulfato sódico anhidro. Tras la evaporación del disolvente a presión reducida el residuo se purifica por cromatografía en columna rápida.

(E)-1-(*p*-Tolilsulfinil)-1-buten-3-ol (101a).

La reacción de 1 g (3,42 mmol) del bis-sulfóxido **99** con 1,46 mL (17 mmol) de piperidina y 0,617 mL (8,55 mmol) de propionaldehido, por el procedimiento general durante 10 días, da lugar a un residuo que se purifica por cromatografía flash utilizando una mezcla de acetato de etilo:hexano (5:3). De esta forma se obtienen 358 mg de **101a** en forma de un líquido viscoso (50% rdt).



$^1\text{H-RMN}$ (500 MHz, CDCl_3): δ 7,50-7,31 (sistema AA'BB', 4H, Me-C₆H₄); 6,63 y 6,62 (dd, $J_{\text{anti}}=15,0$ Hz, $J_{2,3}=4,1$ Hz, 1H, H₂); 6,46 y 6,44 (dd, $J_{\text{anti}}=15,0$ Hz, $J_{2,3}=4,1$ Hz, 1H, H₁); 4,52 (m, 1H, H₃); 2,41 (s, 3H, CH₃-Ar); 1,79 (s, ancha, 1H, OH); 1,35 (d, $J_{3,4}=6,6$ Hz, 3H, H₄).

$^{13}\text{C-RMN}$ (125 MHz, CDCl_3): δ 141,93 (C-2); 141,72 (C_{ipso}); 140,24 (C_{para}); 133,46 (C-1); 130,02 (C_{meta}); 124,65 (C_{orto}); 67,01 (C-3); 22,84 (C-4) y 21,32 (CH₃-Ar).

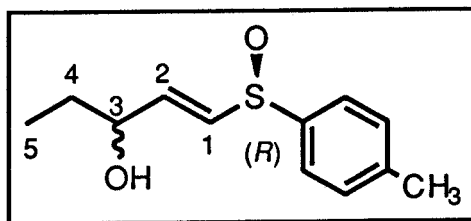
EM: (HR) m/e para $\text{C}_{11}\text{H}_{14}\text{O}_2\text{S}$: 210,0714, desviación 3,0 ppm.

Parte Experimental

EM, m/e (abundancia relativa): M⁺ (10,9); 194 (12,2); 166 (57,9); 162; (100); 147 (40,2); 140 (20,1); 131 (20,7); 124 (34,1); 123 (76,2); 119 (46,3); 108 (17); 105 (55,5); 92 (68,9); 91 (56,7); 77 (14,6); 69 (60,9); 65 (19,5); 45; (33,5); 43 (29,9); 41 (6,7).

(E)-1-(*p*-Tolilsulfinil)-1-penten-3-ol (101b).

800 mg (2,74 mmol) del bis-sulfóxido **99** tratados con 1,59 mL (13,7 mmol) de piperidina y 0,6 mL (6,85 mmol) de butiraldehido durante 3 días, siguiendo el procedimiento general, da lugar a 521 mg de un aceite transparente (85% rtto) trás purificación cromatográfica con una mezcla de acetato de etilo-hexano-diclorometano (1:1:1).



1H-RMN (500 MHz, CDCl₃): δ 7.49-7,30 (sistema AA'BB', 4H, Me-C₆H₄); 6,61 y 6.60 (dd, J_{anti}=15,0 Hz, J_{2,3}=4,4 Hz, 1H, H₂); 6,46 y 6.44 (dd, J_{anti}=15,0 Hz, J_{1,3}=1,5 Hz, 1H, H₁); 4,27 (m, 1H, H₃); 2,40 (s, 3H, CH₃-Ar); 1,64 (m, 3H, H₄ y OH); 0,95 (t, J =7,4 Hz, 3H, H₅).

13C-RMN (125 MHz, CDCl₃): δ 141,59 (C-2); 141,01 (C_{ipso}); 140,32 (C_{para}); 133,11 (C-1); 129,99 (C_{meta}); 124,68 (C_{orto}); 72,02 (C-3); 29,66 (C-4) y 21,42 (CH₃-Ar); 9,37 (C-5).

EM: (HR) m/e para C₁₂H₁₆O₂S: 224,0870, desviación 0,1 ppm.

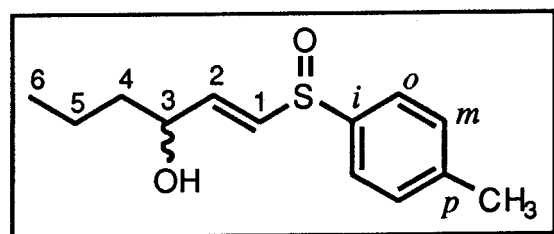
EM, m/e (abundancia relativa): M⁺ (4,3); 208 (17,7); 206 (6,7); 190 (15,2); 179 (25); 177 (28,6); 176 (50); 167 (17,7); 166 (60,1); 161 (10,9); 147 (100);

140 (19,5); 124 (58,5); 123 (91,4); 105 (42,7); 92 (54,8); 91 (85,4); 87 (26,2); 77 (20,1); 65 (26,8); 59 (32,3); 57 (39); 45 (15,8).

(E)-1-(*p*-Tolilsulfinil)-1-hexen-3-ol (101c).

Una disolución del bis-sulfóxido **92** (1,6 g, 5,5 mmol), valeraldehído (1,5 mL, 13,7 mmol) y piperidina (2,7 ml, 28 mmol),

en acetonitrilo anhidro (14 ml) se hizo reaccionar, de acuerdo con el procedimiento general durante 1 dia. Como eluyente en la purificación se utiliza una mezcla de éter-acetato de etilo (2:1), obteniéndose en forma de aceite viscoso la mezcla de los dos diastereómeros del γ -hidroxisulfóxido- α,β -insaturado **101b** (1,28 g, 98 % rdto).



$^1\text{H-RMN}$ (500 MHz, CDCl_3): δ 7.47-7.28 (sistema AA'BB', 4H, Me-C₆H₄); 6.60 y 6.58 (ddd, $J_{\text{anti}}=15.0$ Hz, $J_{2,3}=4.5$ Hz, $J_{2,4}=1.0$ Hz, 1H, H₂); 6.44 y 6.42 (dt, $J_{\text{anti}}=15.0$ Hz, $J_{1,3}=1.3$ Hz, 1H, H₁); 4.31 (m, 1H, H₃); 2.70 (s ancho, 1H, OH); 2.38 (s, 3H, CH₃-Ar); 1.54 (m, 2H, H₄); 1.35-1.45 (m, 2H, H₅) y 0.91 (t, $J=7.3$ Hz, 3H, H₆).

$^{13}\text{C-RMN}$ (125 MHz, CDCl_3): δ 141.59 (C_{ipso}); 141.56 (C-2); 140.26 (C_{para}); 133.73 (C-1); 129.99 (C_{meta}); 124.70 (C_{orto}); 70.55 (C-3); 38.78 (C-4); 21.31 (CH₃-Ar); 18.38 (C-5) y 13.78 (C-6).

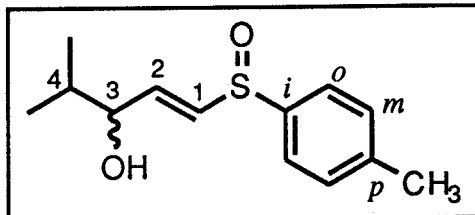
IR (KBr): ν 3371; 2958; 2869; 1595; 1492; 1454; 1083; 1029; 963; 808; 628 cm^{-1}

EM: (HR) m/e para C₁₃H₁₈O₂S: 238.1027, desviación 0.0 ppm.

EM, m/e (abundancia relativa): M⁺ (2,4); 222 (3,4); 204 (23,0); 190 (11,5); 187 (35,8); 166 (67,3); 147 (100); 140 (21,2), 139 (12,7); 124 (61,2); 123 (85,5); 92 (54,5); 91 (75,8); 71 (53,3) y 55 (40,6).

(E)-1-(*p*-Tolilsulfinil)-4-metil-1-penten-3-ol (101d).

Se hace la reacción de una disolución de bis-sulfóxido **99** (1.5 g, 5.1 mmol), con isovaleraldehído (1,4 mL, 12,8 mmol) y piperidina (2,6 ml, 25,6 mmol) en acetonitrilo anhidro (13 mL)



durante 2 días siguiendo el método general. El residuo obtenido se purifica por cromatografía en columna utilizando como eluyente una mezcla de éter-acetato de etilo (1:1), obteniéndose la mezcla de los dos diastereómeros del γ -hidroxisulfóxido- α,β -insaturado **94c** (1.18 g, 96 % rdto) como un líquido viscoso.

¹H-RMN (500 MHz, CDCl₃): δ 7.47-7.28 (sistema AA'BB', 4H, Me-C₆H₄), 6.61 y 6.58 (dd, $J_{\text{anti}}=15.0$ Hz, $J_{2,3}=4.7$ Hz, 1H, H₂); 6.45 y 6.42 (dd, $J_{\text{anti}}=15.0$ Hz, $J_{1,3}=1.5$ Hz, 1H, H₁); 4.09 (m, 1H, CH(OH)); 3.00 (s, 1H, OH); 2.38 (s, 3H, CH₃-Ar); 1.81 (octeto, $J=6.7$ Hz, 1H, (CH₃)₂CH) y 0.91 (2d, $J=6.7$ Hz, 6H, (CH₃)₂CH).

¹³C-RMN (125 MHz, CDCl₃): δ 141.59 (C_{ipso}); 141.49 (C_{para}); 139.94 (C-2); 134.63 (C-1); 129.97 (C_{meta}); 124.70 (C_{orto}); 75.57 (C-3); 33.76 (C-4); 21.28 (CH₃-Ar) y 18.14 y 17.45(CH₃)₂CH).

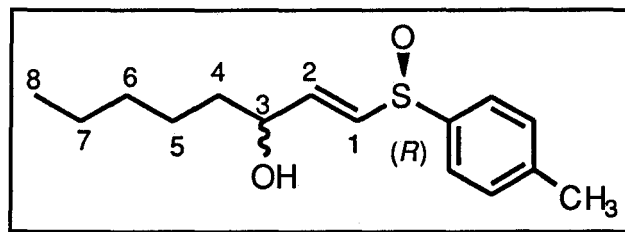
IR (KBr): ν 3381,2960; 2873; 1656; 1595; 1493; 1459; 1088; 1030; 962; 809; 637 cm⁻¹.

EM: (HR) m/e para C₁₃H₁₈O₂S: 238.1027, desviación 0.6 ppm.

EM, m/e (abundancia relativa): M⁺ (2.4); 222 (8.5); 204 (17.0); 190 (11.5); 166 (35.8); 147 (100); 140 (10.9); 124 (43.6); 123 (55.2); 92 (24.2); 91 (54.5) y 55 (13.9).

(E)-1-(*p*-Tolilsulfinil)-octen-3-ol (101e).

Una disolución de 800 mg del bis-sulfóxido **99** (2,74 mmol), 1,35 mL de piperidina (13,7 mmol) y 0.95 mL de heptanal (6,85 mmol)



en acetonitrilo se hace reaccionar de acuerdo con el método general durante 3 días. La purificación cromatográfica con una mezcla de acetato de etilo-hexano-diclorometano (2:2:1) da lugar a 568 mg del hidroxisulfóxido **101d** (78% rdto) como un aceite.

¹H-RMN (500 MHz, CDCl₃): δ 7.46-7.26 (sistema AA'BB', 4H, Me-C₆H₄); 6.58 y 6.57 (dd, $J_{\text{anti}}=15.0$ Hz, $J_{2,3}=4.7$ Hz, $J_{2,4}=1.0$ Hz, 1H, H₂); 6.42 y 6.39 (dd, $J_{\text{anti}}=15.0$ Hz, $J_{1,3}=1.5$ Hz, 1H, H₁); 4.27 (m, 1H, H₃); 3,43 (ancha, 1H, OH), 2.37 (s, 3H, CH₃-Ar); 1.53 (m, 2H, H₄); 1.39 (m, 2H, H₅); 1,29 (m, 4H, H₆ y H₇) y 0.86 (t, $J = 6.8$ Hz, 3H, H₈).

¹³C-RMN- (125 MHz, CDCl₃): δ 142,06 (C_{ipso}); 141,55 (C-2); 140,18 (C_{para}); 133,46 (C-1); 130,06 (C_{meta}); 124,72 (C_{ortho}); 70,64 (C-3); 36,63 (C-4); 31,52 (C-6); 24,81 (C-5); 22,43 (C-7); 21,28 (CH₃-Ar) y 13,88 (C-8).

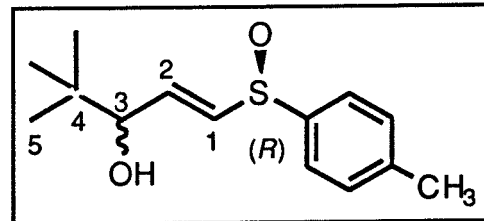
IR(KBr): ν 3378; 2933; 2860; 1596; 1492; 1455; 1083; 1032; 956; 808 cm⁻¹.

EM: (HR) m/e para C₁₅H₂₂O₂S: 266,1340, desviación 1,3 ppm.

EM, m/e (abundancia relativa): M⁺ (3,04); 250 (12,2); 232 (5,4); 218 (15,8); 217 (17,1); 179 (21,3); 167 (32); 166 (94); 152 (18,3); 147 (100); 140 (23,2); 124 (38,4); 123 (72); 118 (25); 105 (50,1); 99 (30,4); 92 (43,3); 91 (53); 87 (21,3); 71(21,4); 65 (19,5); 55 (38,4); 45 (10,4); 43 (33,5); 41 (29,2).

(E)-4,4-dimetil-1-(*p*-Tolilsulfíníl)-1-penten-3-ol (101f).

Al tratar 200 mg (0,68 mmol) del bis-sulfóxido **99** con 0,34 mL (3,42 mmol) de piperidina y 0,21 mL (1,71 mmol) de 3,3-dimetilbutiraldehido, segun



el procedimiento general durante 3 dias, se obtiene previa purificación cromatográfica utilizando como eluyente una mezcla de acetato de etilo y eter (2:1) 127 mg del correspondiente hidroxisulfóxido (74% rdto) como un sólido blanco. p.f. = 73-75 °C.

Análisis. Calculado para C₁₄H₂₀SO₂ : C, 66,63; H, 7,94.

Encontrado: C, 66,50; H, 7,72.

¹H-RMN (500 MHz, CDCl₃): δ 7.51-7.31 (sistema AA'BB', 4H, Me-C₆H₄); 6.71 y 6.70 (dd, $J_{\text{anti}}=15.0$ Hz, $J_{2,3}=5,1$ Hz, 1H, H₂); 6.49 y 6.46 (dd, $J_{\text{anti}}=15.0$ Hz, $J_{1,3}=1.5$ Hz, 1H, H₁); 4.00 (dd, $J_{2,3}=5,1$ Hz 1H, CH(OH)); 3.00 (s, 1H, H₄); 2.41 (s, 3H, CH₃-Ar); 1.92 (ancha, 1H, OH) y 0.95 (s, 9H, (CH₃)₃C).

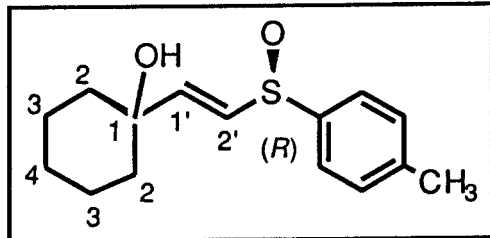
¹³C-RMN (125 MHz, CDCl₃): δ 141,57 (C_{ipso}); 140,48 (C_{para}); 137,88 (C-2); 135,70 (C-1); 130,0 (C_{meta}); 124,67 (C_{orto}); 78,72 (C-3); 35,64 ((CH₃)₃C); 25,57 ((CH₃)₃C) y 21,33(CH₃-Ar).

EM: (HR) m/e para C₁₄H₂₀O₂S: 252,1184, desviación 5,5 ppm.

EM, m/e (abundancia relativa): 252 (1,8); 181 (4,2); 180 (14); 179 (100); 178 (38,4); 177 (15,8); 161 (13,4); 149 (14); 147 (29,3); 124 (14,6); 123 (15,2); 91 (25,6); 87 (27,4); 69 (10,4); 57 (26,2); 41 (15,8).

(E)-1-(2-p-Tolilsulfinil-1-etenil)-ciclohexanol (101g).

Una disolución de 100 mg (0,34 mmol) del bis-sulfóxido **99**, 0,169 mL (1,71 mmol) de piperidina y 0,104 mL (0,86 mmol) de ciclohexanal tratada de acuerdo con el método general durante 10 días permite obtener tras purificación cromatográfica (AcOEt/ Hexano, 1:1), 63 mg del hidroxisulfóxido como un sólido blanco. p.f. 81-83 °C. [α]_D^{25°C} = +203° (c=2,9; CHCl₃).



¹H-RMN (500 MHz, CDCl₃): δ 7,50-7,30 (sistema AA'BB', 4H, Me-C₆H₄); 6,67 (d, *J*_{anti}=15 Hz, 1H, H_{1'}); 6,47 (d, *J*_{anti}=15 Hz, 1H, H_{2'}), 2,41 (s, 3H, CH₃-Ar); 1,78 (ancha, 1H, OH); 1,61 (m, 8H, H₂ y H₃) y 1,30 (m, 2H, H₄).

¹³C-RMN (125MHz, CDCl₃): δ 145,28 (C-1'); 141,51 (C_{ipso}); 140,54 (C_{para}); 132,64 (C-2'); 129,98 (C_{meta}); 124,71 (Corto); 72,10 (C-1); 37,21 (C-2'); 25,06 (C-4); 21,46 (C-3) y 21,31 (CH₃-Ar).

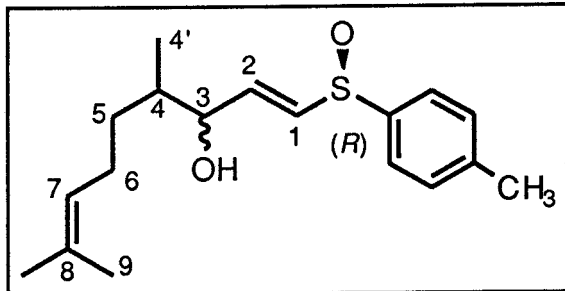
IR(KBr): v 3369; 2928; 1648; 1443; 1396; 1176; 1080; 1047; 1010; 851; 804 cm⁻¹.

EM: (HR) m/e para C₁₅H₂₀O₂S: 264,1184, desviación 0,0 ppm.

EM, m/e (abundancia relativa): M⁺ (5,5); 249 (14); 230 (41,4); 216 (23,8); 204 (12,2); 197 (21,9); 173 (23,2); 166 (56,1); 155 (23,8); 139 (40,2); 124 (81,1); 123 (41,5); 105 (47,5); 99 (28,6); 92 (27,4); 91 (100); 80 (42); 79 (54,8); 77 (32,3); 65 (26,2); 56 (36,6); 45 (23,8); 41 (39).

(E)-1-(*p*-tolilsulfinil)-4,8-dimetil-1,7-nonandien-3-ol (101h).

La reacción de 150 mg (0,51 mmol) del bis-sulfóxido 99 con 0,254 mL (2,57 mmol) de piperidina y 0,233 (1,28 mmol) mL de citronelal durante 7 días, siguiendo el procedimiento



general, da lugar al hidroxisulfóxido 101h como un líquido viscoso, que se purifica por cromatografía flash utilizando una mezcla de hexano-acetato de etilo-diclorometano (6:3:1). Rendimiento 134 mgr (85% rdto).

¹H-RMN (500 MHz, CDCl₃): δ 7,49-7,29 (sistema AA'BB', 4H, Me-C₆H₄); 6,59 y 6,58 (dd, J_{anti}=15,0 Hz, J_{2,3}=4,6 Hz, 1H, H₂); 6,46 y 6,43 (dd, J_{anti}=15,0 Hz, J_{1,3}=1,5 Hz, 1H, H₁); 5,05 (m, 1H, H₇); 4,25 (m, 1H, H₃); 2,62 (ancha, 1H, OH); 2,39 (s, 3H, CH₃-Ar); 1,95 (m, 2H, H₄); 1,68 (s, 3H, H₉); 1,18 (m, 4H, H₅ y H₆); 0,88 (c, J =6,8 Hz, 3H, H_{4'}).

¹³C-RMN (125 MHz, CDCl₃): δ 142, 48 (Cipso); 141,51 (Cpara); 139,84 (C-2); 135,10 (C-1); 134,86 (C-8); 130,01 (Cmeta); 124, 74 (Corto); 124,16 (C-7);

74,59 y 74,11 (C-3); 38,51 y 38,01 (C-4); 32,79 y 32,09 (C-5); 25,63 (C-6) 21,33 (CH_3Ar); 14,87 (C-9) y 14,02 (C-4').

IR(KBr): ν 3384; 2921; 1662; 1448; 1083; 1032; 808 cm⁻¹

EM: (HR) m/e para $\text{C}_{18}\text{H}_{26}\text{O}_2\text{S}$: 305,1575, desviación 6,9 ppm.

EM, m/e (abundancia relativa): M⁺ (2,4); 290 (19,5); 289 (17,2); 272 (25); 239 (6,2); 219 (5,4); 207 (10,9); 206 (14,8); 203 (36,7); 192 (10,9); 181 (22,6); 179 (89,8); 177 (51,5); 169 (36,7); 165 (21); 161 (28,1); 149 (100); 147 (29,7); 140 (64); 137 (46,8); 124 (68); 123 (43,7); 107 (26,5); 105 (16,4); 93 (48,4); 91 (94,5); 88 (23,4); 81 (23,4); 79 (31,2); 69 (98,4); 67 (14); 55 (23,4).

Procedimiento general para el estudio de la influencia de la base en el proceso SPAC.

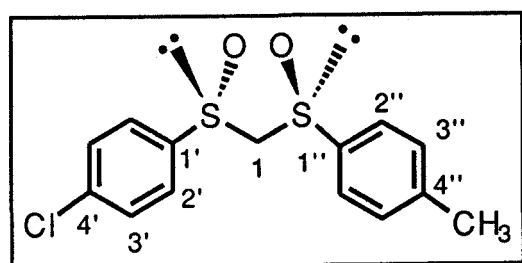
Al bis-sulfóxido **99** (1 eq) y la correspondiente base (5 eq) en acetonitrilo se le adiciona valeraldehido (2,5 eq). La mezcla se agita el tiempo descrito para cada caso. Transcurrido dicho tiempo, se hidroliza con una disolución de HCl al 10%, se extrae con diclorometano y la fase orgánica se lava con una disolución saturada de HCO_3Na y otra de ClNa , secándose sobre sulfato sódico anhidro. La eliminación del disolvente a presión reducida seguida de purificación por cromatografía en columna rápida da lugar al hidroxisulfóxido **101d**.

Procedimiento general para la obtención de bis-sulfóxidos

A una disolución de diisopropilamina (2,2 eq) en THF anhidro enfriada a 0 °C, se le añade una disolución de ⁿbutillitio 1,6 M en hexano (2,2 eq) y la mezcla se agita a esa temperatura durante 30 min. A continuación, se enfria a -78 °C y se añade otra disolución del correspondiente metilsulfóxido (1 eq) manteniendo la agitación durante 1 h a esa temperatura. Por último, la mezcla se adiciona gota a gota sobre una disolución del respectivo sulfinato (1,2 eq) agitándose toda la mezcla 1 h a la misma temperatura. Se hidroliza con una disolución saturada de NH₄Cl y se extrae con diclorometano. El extracto orgánico se lava con una disolución saturada de ClNa y se seca sobre sulfato de sodio anhidro. Trás eliminar el disolvente, el residuo se purifica por cromatografía en columna rápida.

(S,S)-1-(*p*-clorofenilsulfinil)-1-(*p*-tolilsulfinil)-metano 102.

La reacción de 800 mg (5,18 mmol) del (*R*)-*p*-tolilmetsulfóxido 21-(*R*) con 3,26 g del (-)-(S)-*p*-clorobencenosulfinato de DAG 28-(S) en las condiciones descritas en el procedimiento general conduce a un residuo que se purifica por cristalización en una mezcla de acetato de etilo: hexano a temperatura ambiente, rindiendo 1,23 g del bis-sulfóxido 102 (76% rdto) como un sólido cristalino blanco. p.f. 182-183 °C. $[\alpha]_D^{25^\circ\text{C}} = +232^\circ$ (c=4,3; acetona)



Análisis. Calculado para C₁₄H₁₃O₂S₂Cl : C, 53,75; H, 4,19

Encontrado: C, 53,83; H, 4,24

¹H-RMN (200 MHz, CDCl₃): δ 7,55 y 7,43 (sistema AA'BB', 4H, Cl-C₆H₄); 7,57 y 7,27 (sistema AA'BB', 4H, Me-C₆H₄); 3,97 (sistema AB; J_{AB}=12,3 Hz; 2H; CH₂); 2,34 (s, 3H; CH₃Ar)

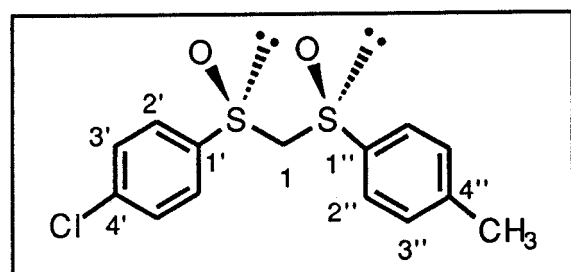
¹³C-RMN (50,29; CDCl₃): δ 142,6 (C-1'); 141,04 (C-1''); 138,98 (C-4'); 137,94 (C-4''); 130,29 (C-3'); 129,80 (C-3''); 125,72 (C-2'); 125,33 (C-2''); 83,98 (CH₂); 21,34 (CH₃Ar).

EM: (HR) m/e para C₁₄H₁₃O₂S₂Cl: 312,0045, desviación 1,0 ppm.

EM, m/e (abundancia relativa): M⁺ (0,8); 296 (0,8); 250 (3,1); 173 (3,9); 159 (14,8); 157 (40); 153 (55,4); 144 (16,4); 139 (41,4); 137 (73,4); 125 (36); 123 (17,9); 105 (100); 91 (20,3); 77 (10,1); 69 (23,4); 60 (7,8).

(R,S)-1-(*p*-clorofenilsulfinil)-1-(*p*-tolilsulfinil)-metano 104.

La reacción de 750 mg (4,31 mmol) del (*S*)-*p*-clorofenilmetilsulfóxido con 2,06 g del (-)-(*S*)-*p*-toluenosulfinato de DAG, de acuerdo con las condiciones descritas en el método general, da lugar a un residuo que se purifica por cristalización de acetato de etilo-hexano en caliente. Se obtienen 1,05 g del correspondiente bis-sulfóxido **104** (78 % rdto) como un sólido cristalino blanco. p.f. 128-130 °C. [α]_D^{25°C} = +340° (c=1,2; acetona).



Análisis. Calculado para C₁₄H₁₃O₂S₂Cl : C, 53,75; H, 4,19

Encontrado: C, 53,56, H, 4,21.

¹H-RMN (200 MHz, CDCl₃): δ 7,65 y 7,52 (sistema AA'BB', 4H, Cl-C₆H₄); 7,57 y 7,36 (sistema AA'BB', 4H, Me-C₆H₄); 4,04 (sistema AB; J_{AB}=12,7 Hz; 2H; CH₂); 2,42 (s, 3H; CH₃Ar)

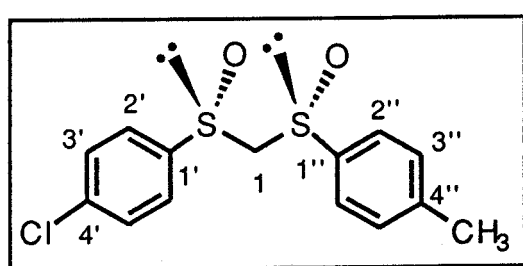
¹³C-RMN (50,29; CDCl₃): δ 142,70 (C-1'); 141,23 (C-1''); 139,19 (C-4'); 138,09 (C-4''); 130,37 (C-3'); 129,85 (C-3''); 125,37 (C-2'); 123,93 (C-2''); 79,39 (CH₂); 21,41 (CH₃Ar).

EM: (HR) m/e para C₁₄H₁₃O₂S₂Cl: 312,0045, desviación 4,7 ppm

EM similar al descrito para **102**.

(S,R)-1-(*p*-clorofenilsulfinil)-1-(*p*-tolilsulfinil)-metano 105.

664 mg (4,31 mmol) del (*S*)-*p*-tolilmetilsulfóxido **21-(S)** se hacen reaccionar según el procedimiento general, con 2,18 g (6,89 mmol) del (*S*)-*p*-clorobencenosulfinato de DAG **32-(S)**.



El residuo, que se obtiene trás la evaporación del disolvente, se purifica por cromatografía flash utilizando como eluyente una mezcla de acetato de etilo-hexano (1:1), rindiendo 964 mg del bis-sulfóxido **106** como un sólido blanco de p.f. = 126-128 °C. [α]_D^{25°C} = -346° (c=2,1, acetona).

Análisis. Calculado para C₁₄H₁₃O₂S₂Cl : C, 53,75; H, 4.19.

Encontrado: C, 53,66; H, 4,19.

¹H-RMN (200 MHz, CDCl₃): δ 7,55 y 7,32 (sistema AA'BB', 4H, Cl-C₆H₄); 7,48 y 7,27 (sistema AA'BB', 4H, Me-C₆H₄); 4,09 (sistema AB; J_{AB}=12,7 Hz, 2H, CH₂); 2,38 (s, 3H, CH₃Ar)

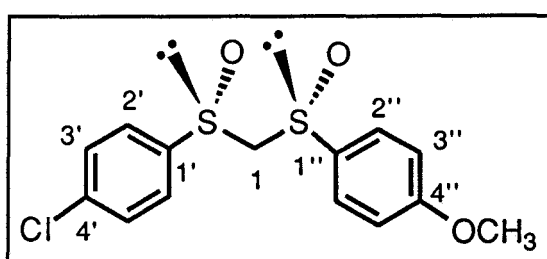
¹³C-RMN (50,29; CDCl₃): δ 142,6 (C-1'); 141,7 (C-1''); 138,82 (C-4'); 138,17 (C-4''); 130,25 (C-3'); 129,75 (C-3''); 125,72 (C-2'); 124,22 (C-2''); 79,22 (CH₂); 21,40 (CH₃Ar).

EM: (HR) m/e para C₁₄H₁₃O₂S₂Cl: 312,0045, desviación 8,0 ppm

EM identico al descrito para **102**

(S,R)-1-(*p*-clorofenilsulfinil)-1-(*p*-metoxifenilsulfinil)-metano **106**

La reacción de 640 mg (3,76 mmol) de (-)-(S)-(p-metoxifenil) metil sulfóxido **33-(S)** con 1,90 g (4,51 mmol) del (S)-*p*-clorobencenosulfonato



de DAG **32-(S)**, bajo las condiciones descritas en el método general, da lugar a un residuo que se purifica por cromatografía flash utilizando como eluyente una mezcla de acetato de etilo-hexano (2:1). Se obtienen 915 mg del bis-sulfóxido como un sólido blanco. p.f. 104-106 °C. [α]_D^{25°C} = -281,6° (c=2,1, CHCl₃).

Parte Experimental

¹H-RMN (200 MHz, CDCl₃): δ 7,52 y 7,36 (sistema AA'BB', 4H, Cl-C₆H₄); 7,51 y 6,90 (sistema AA'BB', 4H, MeO-C₆H₄); 4,06 (sistema AB; J_{AB}=12,7 Hz; 2H; CH₂); 3,69 (s, 3H; OCH₃)

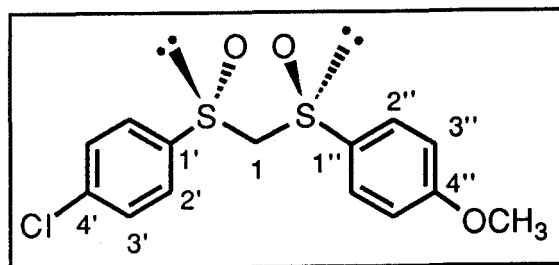
¹³C-RMN (50,29; CDCl₃): δ 162,12 (C-4''); 140,37 (C-1'); 137,42 (C-1''); 132,09 (C-4'); 129,34 (C-3'); 125,98 (C-2'); 125,74 (C-2''); 114,67 (C-3''); 78,52 (CH₂); 55,13 (OCH₃).

EM: (HR) m/e para C₁₄H₁₃O₃S₂Cl: 327,9994, desviación 4,1 ppm

EM: m/e (abundancia relativa) M⁺ (0,6); 296 (1,5); 266 (2,3); 205 (3,0); 181 (5,4); 169 (54); 159 (31,2); 157 (82,8); 155 (19,5); 153 (48,4); 145 (7); 140 (10,9); 139 (17,9); 138 (26,5); 137 (13,3); 125 (23,4); 121 (100); 109 (10,1); 107 (7,8); 98 (10,1); 91 (32,8); 77 (15,6); 69 (43); 59 (6,2); 45 (9,3).

(S,S)-1-(*p*-clorofenilsulfinil)-1-(*p*-metoxifenilsulfinil)-metano 103.

Por reaccion de 500 mg (2,94 mmol) del (*R*)-(*p*-metoxifenil)-metil sulfóxido **33-(R)** con 1,5 g (3,82 mmol) del (-)-(S)-*p*-clorobencenosulfinito de



DAG 32, siguiendo las condiciones descritas en el procedimiento general, se obtiene un residuo que se purifica por cromatografiá en columna rápida con una mezcla de acetato de etilo: hexano (3:2) como eluyente, rindiendo 0,74 g del bis-sulfóxido **104** (74% rdto) como un sólido cristalino blanco. p.f.:81-84.ºC [α]_D^{25°C} =+179,8°(c=4,1; CHCl₃).

¹H-RMN (200 MHz, CDCl₃): δ 7,53 y 7,44 (sistema AA'BB', 4H, Cl-C₆H₄); 7,49 y 6,97 (sistema AA'BB', 4H, MeO-C₆H₄); 4,06 (sistema AB; J_{AB}=12.6 Hz; 2H; CH₂); 3,80 (s, 3H; OCH₃).

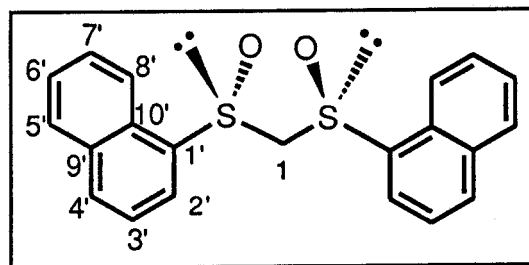
¹³C-RMN (50,29; CDCl₃): δ 162,64 (C-4''); 141,14 (C-1'); 138,08 (C-1''); 132,96 (C-4'); 129,82 (C-3'); 125,96 (C-2'); 125,73 (C-2''); 115,17 (C-3''); 79,32 (CH₂); 55,53 (OCH₃).

EM: (HR) m/e para C₁₄H₁₃O₃S₂Cl: 327,9994, desviación 6,4 ppm

EM similar al descrito para 106

(+)-(S,S)-Bis 1-naftilsulfinilmetano 107.

La reacción de 500 mg (2,63 mmol) de (*R*)-metil 1-naftil sulfóxido 36-(*R*) con 1,04 g (3,15 mmol) de (*S*)-1-naftalenosulfinato de mentilo 37-(*S*), en las condiciones descritas en el método general, conducen a un residuo que se purifica por cromatografía en columna utilizando como eluyente una mezcla de hexano-acetato de etilo (50:50), obteniéndose el bis-sulfóxido 107 (820 mg, 86 %) como un sólido cristalino; p.f. 196.5-197 °C, [α]_D^{25°C}= +1209.8° (c=2.0, CHCl₃).



Análisis. Calculado para C₂₁H₁₆O₂S₂: C, 69.20; H, 4.43.

Encontrado: C, 69.11; H, 4.45.

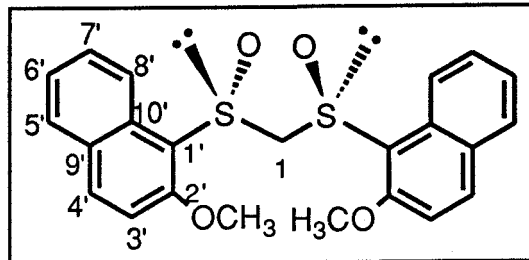
¹H-RMN (200 MHz, CDCl₃): δ 8.21 (dd, J_{2',3'}=7.3 Hz, J_{2',4'}=1.2 Hz, 1H, H-2'); 7.83-7.96 (m, 4H, Haromáticos); 7.34-7.65 (m, 8H, Haromáticos); 4.16 (s, 2H, CH₂).

¹³C-RMN (50.29 MHz, CDCl₃): δ 137.79 (C-1'); 133.36 (C-10'); 131.86 (C-4'); 129.01 (C-8'); 127.90 (C-9'); 127.72 (C-3'); 126.90 (C-5'); 125.55 (C-6'); 123.32 (C-7'); 120.81 (C-2') y 81.35 (C-1)

EM, m/e (abundancia relativa): 332 (19.4); 188 (34.5); 175 (36.4); 160 (100); 159 (55.2); 128 (57.6); 127 (27.3); 115 (92.7).

(+)-(S,S)-Bis 2-metoxi-1-naftilsulfinilmetano 108.

La reaccion de 0,5 g (2.3 mmol) del (*R*)-metil 2-metoxi-1-naftil sulfóxido **38-(R)** con 979 mg (2.7 mmol) del (*S*)-2-metoxi-1-naftalenosulfinato de mentilo **40**, según el procedimiento general, da lugar a un residuo que se purifica por cromatografía en columna utilizando como eluyente una mezcla de AcOEt-metanol (90:10). Se obtienen 730 mg el bis-sulfóxido **138** (76 % rdto) como un sólido cristalino. p.f. 171-172 °C, [α]_D^{25°C} = +157.7° (c=2.0, CHCl₃).



Análisis. Calculado para C₂₃H₂₀O₄S₂: C, 65,07; H, 4,75.

Encontrado: C, 64,88; H, 4,71.

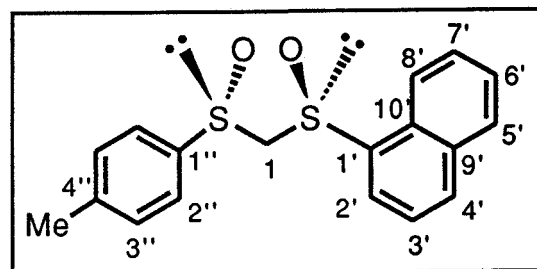
¹H-RMN (200 MHz, CDCl₃): δ 8.47-8.57 (m, 2H, Haromáticos); 7.87 (d, J_{3',4'}=9.1 Hz, 2H, H_{3'}); 7.62-7.72 (m, 2H, Haromáticos); 7.23-7.38 (m, 4H, H-aromáticos); 7.15 (d, J_{3',4'}=9.1 Hz, 2H, H_{4'}); 5.35 (s, 2H, CH₂) y 3.95 (s, 6H, OCH₃).

¹³C-RMN (50.29 MHz, CDCl₃): δ 156.88 (C-2'); 134.93 (C-4'); 132.35 (C-1'); 129.14 (C-9'); 128.56 (C-8'); 128.01 (C-5'); 124.40 (C-6'); 122.04 (C-7'); 120.00 (C-10'); 112.66 (C-3'); 70.77 (CH₂) y 56.77 (OCH₃).

EM, m/e (abundancia relativa): 346 (38.8); 328 (66.7); 190 (100); 175 (74.5); 158 (38.8); 128 (33.3); 127 (13.3); 115 (69.1).

(S,S)-1-(naftilsulfinil)-1-(*p*-tolilsulfinil)metano 109.

La reacción entre 350 mg (2,27 mmol) del (*R*)-*p*-tolilmethylsulfóxido 21- (*R*) y 900 mg (2,72 mmol) del (*S*)-naftalenosulfinato de mentilo 37, según las condiciones descritas en el procedimiento general, permite obtener 366 mg del bis-sulfóxido (75% rdto) como un sólido blanco, trás purificación cromatográfica (AcOEt-hexano, 1:1). p.f.= 101-102 °C, [α]_D^{25°C} = +662,5° (c=3,7; CHCl₃).



Análisis. Calculado para C₁₈H₁₆O₂S₂: C, 65,82; H, 4,91.

Encontrado: C, 65,91; H, 4,97.

¹H-RMN (200 MHz, CDCl₃): δ 8,20 (dd; J_{2',3'}=7,3 Hz; J_{2',4'}=1,15 Hz; 1H; H_{2'}); 8,01-7,79 (m, 2H; Haromáticos); 7,70-7,57 (m, 4H; Haromáticos); 7,54-7,30 (sistema AA'BB', 4H, Me-C₆H₄); 4,07 (sistema AB, J_{AB}=12,5 Hz; 2H; CH₂); 2,38 (s, 3H; CH₃Ar).

¹³C-RMN (50,29 MHz; CDCl₃): δ 142,4 (C-1'); 139,20 (C-1''); 137,82 (C-4''); 133,35 (C-10'); 132,01 (C-4'); 130,19 (C-3''); 129,01 (C-8'); 127,91 (C-

Parte Experimental

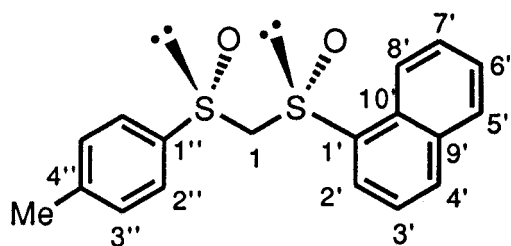
9'); 127,77 (C-3'); 126,92 (C-5'); 125,55 (C-6'); 124,47 (C-2''); 123,88 (C-7'); 120,95 (C-2'); 83,14 (CH₂); 21,31 (CH₃Ar).

EM: (HR) m/e para C₁₈H₁₆O₂S₂ 328,0592, desviación 2,2 ppm.

EM, m/e (abundancia relativa): M⁺ (2,4); 296 (23,4); 250 (1,5); 175 (15,6); 173 (33,6); 171 (7,8); 160 (20,3); 159 (12,5); 153 (5,4); 141 (37,5); 139 (14); 137 (100); 128 (14); 127 (10,1); 116 (18,7); 105 (34,3); 91 (15,6); 78 (6,2); 69 (13,3).

(R,S)-1-(naftilsulfinil)-1-(*p*-tolilsulfinil)-metano 110.

Al hacer reaccionar 630 mg (3,31 mmol) del (*S*)-naftilmethylsulfóxido 38-(*S*) con 1,58 g (3,97 mmol) del (*S*)-*p*-toluenosulfinato de DAG 25-(*S*), en las



condiciones del procedimiento general, se obtiene un residuo que, tras purificación por cromatografía flash (AcOEt-hexano, 2:1), rinde 826 mg del correspondiente bis-sulfóxido (76% rdto) como un sólido blanco. p.f. 158-160 °C. [α]_D^{25°C} = +269,5° (c=2,3; acetona).

Análisis. Calculado para C₁₈H₁₆O₂S₂: C, 65.82; H, 4.91.

Encontrado: C, 65.68; H, 5,00.

¹H-RMN (200 MHz, CDCl₃): δ 8,14 (dd; J_{2',3'}=7,3 Hz; J_{2',4'}=1,2 Hz; 1H; H_{2'}); 8,00-7,90 (m, 2H; Haromáticos); 7,68-7,60 (m, 4H; Haromáticos); 7,56-7,39 (sistema AA'BB', 4H, Me-C₆H₄); 4,19 (sistema AB, J_{AB}=12,8 Hz; 2H; CH₂); 2,44 (s, 3H; CH₃Ar)

¹³C-RMN (50,29 MHz; CDCl₃): δ 142,74 (C-1'); 138,59 (C-1''); 137,52 (C-4''); 133,55 (C-10'); 132,11 (C-4'); 130,36 (C-3''); 129,22 (C-8'); 128,14 (C-9'); 127,76 (C-3'); 126,98 (C-5'); 125,64 (C-6'); 124,59 (C-2''); 123,72 (C-7'); 121,07 (C-2'); 79,05 (CH₂); 21,60 (CH₃Ar).

EM: (HR) m/e para C₁₈H₁₆O₂S₂: 328,0592, desviación 3,6 ppm.

EM idéntico al descrito para **109**.

Procedimiento general para el estudio de la influencia de la quiralidad y de los sustituyentes aromáticos de los grupos sulfinílicos en el proceso SPAC entre bis-sulfóxidos y valeraldehido.

A una disolución del bis-sulfóxido correspondiente (1 eq) y piperidina (5 eq) en acetonitrilo se adiciona valeraldehido (2,5 eq). La mezcla se agita a temperatura ambiente el tiempo indicado para cada caso. A continuación, la reacción se hidroliza con una disolución de HCl al 10% y se extrae con diclorometano. La fase orgánica se lava sucesivamente con una disolución saturada de HCO₃Na y con otra de ClNa. Se seca sobre sulfato sódico anhidro, se elimina el disolvente a presión reducida y el residuo se purifica por cromatografía en columna rápida. Los rendimientos están calculados a partir de la cantidad de producto de partida recuperado. La proporción entre los diferentes alcoholes están calculados atendiendo a sus espectros de **¹H-RMN**.

Reacción del bis-sulfóxido 102-(S,S)

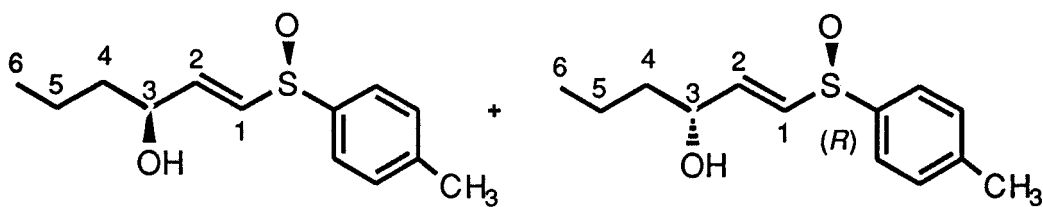
Rendimiento: 92%, Proporción 112b/111a: 74: 26

tiempo de reacción: 2 días.

Datos espectroscópicos de interés:

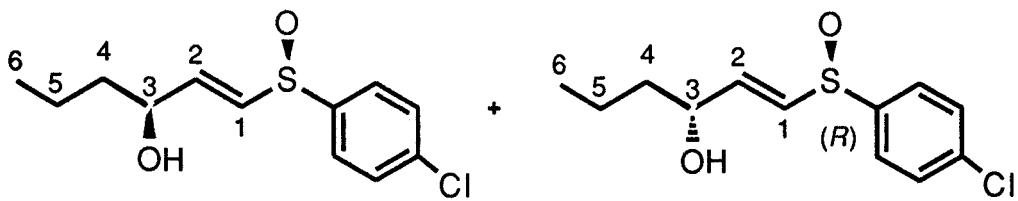
1H-RMN (500 MHz, CDCl₃):

Alcohol 112b-(R_S) :



δ 7.51 y 7.33 (sistema AA'BB', 4H, Me-C₆H₄); 6.60 y 6.59 (dd, $J_{1,2}$ 15.0 Hz; $J_{2,3}$ 4.5 Hz, 1H, H₂); 6.47 y 6.45 (dd, $J_{1,2}$ 15.0 Hz, $J_{1,3}$ 1.4 Hz 1H, H₁); 4.36-4.28 (m, 1H, H₃); 2.38 (s, 3H, CH₃-Ar); 2.18 (s, 1H, OH); 1.59-1.55 (m, 2H, H₄); 1.47-1.38 (m, 2H, H₅); 0.96 (t, J 7.3 Hz, H₆).

Alcohol 111a-(R_S):



δ 7.58 y 7.36 (sistema AA'BB', 4H, Cl-C₆H₄); 6.65 y 6.64 (dd, $J_{1,2}$ 15.1 Hz, $J_{2,3}$ 4.3Hz, 1H, H₂); 6.48 y 6.46 (dd, $J_{1,2}$ 15.1 Hz, $J_{1,3}$ 1.5 Hz, 1H, H₁); 4.19-3.98 (m, 1H, H₃); 1.98 (s, 1H, OH); 1.65-1.58 (m, 2H, H₄); 1.37-1.25 (m, 2H, H₅); 0.87 (t, J 6.8 Hz, H₆).

Reacción del bis-sulfóxido 104-(R,S)

Rendimiento: 89 %, Proporción 112b/111a: 74: 26

tiempo de reacción: 2 días.

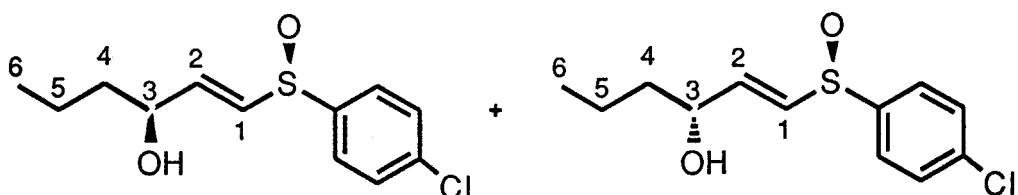
Datos espectroscópicos de interés:

1H-RMN (500 MHz, CDCl₃):

Alcohol 112b-(R_S):

Ver reacción de 102-(S, S).

Alcohol 111a-(S_S):



δ 7.52 y 7.45 (sistema AA'BB', 4H, Cl-C₆H₄); 6.63 y 6.62 (dd, $J_{1,2}$ 15.0 Hz, $J_{2,3}$ 4.4Hz, 1H, H₂); 6.45 y 6.42 (dd, $J_{1,2}$ 15.0 Hz, $J_{1,3}$ 1.4 Hz, 1H, H₁); 3.96-3.93 (m, 1H, H₃); 2.23 (s, 1H, OH); 1.64-1.55 (m, 2H, H₄); 1.38-1.22 (m, 2H, H₅); 0.97 (t, J 6.8 Hz, H₆).

Reacción del bis-sulfóxido 105-(S,R)

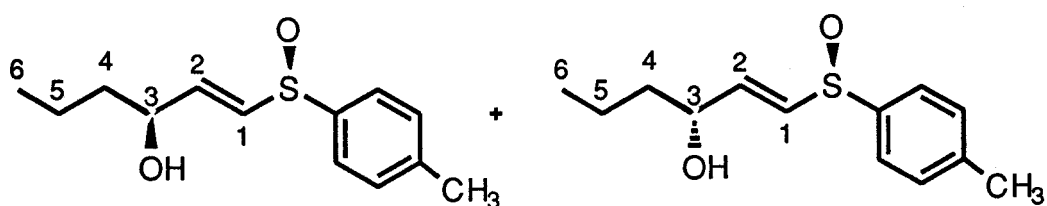
Rendimiento: 94%, Proporción 112b/111a: 73: 27.

tiempo de reacción: 2 días.

Datos espectroscópicos de interés:

1H-RMN (500 MHz, CDCl₃):

Alcohol 112b-(S,S):



δ 7.50 y 7.30 (sistema AA'BB', 4H, Me-C₆H₄); 6.62 y 6.60 (dd, $J_{1,2}$ 15.0 Hz; $J_{2,3}$ 5.3 Hz, 1H, H₂); 6.46 y 6.43 (dd, $J_{1,2}$ 15.0 Hz, $J_{1,3}$ 1.3 Hz 1H, H₁); 4.35-4.31 (m, 1H, H₃); 2.40 (s, 3H, CH₃-Ar); 2.17 (ancha, 1H, OH); 1.59-1.54 (m, 2H, H₄); 1.46-1.37 (m, 2H, H₅); 0.93 (t, J 7.3 Hz, H₆).

Alcohol 111a-(R,S):

Ver reacción de 102-(S,S)

Reacción del bis-sulfóxido 103-(S,S)

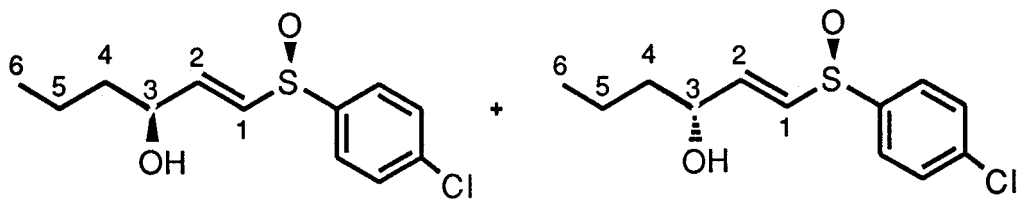
Rendimiento: 84%, Proporción 112c/111a: 84: 216

tiempo de reacción: 4 días

Datos esptroscópicos de interés:

1H-RMN (500 MHz, CDCl₃):

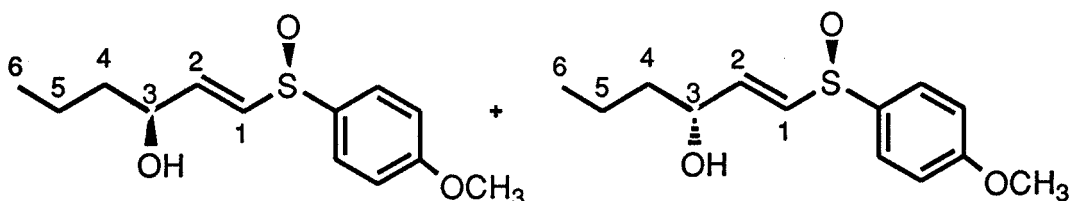
alcohol 111a-(R,S):



δ 7.72 y 7.40 (sistema AA'BB', 4H, Cl-C₆H₄); 6.66 y 6.64 (dd, $J_{2,3}$ 15.0 Hz, $J_{2,3}$ 4.5 Hz, 1H, H₂); 6.48 y 6.46 (dd, $J_{1,2}$ 15.0 Hz, $J_{1,3}$ 1.5 Hz, 1H, H₁); 4.38-

4.35 (m, 1H, H₃); 2.30 (ancha, 1H, OH); 1.63-1.56 (m, 2H, H₄); 1.48-1.45 (m, 2H, H₅); 0.99 (t, *J* 6.9 Hz, H₆).

alcohol 112c-(S,S):



δ 7.47 y 6.94 (sistema AA'BB', 4H, MeO-C₆H₄); 6.54 y 6.53 (dd, *J*_{1,2} 15.1 Hz, *J*_{2,3} 4.5 Hz, 1H, H₂); 6.38 y 6.36 (dd, *J*_{1,2} 15.1 Hz, *J*_{1,3} 1.4 Hz, 1H, H₁); 4.27-4.24 (m, 1H, H₃); 3.78 (s, 3H, OCH₃); 3.62 (ancha, 1H, OH); 1.53-1.50 (m, 2H, H₄); 1.49-1.39 (m, 2H, H₅); 0.86 (t, *J* 7.4 Hz, H₆).

Reacción del bis-sulfóxido 106-(S,R)

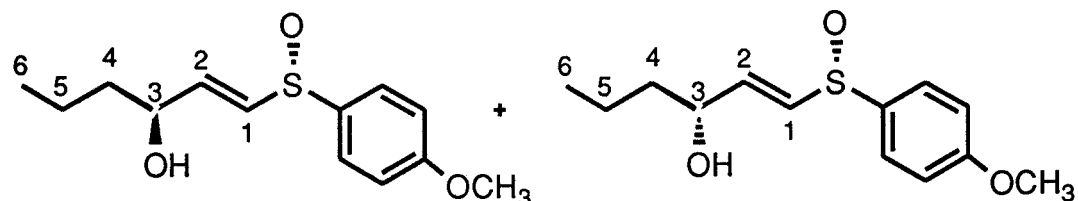
Rendimiento: 87%, Proporción 112c/111a: 29: 71

tiempo de reacción: 4 días

Datos esptroscópicos de interés:

1H-RMN (500 MHz, CDCl₃):

alcohol 112c-(R,S):



δ 7.54 y 7.48 (sistema AA'BB', 4H, MeO-C₆H₄); 6.65 y 6.64 (dd, *J*_{1,2} 15.0 Hz, *J*_{2,3} 4.4 Hz, 1H, H₂); 6.47 y 6.45 (dd, *J*_{1,2} 15.0 Hz, *J*_{1,3} 1.5 Hz, 1H, H₁);

Parte Experimental

4.38-4.30 (m, 1H, H₃); 3.65 (s, 3H, OCH₃); 2.08 (s, 1H, OH); 1.66-1.55 (m, 2H, H₄); 1.46-1.36 (m, 2H, H₅); 0.96 (t, *J* = 6.9 Hz, H₆).

alcohol 111a-(R_S):

Ver reacción de 102-(S, S)

Reacción del bis-sulfóxido 109-(S,S)

Rendimiento: 78%, Proporción 112b/111d: 70: 30

tiempo de reacción 7 días.

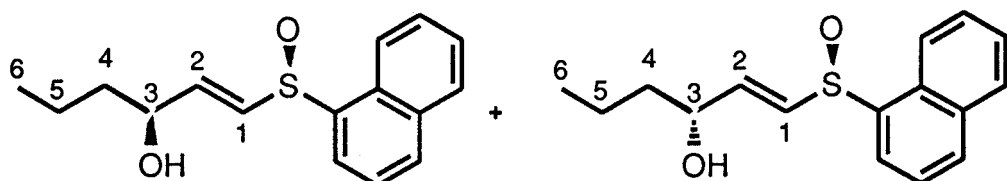
Datos espectroscópicos de interés

1H-RMN (500 MHz, CDCl₃):

Alcohol 112b-(R_S):

Ver reacció de 102-(S, S)

Alcohol 111d-(R_S):



δ 8.09 (m, 2H, Haromáticos), 8.05 (dd, *J*_{2',3'} 7.4 Hz, *J*_{2',4'} 1.2 Hz, 1H, H_{2'}), 7.97-7.91 (m, 2H, Haromáticos), 7.62 (m, 2H, Haromáticos), 6.72 y 6.70 (dd, *J*_{1,2} 15.0 Hz, *J*_{2,3} 7.8 Hz, 1H, H₂), 6.58 y 6.56 (dd, *J*_{1,2} 15.0 Hz, *J*_{1,3} 1.2 Hz, 1H, H₁), 4.27-4.24 (m, 1H, H₃), 2.92 (ancha, 1H, OH), 1.52-1.48 (m, 2H, H₄), 1.34-1.25 (m, 2H, H₅), 0.86 (t, *J* = 7.2 Hz, 3H, H₆).

Reacción del bis-sulfóxido 110-(S,R)

Rendimiento: 83%, Proporción 112b/111a: 73: 27

tiempo de reacción 7 días.

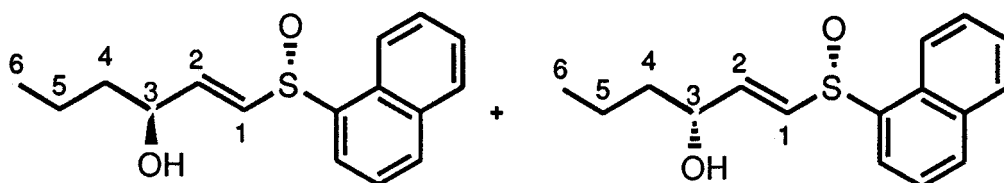
Datos espectroscópicos de interés

1H-RMN (500 MHz, CDCl₃):

Alcohol 112b-(R_S):

Ver reacción de 102-(S, S)

Alcohol 111d-(R_S):



δ 8.08-8.05 (m, 2H, Haromáticos), 8.03 (dd, $J_{2',3'}\ 7.5$ Hz, $J_{2',4'}\ 1.2$ Hz, 1H, H_{2'}), 7.96-7.92 (m, 2H, Haromáticos), 7.63-7.55 (m, 2H, Haromáticos), 6.69 y 6.67 (dd, $J_{1,2}\ 15.0$ Hz, $J_{2,3}\ 7.6$ Hz, 1H, H₂), 6.52 y 6.50 (dd, $J_{1,2}\ 15.0$ Hz, $J_{1,3}\ 1.2$ Hz, 1H, H₁), 4.29-4.26 (m, 1H, H₃), 2.69 (ancha, 1H, OH), 1.52-1.48 (m, 2H, H₄), 1.34-1.25 (m, 2H, H₅), 0.86 (t, $J\ 7.2$ Hz, 3H, H₆).

Procedimiento general para el estudio de la influencia en el proceso SPAC de un centro quiral adicional sobre el aldehido.

Se adiciona citronelal (2,5 eq) a una disolución del bis-sulfóxido correspondiente (1 eq) y piperidina (5 eq) en acetonitrilo. A continuación la mezcla se agita durante el tiempo descrito para cada caso. Posteriormente se hidroliza con una disolución de HCl al 10%, se extrae con diclorometano y la fase orgánica se lava con una disolución saturada de HCO₃Na y otra de ClNa, secándose sobre sulfato sódico anhidro. Tras la evaporación del disolvente a presión reducida el residuo se purifica por cromatografía en columna rápida. Los rendimientos están calculados a partir de la cantidad de producto de

partida recuperado. La proporción entre los alcoholes esta calculada atendiendo a sus espectros de $^1\text{H-RMN}$.

Reacción del bis-sulfóxido 102-(S,S)

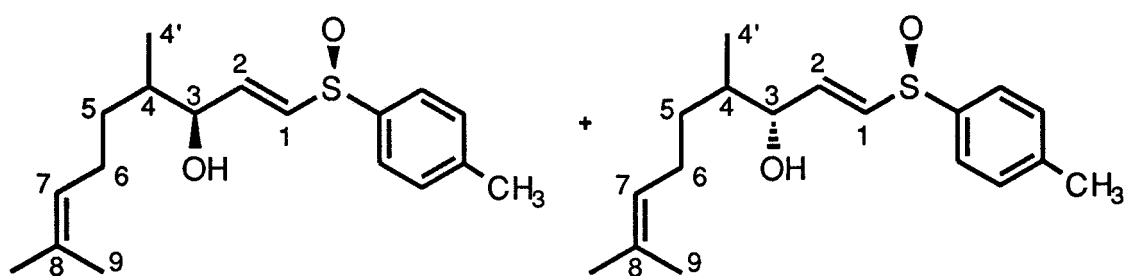
Rendimiento: 78%, Proporción 120b/119a: 74: 26

tiempo de reacción: 7 días.

Datos espectroscopicos de interés:

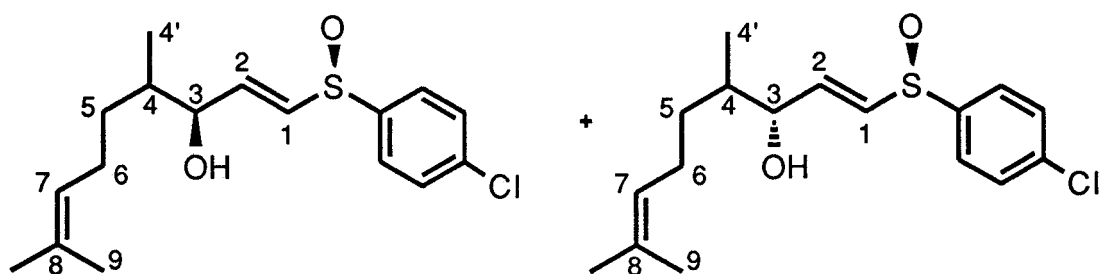
$^1\text{H-RMN}$ (500 MHz, CDCl_3):

Alcohol 120b-(R_S):



δ 7.48 y 7.29 (sistema AA'BB', 4H, Me-C₆H₄); 6.60 y 6.58 (dd, $J_{1,2}$ 15.0 Hz, $J_{2,3}$ 4.6 Hz, 1H, H₂); 6.47 y 6.43 (dd, $J_{1,2}$ 15.0 Hz, $J_{1,3}$ 1.5 Hz 1H, H₁); 5.08-5.02 (m 1H, H₇); 4.29-4.27 (m, 1H, H₃); 2.68 (s, 1H, OH); 2.40 (s, 3H, CH₃-Ar); 1.98-1.91 (m, 2H, H₆); 1.69 y 1.57 (2s, 6H, H₉), 1.23-1.12 (m, 2H, H₅); 0.89 (c, J = 6.8 Hz, H₆).

Alcohol 119a-(R_S):



δ 7.53 y 7.47 (sistema AA'BB', 4H, Cl-C₆H₄); 6.65 y 6.63 (dd, *J*_{1,2} 15.1 Hz, *J*_{2,3} 4.5 Hz, 1H, H₂); 6.49 y 6.46 (dd, *J*_{1,2} 15.1 Hz, *J*_{1,3} 1.5 Hz 1H, H₁); 5.08-5.02 (m 1H, H₇); 4.22-4.18 (m, 1H, H₃); 3.53 (s, 1H, OH); 2.12-2.03 (m, 2H, H₆); 1.69 y 1.57 (2s, 6H, H₉), 1.23-1.12 (m, 2H, H₅); 0.87 (c, *J* 6.8 Hz, H₆).

Reacción del bis-sulfóxido 104-(R,S)

Rendimiento: 75%, Proporción 120b/119a: 71: 29

tiempo de reacción: 7 días.

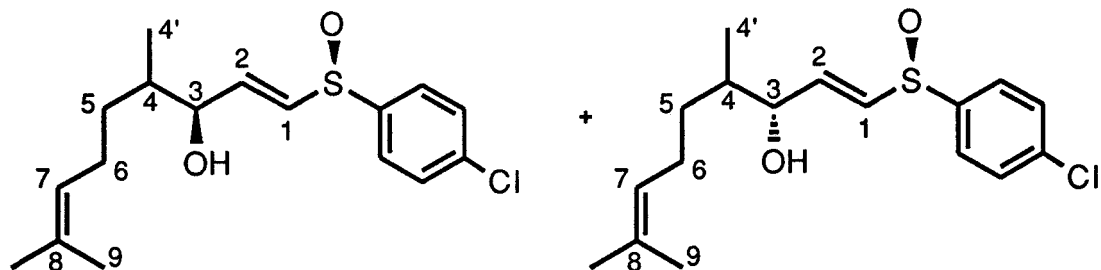
Datos espectroscópicos de interés:

1H-RMN (500 MHz, CDCl₃):

Alcohol 120b-(R,S):

Ver reacción de 102-(S, S)

Alcohol 119a-(S,S):



δ 7.53 y 7.48 (sistema AA'BB', 4H, Cl-C₆H₄); 6.63 y 6.61 (dd, *J*_{1,2} 15.1 Hz, *J*_{2,3} 4.5 Hz, 1H, H₂); 6.49 y 6.47 (dd, *J*_{1,2} 15.1 Hz, *J*_{1,3} 1.5 Hz 1H, H₁); 5.08-5.03 (m 1H, H₇), 4.24-4.22 (m, 1H, H₃); 2.09-2.03 (m, 3H, H₆ y OH); 1.69 y 1.59 (2s, 6H, H₉), 1.23-1.11 (m, 2H, H₅); 0.88 (c, *J* 6.7 Hz, H₆).

Reacción del bis-sulfóxido 105-(S,R)

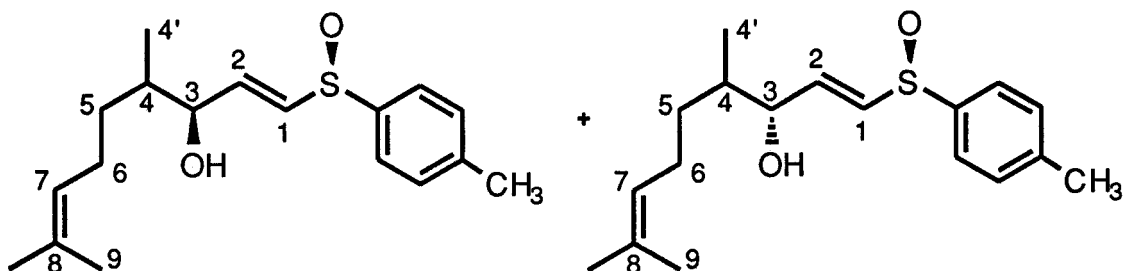
Rendimiento: 79%, Proporción 120b/119a: 70: 30

tiempo de reacción: 7 días.

Datos espectroscópicos de interés:

¹H-RMN (500 MHz, CDCl₃):

Alcohol 120b-(S,S):



δ 7.49 y 7.30 (sistema AA'BB', 4H, Me-C₆H₄); 6.60 y 6.59 (dd, $J_{1,2}$ 15.0 Hz, $J_{2,3}$ 4.6 Hz, 1H, H₂); 6.48 y 6.44 (dd, $J_{1,2}$ 15.0 Hz, $J_{1,3}$ 1.5 Hz 1H, H₁); 5.09-5.03 (m 1H, H₇), 4.30-4.27 (m, 1H, H₃); 2.58 (ancha, 1H, OH); 2.41 (s, 3H, CH₃-Ar); 1.99-1.90 (m, 2H, H₆); 1.69 y 1.58 (2s, 6H, H₉), 1.21-1.12 (m, 2H, H₅); 0.90 (c, J 6.8 Hz, H₆).

Alcohol 119a-(R,S):

Ver reacción de 102-(S, S)

Procedimiento general para el estudio de la influencia en el proceso SPAC de una base quiral.

Sobre una disolución del bis-sulfóxido correspondiente (1 eq) y (S)-2-hidroximetilpirrolidina (5 eq) en acetonitrilo se adiciona valeraldehido (2,5 eq). La mezcla de reacción se agita a temperatura ambiente durante el tiempo descrito para cada caso. Transcurrido dicho tiempo, la reacción se hidroliza con una disolución de HCl al 10%, se extrae con diclorometano y la fase orgánica se lava con una disolución saturada de HCO₃Na y otra de ClNa, secándose sobre sulfato sódico anhídrico. Tras la evaporación del disolvente a presión

reducida el residuo se purifica por cromatografía flash. Los rendimiento estan calculados atendiendo a la cantidad de producto de partida recuperado. La proporción entre los alcoholes esta calculada a partir de sus espectros de ^1H -RMN

Reacción del bis-sulfóxido 102-(S,S)

Rendimiento: 83%, Proporción **112b/111a**: 75: 25

tiempo de reacción: 2 dias.

Los espectro son similares a los descritos en la reacción de **102-(S,S)** utilizando piperidina, pag 248

Reacción del bis-sulfóxido 104-(R,S)

Rendimiento: 89%, Proporción **112b/111a**: 77: 23

tiempo de reacción: 2 dias.

Los espectro son similares a los descritos en la reacción de **104-(R,S)** utilizando piperidina, pag 249

Reacción del bis-sulfóxido 105-(S,R)

Rendimiento: 81%, Proporción **112b/111a**: 72: 28

tiempo de reacción: 2 dias.

Los espectro son similares a los descritos en la reacción de **105-(S,R)** utilizando piperidina, pag 249

Procedimiento general para la resolución enzimática de los hidroxisulfóxidos 101.

Método A (alcoholes poco impedidos):

A una disolución 50mM del hidroxisulfóxido (1 eq) en diisopropileter anhidro, se le adiciona tamiz molecular pulverizado (50 mgr/mL), la lipasa correspondiente (25 mgr/mL) y acetato de vinilo (5 eq) como agente acilante. La mezcla se mantiene con agitación vigorosa durante el tiempo que se indica para cada caso. A continuación se filtra sobre celita y se somete a evaporación a presión reducida, obteniéndose un residuo que se purifica por cromatografía en columna rápida dando lugar al derivado acetilado **130** y al hidroxisulfóxido **129** correspondiente con unos rendimientos casi cuantitativos (50 % aproximadamente para cada uno de los derivados).

Método B (alcoholes impedidos):

Se adiciona acetato de vinilo (10 eq) sobre una mezcla compuesta por una disolución 50 mM del hidroxisulfóxido (1 eq) en diisopropileter seco, la lipasa correspondiente (5 eq en masa) y tamiz molecular pulverizado (2,5 eq en masa). Se mantiene con agitación fuerte durante el tiempo indicado en cada caso y se procede como en el método anterior, los rendimientos son similares a los obtenidos en el método anterior.

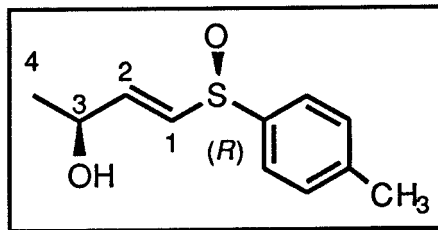
Resolución enzimática del hidroxisulfóxido **101a.**

La reacción de 220 mg del hidroxisulfóxido **101a** (1,05 mmol) segun las condiciones descritas en el método A rinde la mezcla de compuestos **129a** y

130a tras 12 h de reacción. La separación cromatográfica se realiza utilizando una mezcla de acetato de etilo y hexano (3:1), dando lugar a 140 mg del acetoxisulfóxido **130a** (50% rdto) y 108 mg del hidroxisulfóxido **129a** (49% rdto) ambos como un líquido transparente.

-E-(S)-1-(*p*-Tolilsulfinil)-1-buten-3-ol (129a)

Aceite transparente. $[\alpha]_D^{25^\circ C} = +239,6^\circ$ ($c=4,3$; CHCl₃).



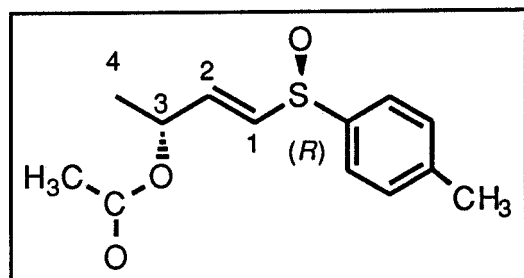
¹H-RMN (500 MHz, CDCl₃): δ 7,51-7,32 (sistema AA'BB', 4H, Me-C₆H₄); 6,63 (dd, J_{anti} 15,0 Hz, $J_{2,3}$ 4,4 Hz, 1H, H₂); 6,46 (dd, J_{anti} 15,0 Hz, $J_{1,3}$ 1,6 Hz, 1H, H₁); 4,56 (m, 1H, H₃); 2,42 (s, 3H, CH₃-Ar); 1,74 (s, ancha, 1H, OH); 1,35 (d, $J_{3,4}$ 6,58 Hz, 3H, H₄)

¹³C-RMN (125 MHz, CDCl₃): δ 141,69 (C-1'); 141,65 (C-2); 140,32 (C-4'); 133,69 (C-1); 130,12 (C-3'); 124,75 (C-2'); 67,18 (C-3); 22,97 (C-4) y 21,43 (CH₃-Ar).

EM y IR similares a los descritos para **101a**.

-Acetato de E-(R)-1-(*p*-tolilsulfinil)-1-buten-3-ilo (130a).

Aceite transparente. $[\alpha]_D^{25^\circ C} = +178^\circ$ ($c=7,6$; CHCl₃).



¹H-RMN (200 MHz; CDCl₃): δ 7,49-7,31 (sistema AA'BB', 4H, Me-C₆H₄); 6,53 (dd; $J_{1,2}$ 15,1 Hz, $J_{2,3}$ 5,15 Hz, 1H, H₂); 6,39 (dd, $J_{1,2}$ 15,1 Hz, $J_{1,3}$ 1,4 Hz,

1H, H₁); 5,48 (m, 1H, H₃); 2,39 (s, 3H, CH₃-Ar); 2,03 (s, 3H, CH₃CO); 1,35 (d, *J* 6,58 Hz, 3H, CH₃)

13C-RMN (50,29 MHz, CDCl₃): δ 169,70 (CO); 141,75 (Cipso); 139,79 (Cpara); 136,28 (C-2); 135,48 (C-1); 129,99 (Cmeta); 124,70 (Corto); 68,70 (C-3); 21,24 (CH₃Ar); 20,89 (CH₃CO); 19,66 (CH₃).

IR(KBr): ν 3022; 1738; 1594; 1484; 1439; 1211; 1070; 966; 754; 692 cm⁻¹.

EM(HR) calculado para C₁₃H₁₆O₄S: 252, 1632, desviación 4,5 ppm

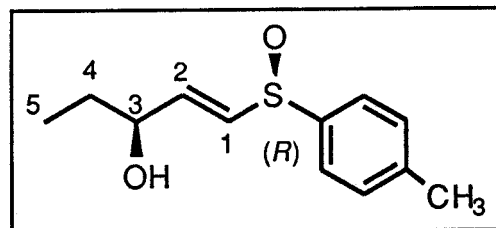
EM m/e (abundancia relativa): M⁺ (0,9); 235 (32,9); 223 (9,7); 204 (16,4); 193 (87,8); 177 (36,6); 176 (48,2); 162 (31,1); 161 (25); 143 (33,5); 124 (100); 123 (56,7); 91 (71,3); 85 (34,1); 77 (16,5); 60 (15,2); 43 (36).

Resolución enzimática del hidroxisulfóxido 101b.

Por reaccion de 473 mg (2,11 mmol) del hidroxisulfóxido **101b** con 1,05 g de lipasa PS, 2,11 g de tamiz molecular y 1,94 mL (21,11 mmol) de acetato de vinilo en 42,23 mL de diisopropil eter se obtienen trás 2 dias de reacción la mezcla del hidroxisulfóxido **129b** y el acetoxisulfóxido **130b**. La mezcla se separa por cromatografía flash (acetato de etilo-hexano, 3:1). Rendimientos casi cuantitativos para cada uno de los derivados **129b** y **130b**.

-E-(R_S, S_C)-1-(*p*-Tolilsulfinil)-1-penten-3-ol (129b)

Aceite transparente. [α]_D^{25°C} = +251° (c=2,7; CHCl₃).



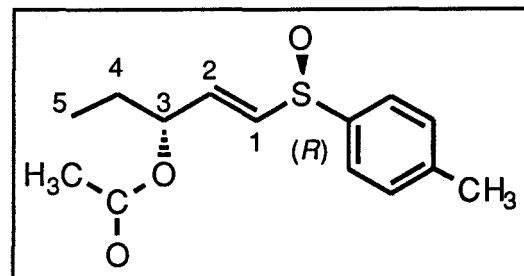
¹H-RMN (500 MHz, CDCl₃): δ 7,46-7,26 (sistema AA'BB', 4H, Me-C₆H₄); 6,56 (dd, *J*_{anti} 15,0 Hz, J_{2,3} 4,7 Hz, 1H, H₂); 6,41 (dd, *J*_{anti} 15,0 Hz, J_{1,3} 0,9 Hz, 1H, H₁); 4,20 (m, 1H, H₃); 3,38 (ancha, 1H, OH); 2,37 (s, 3H, CH₃-Ar); 1,58 (m, 2H; H₄); 0,91 (t, *J*_{4,5} 7,39 Hz, 3H, H₅).

¹³C-RMN (125 MHz, CDCl₃): δ 141,58 (C-2); 141,48 (C-1'); 133,78 (C-4'); 130,24 (C-1); 129,71 (C-3'); 124,75 (C-2'); 71,89 (C-3); 29,62 (C-4); 21,25 (CH₃-Ar); 9,40 (C-5).

EM y IR similares a los descritos para 101b.

-Acetato de E-(R)-1-(*p*-tolilsulfinil)-1-penten-3-ilo (130b).

Aceite transparente. [α]_D^{25°C} = +226,6° (c=3; CHCl₃).



Análisis. Calculado para C₁₄H₁₈O₃S: C, 63,13; H, 6,81

Encontrado: C, 62,92; H, 6,60

¹H-RMN (200 MHz; CDCl₃): δ 7,46-7,28 (sistema AA'BB', 4H, Me-C₆H₄); 6,48 (dd, *J*_{1,2} 15,0 Hz, J_{2,3} 5,7 Hz, 1H; H₂); 6,37 (dd, *J*_{1,2} 15,0 Hz, J_{1,3} 0,85 Hz, 1H, H₁); 5,34 (m, 1H, H₃); 2,37 (s, 3H, CH₃-Ar); 2,02 (s, 3H, CH₃CO); 1,68 (m, 2H, H₄); 0,87 (t, *J* 7,4 Hz, 3H, CH₃)

¹³C-RMN (50,29 MHz, CDCl₃): δ 169,85 (CO); 141,76 (Cipso); 140,11 (Cpara); 136,20 (C-2); 135,06 (C-1); 130,03 (Cmeta); 124,79 (Corto); 73,40 (C-3); 26,94 (C-4); 21,36 (CH₃Ar); 20,82 (CH₃CO); 9,02 (CH₃).

Parte Experimental

IR(KBr): ν 2952; 1738; 1493; 1453; 1372; 1236; 1084; 1046; 962; 809; 626 cm^{-1} .

EM(HR) calculado para $\text{C}_{14}\text{H}_{18}\text{O}_4\text{S}$: 266,0971, desviación 2.0 ppm

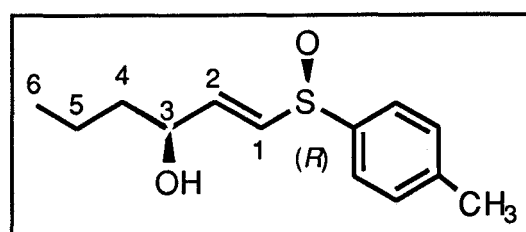
EM m/e (abundancia relativa): M^+ (0,6); 249 (21,3); 207 (89); 190 (81,1); 189 (34,7); 184 (51,2); 177 (22,5); 157 (24,4); 147 (57,3); 144 (30,5); 124 (100); 104 (24,4); 99 (37,2); 91 (77,4); 77 (24,4); 67 (40,8); 59 (36,6); 43 (72,5).

Resolución enzimática del hidroxisulfóxido 101c.

Al hacer reaccionar una disolución 50 mM del hidroxisulfóxido **101c** (392 mg, 1,65 mmol) en diisopropileter con 825 mg de lipasa PS y 1,65 g de tamiz molecular durante 1 día en las condiciones descritas en el método general, se obtiene un residuo que contiene la mezcla del hidroxisulfóxido **129c** y el acetoxisulfóxido **130c**. La mezcla se separa por cromatografía en columna rápida utilizando como eluyente una mezcla de acetato de etilo-hexano (2:1).

-E-(S)-1-(*p*-Tolilsulfinil)-1-hexen-3-ol (**129c**)

Aceite transparente. $[\alpha]_D^{25^\circ\text{C}} = +154,8^\circ$
($c=6,3$; CHCl_3).



$^1\text{H-RMN}$ (500 MHz, CDCl_3): δ 7.44-7.25 (sistema AA'BB', 4H, Me-C₆H₄); 6.56 (dd,

J_{anti} 15.0 Hz, $J_{2,4}$ 4.6 Hz, 1H, H₂); 6.38 (dt, J_{anti} 15.0 Hz, $J_{1,3}$ 1.4 Hz, 1H, H₁); 4.25 (m, 1H, H₃); 3.43 (ancha, 1H, OH), 2.36 (s, 3H, CH₃-Ar); 1.52 (m, 2H, H₄); 1.40-1.31 (m, 2H, H₅) y 0.88 (t, J 7.3 Hz, 3H, H₆).

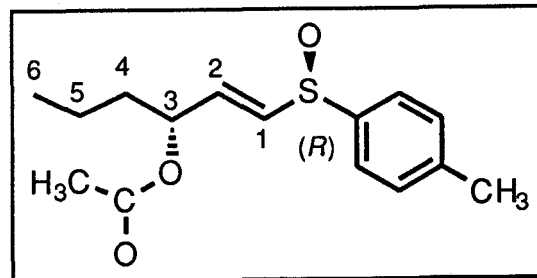
¹³C-RMN (125 MHz, CDCl₃): δ 142,25 (Cipso); 141,56 (C-2); 139,91 (Cpara); 133,06 (C-1); 129,91 (Cmeta); 124,74 (Corto); 70,26 (C-3); 38,64 (C-4); 21,24 (CH₃-Ar); 18,35 (C-5) y 13,74 (C-6).

EM y IR similares a los descritos para **101c**.

-Acetato de E-(R)-1-(*p*-tolilsulfinil)-1-hexen-3-ilo (130c).

Aceite transparente. $[\alpha]_D^{25^\circ C} = +236^\circ$ (c=2,6; CHCl₃).

Análisis. Calculado para C₁₅H₂₀O₃S: C, 64,25; H, 7,19



Encontrado: C, 64,56 H, 7,23.

¹H-RMN (200 MHz; CDCl₃): δ 7,45-7,26 (sistema AA'BB', 4H, Me-C₆H₄); 6,48 (dd, $J_{1,2}$ 15,1 Hz, $J_{2,3}$ 5,7 Hz, 1H; H₂); 6,35 (dd, $J_{1,2}$ 15,1 Hz, $J_{1,3}$ 1,2 Hz, 1H; H₁); 5,40 (m, 1H, H₃); 2,37 (s, 3H, CH₃-Ar); 2,01 (s, 3H, CH₃CO); 1,66-1,59 (m, 2H, H₄); 1,34-1,28 (m, 2H, H₅); 0,87 (t, J : 7,4 Hz, 3H, CH₃)

¹³C-RMN (50,29 MHz, CDCl₃): δ 169,59 (CO); 141,52 (Cipso); 139,77 (Cpara); 135,59 (C-2); 135,13 (C-1); 129,80 (Cmeta); 124,56 (Corto); 71,85 (C-3); 35,65 (C-4); 21,65 (CH₃Ar); 20,62 (CH₃CO); 17,80 (C-5); 13,37 (CH₃).

IR(KBr): ν 2951; 2872; 1738; 1595; 1493; 1453; 1373; 1236; 1084; 1043; 960; 809 cm⁻¹.

EM(HR) calculado para C₁₅H₂₀O₄S: 280,1115, desviación 6,5 ppm

EM m/e (abundancia relativa): 280 (10,4); 263 (32,3); 221 (100); 204 (49,4); 190 (15,8); 179 (17,7); 166 (17,1); 147 (27,4); 124 (58,5); 105 (9,1); 91 (37,8); 81 (26,3); 60 (8,5); 43 (10,3).

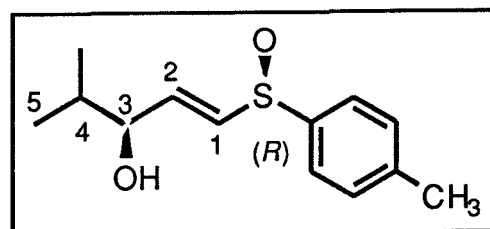
Resolución enzimática del hidroxisulfóxido 101d.

La reacción entre 304 mg (1,27 mmol) del hidroxisulfóxido **101d** con 1,52 mg de lipasa PS, 760 mg de tamiz molecular y 1,18 mL de acetato de vinilo (12,7 mmol) es sometida a las condiciones descritas para la resolución de alcoholes impedidos durante 10 días. La mezcla obtenida bajo estas condiciones se separa por cromatografía flash utilizando una mezcla de acetato de etilo, hexano-eter (6:3:1).

-E-(S)-4-metil-1-(*p*-Tolilsulfinil)-1-penten-3-ol (**129d**)

Aceite transparente. $[\alpha]_D^{25^\circ C} = +225^\circ$ (c=4,7; CHCl₃)

¹H-RMN (500 MHz, CDCl₃): δ 7.49-7.29 (sistema AA'BB', 4H, Me-C₆H₄); 6.60 (dd, *J*_{anti} 15.0 Hz, J_{2,3} 4.8 Hz, 1H, H₂); 6.44 (dd, *J*_{anti} 15.0 Hz, J_{1,3} 1.5 Hz, 1H, H₁); 4.12 (m, 1H, CH(OH)); 2.39 (s, 3H, CH₃-Ar); 1.83 (octeto, *J* 6.7 Hz, 1H, (CH₃)₂CH); 1.25 (s, 1H, OH) y 0.91 (2d, *J* 3.4 Hz, 6H, (CH₃)₂CH).



¹³C-RMN (125 MHz, CDCl₃): δ 141.75 (Cipso); 141.34 (Cpara); 139.86 (C-2); 134.65 (C-1); 130.21 (Cmeta); 124.54 (Corto); 75.87 (C-3); 33.54 (C-4); 21.34 (CH₃-Ar); 18.24 y 17.65 (CH₃)₂CH).

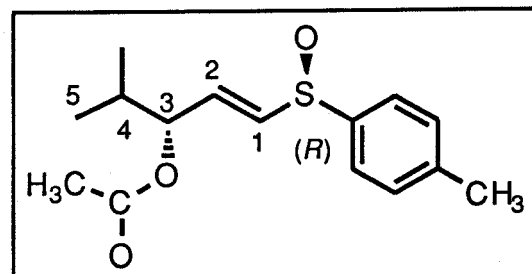
EM y IR similares a los descritos en el caso de 101d.

-Acetato de E-(R)-4-metil-1-(*p*-tolilsulfinil)-1-penten-3-ilo (130d).

Aceite transparente. $[\alpha]_D^{25,c} = +195^\circ$
(c=4,1; CHCl₃).

Análisis. Calculado para C₁₅H₂₀O₃S: C, 64,25; H, 7,19

Encontrado: C, 63,77 H, 6,97.



¹H-RMN (200 MHz; CDCl₃): δ 7,47-7,29 (sistema AA'BB', 4H, Me-C₆H₄); 6,50 (dd, J_{1,2} 15,1 Hz, J_{2,3} 5,8 Hz, 1H, H₂); 6,37 (dd, J_{1,2} 15,1 Hz, J_{1,3} 1,2 Hz, 1H, H₁); 5,24 (m, 1H, H₃); 2,38 (s, 3H, CH₃-Ar); 2,04 (s, 3H, CH₃CO); 1,95 (m, 1H, H₄); 1,34-1,28 (m, 2H, H₅); 0,88 (2d, J 6,8 Hz, 6H, CH₃).

¹³C-RMN (50,29 MHz, CDCl₃): δ 169,91 (CO); 141,85 (Cipso); 139,74 (Cpara); 136,40 (C-2); 133,98 (C-1); 13,02 (Cmeta); 124,87 (Corto); 76,67 (C-3); 31,87 (C-4); 21,26 (CH₃Ar); 20,78 (CH₃CO); 17,79 y 17,63 ((CH₃)₂CH).

IR(KBr): ν 2953; 1738; 1595; 1492; 1460; 1372; 1236; 1085; 1042; 973; 810; 623 cm⁻¹.

EM(HR) calculado para C₁₅H₂₀O₄S: 280,1116, desviación 6.0 ppm

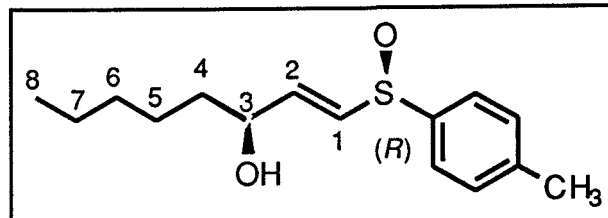
EM m/e (abundancia relativa): 280 (6,1); 263 (21,3); 221 (91,5); 204 (43,3); 194 (21,3); 189 (35,9); 179 (70,6); 167 (17,6); 147 (100); 140 (24,3); 124 (49,9); 105 (13,4); 91 (44,4); 81 (25,6); 71 (12,7); 43 (37,1).

Resolución enzimática del hidroxisulfóxido 101e.

685 mg del hidroxisulfóxido **101e** (2,57 mmol) se hacen reaccionar con 2,6 g de lipasa PS, 1,3 g de tamiz molecular y 1,18 mL de acetato de vinilo (25,77 mmol) en las condiciones descritas en el método B para la resolución de alcoholes, siendo necesarios 3 días de reacción. El residuo obtenido tras purificación cromatográfica permite obtener el hidroxisulfóxido **129e** y el acetoxisulfóxido **130e**.

-E-(S)-1-(*p*-Tolilsulfinil)-1-octen-3-ol (129e)

Aceite transparente. $[\alpha]_D^{25^\circ C} = +294^\circ$
(c=3,1; CHCl₃)



¹H-RMN (500 MHz, CDCl₃): δ 7.49-7.30 (sistema AA'BB', 4H, Me-C₆H₄); 6.60 (dd, J_{anti} 15.0 Hz, J_{2,3} 4.6 Hz, 1H, H₂); 6.44 (dd, J_{anti} 15.0 Hz, J_{1,3} 1.55 Hz, 1H, H₁); 4.33 (m, 1H, H₃); 2.40 (s, 3H, CH₃-Ar); 2.23 (ancha, 1H, OH); 1.61 (m, 2H, H₄); 1.42-1.26 (m, 6H, H₅, H₆ y H₇) y 0.88 (t, J = 6,9 Hz, 3H, H₈).

¹³C-RMN (125 MHz, CDCl₃): δ 141,97 (Cipso); 141,37 (C-2); 140,32 (Cpara); 133,45 (C-1); 129,91 (Cmeta); 124,64 (Corto); 70,83 (C-3); 36,24 (C-4); 31,52 (C-6); 24,88 (C-5); 22,54 (C-7); 21,38 (CH₃-Ar) y 13,77 (C-8).

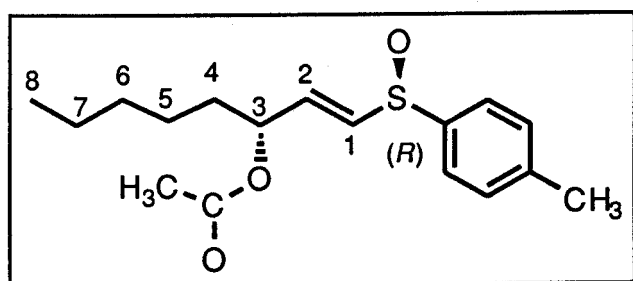
EM y IR similares a los descritos para **101e**.

-Acetato de E-(R)-1-(*p*-tolilsulfinil)-1-octen-3-ilo (130e).

Aceite transparente.
 $[\alpha]_D^{25,c} = +223^\circ$ ($c=2,8$; CHCl_3).

Ánáisis. Calculado para
 $\text{C}_{17}\text{H}_{24}\text{O}_3\text{S}$: C, 66,20; H, 7,84

Encontrado: C, 65,96 H, 7,71



¹H-RMN (200 MHz; CDCl_3): δ 7,48-7,30 (sistema AA'BB', 4H, Me-C₆H₄); 6,51 (dd, $J_{1,2}$ 15,0 Hz, $J_{2,3}$ 5,7 Hz, 1H, H₂); 6,37 (dd, $J_{1,2}$ 15,1 Hz, $J_{1,3}$ 1,2 Hz, 1H, H₁); 5,40 (m, 1H, H₃); 2,40 (s, 3H, CH₃-Ar); 2,05 (s, 3H, CH₃CO); 1,69-1,63 (m, 2H, H₄); 1,38-1,19 (m, 6H, H₅, H₆ y H₇); 0,86 (t, J 7,4 Hz, 3H, CH₃).

¹³C-RMN (50,29 MHz, CDCl_3): δ 169,97 (CO); 141,86 (Cipso); 140,01 (Cpara); 135,88 (C-2); 135,40 (C-1); 130,09 (Cmeta); 124,88 (Corto); 72,43 (C-3); 33,84 (C-4); 31,30 (C-5); 24,41 (C-6); 22,34 (C-7); 21,33 (CH₃Ar); 21,14 (CH₃CO); 13,83 (CH₃).

IR(KBr): ν 2936; 2863; 1740; 1492; 1457; 1372; 1235; 1084; 1048; 958; 808 cm^{-1} .

EM(HR) calculado para $\text{C}_{17}\text{H}_{24}\text{O}_3\text{S}$: 308,1446, desviación 0 ppm

EM m/e (abundancia relativa): 308 (1,2); 249 (3,6); 232 (100); 204 (4,8); 189 (49,4); 174 (18,3); 161 (18,9); 156 (19,5); 143 (18,9); 124 (47,5); 123 (51,8); 109 (17); 105 (9,1); 97 (20,1); 91 (32,9); 85 (17); 79 (23,2); 67 (33,5); 60 (18,3); 43 (17).

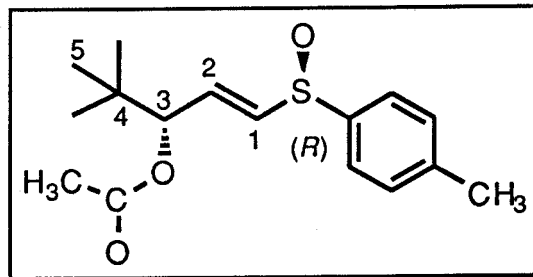
Resolución enzimática del hidroxisulfóxido 101f.

Empleando las condiciones descritas en el procedimiento general para la resolución de acoholes impedidos (método B), para 300 mg del hidroxisulfóxido **101f** (1,19 mmol) tras 12 días de reacción se obtiene una mezcla constituida por el acetoxisulfóxido **130f** y el hidroxisulfóxido **101f**. El acetoxisulfóxido se separa por cromatografía en columna rápida (acetato de etilo/hexano 3:2).

-Acetato de E-(R)-4,4-dimetil-1-(*p*-tolilsulfinil)-1-penten-3-ilo (130f).

Aceite transparente. $[\alpha]_D^{25^\circ C} = +118^\circ$ ($c=1$; CHCl_3).

$^1\text{H-RMN}$ (200 MHz; CDCl_3): δ 7,45-7,27 (sistema AA'BB', 4H, Me-C₆H₄); 6,55 (dd, $J_{1,2}$ 15,1 Hz, $J_{2,3}$ 6,1 Hz, 1H; H₂); 6,31 (dd, $J_{1,2}$ 15,1 Hz, $J_{1,3}$ 1,1 Hz, 1H, H₁); 5,14 (dd, $J_{1,3}$ 1,1 Hz, $J_{2,3}$ 6,1 Hz, 1H, H₃); 2,37 (s, 3H, CH₃-Ar); 2,02 (s, 3H, CH₃CO); 0,90 (s, 9H, (CH₃)₃C).



$^{13}\text{C-RMN}$ (50,29 MHz, CDCl_3): δ 170,04 (CO); 141,94 (Cipso); 140,02 (Cpara); 137,29 (C-2); 133,32 (C-1); 130,13 (Cmeta); 125,01 (Corto); 79,33 (C-3); 34,95 (C-4); 25,73 (C-5); 21,39 (CH₃Ar); 20,85 (CH₃CO).

IR(KBr): ν 2952; 1739; 1370; 1237; 1082; 1039; 973; 809 cm^{-1} .

EM(HR) calculado para C₁₆H₂₂O₃S: 294,1289, desviación 5,6 ppm

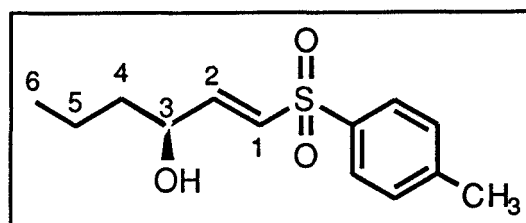
EM m/e (abundancia relativa): 294 (7,8); 278 (6,2); 235 (41,4); 221 (21,1); 212 (9,4); 195 (9,4); 189 (12,5); 187 (7,8); 179 (100); 177 (6,2); 166 (3,1); 147 (31,2); 140 (6,2); 123 (10,1); 99 (3,9); 91 (12,5); 69 (10,1); 57 (10,1).

Procedimiento general para la oxidación de sulfóxidos a sulfona.

Se disuelve en metanol el correspondiente sulfóxido (1 eq) y se enfria a 0 °C. A esta disolución se le añade una disolución de oxone® (2 eq) en agua agitándose a continuación durante 3 h a temperatura ambiente. Se diluye con agua y se extrae con diclorometano. El extracto orgánico se lava con una disolución saturada de ClNa y se seca sobre sulfato sódico anhidro. La evaporación del disolvente a presión reducida conduce a la correspondiente sulfona sin necesidad de purificación posterior.

E-(*S*)-1-(*p*-Tolilsulfonil)-1-hexen-3-ol (131)

Al hacer reaccionar 36 mg (0,15 mmol) del hidroxisulfóxido **129c** en 4 mL de metanol con una disolución de oxone® (93 mg, 0,15 mmol) en 2 mL de agua tal como se describe en el procedimiento general, se obtienen 38 mg (85% rdto) de un sólido. p.f. 92-94 °C $[\alpha]_D^{25^\circ C} = +42,6^\circ$ (c=1,5; CHCl₃), (lit: $[\alpha]_D^{25^\circ C} = +44,5,5^\circ$ (c=1; CHCl₃)



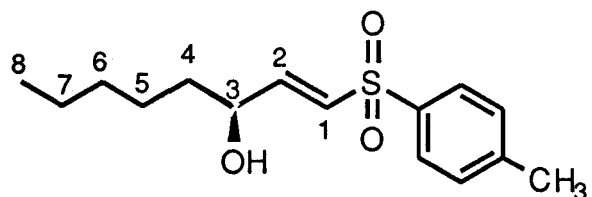
¹H-RMN (200 MHz, CDCl₃): δ 7,69-7,28 (sistema AA'BB', 4H, Me-C₆H₄); 6,89 (dd, J_{1,2} 14,9 Hz, J_{2,3} 3,8 Hz, 1H, H₂); 6,52 (dd, J_{1,2} 14,9 Hz, J_{1,3} 1,8 Hz, 1H, H₁); 4,32-4,27 (m, 1H, H₃); 2,48 (s ancha, 1H, OH); 2,38 (s, 3H, CH₃Ar); 1,56-1,28 (m, 4H, H₄ y H₅); 0,86 (t, J 7,1 Hz, 3H, CH₃).

¹³C-RMN (50,29 MHz, CDCl₃): δ 148,0 (C-2); 144,36 (Cipso); 137,12 (Cpara); 129,84 (Cmeta); 127,54 (Corto); 69,81 (C-3); 38,22 (C-4); 21,52 (CH₃Ar); 18,34 (C-5) y 13,74 (C-6).

EM(HR) calculado para C₁₃H₁₈O₃S: 254,1976, desviación 4,8 ppm

EM m/e (abundancia relativa): 254 (3,2); 225 (23,2); 183 (98,8); 157 (12,2); 139 (100); 124 (12,2); 107 (4,9); 99 (29,2); 92 (23,2); 91 (37,8); 77 (4,2); 65 (9,1); 55 (10,3).

E-(S)-1-(*p*-Tolilsulfoníl)-1-octen-3-ol (132)



La reacción de 100 mg (0,376 mmol) del hidroxisulfóxido **129d** en 10 mL de metanol y 231 mg de oxone® (0,752 mmol) en 5

mL de agua siguiendo el método general de oxidación da lugar a 78 mg un sólido blanco (74% rendimiento) p.f. 103-104 °C [α]_D^{25°C} = +39° (c=3,5; CHCl₃), (lit.: [α]_D^{25°C} = +40,5° (c=; CHCl₃)

¹H-RMN (200 MHz, CDCl₃): δ 7,65-7,23 (sistema AA'BB', 4H, Me-C₆H₄); 6,85 (dd, J_{1,2} 14,9 Hz, J_{2,3} 3,8 Hz, 1H, H₂); 6,48 (dd, J_{1,2} 14,9 Hz, J_{1,3} 1,7 Hz, 1H, H₁); 4,23 (m, 1H, H₃); 3,02 (s ancha, 1H, OH); 2,34 (s, 3H, CH₃Ar); 1,48-1,40 (m, 2H, H₄); 1,41-1,17 (m, 6H, H₅, H₆ y H₇); 0,78 (t, J 6,4 Hz, 3H, CH₃).

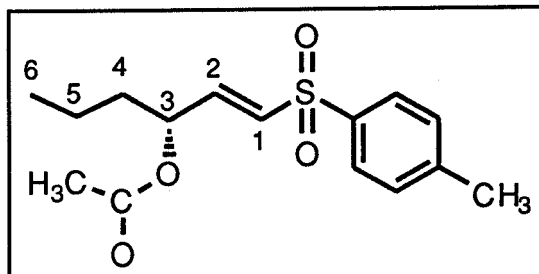
¹³C-RMN (50,29 MHz, CDCl₃): δ 148,21 (C-2); 144,21 (Cipso); 137,0 (Cpara); 129,70 (Cmeta); 127,35 (Corto); 69,81 (C-3); 35,96 (C-4); 31,30 (C-5); 24,58 (C-6); 22,24 (C-7); 21,35 (CH₃Ar); y 13,74 (C-8).

EM(HR) calculado para C₁₅H₂₂O₃S: 282,1290, desviación 0,2 ppm

EM m/e (abundancia relativa): 282 (1,5); 253 (17,1); 212 (7,9); 183 (100); 139 (43,3); 128 (11,6); 124 (9,7); 109 (3); 91 (24,4); 70 (54,8).

Acetato de E-(*R*)-1-(*p*-tolilsulfonil)-1-hexen-3-ilo (133).

Por reaccion de 42 mg (0,15 mmol) del acetoxisulfóxido **130c** en 4 mL de metanol con 93 mg (0,15 mmol) de oxone® en 2 mL de agua siguiendo el procedimiento general se obtienen 44 mg de un aceite transparente (98% rdto).



$[\alpha]_D^{25^\circ c} = +12,8^\circ$ (c=4,4; CHCl₃)

¹H-RMN (200 MHz, CDCl₃): δ 7,68-7,27 (sistema AA'BB', 4H, Me-C₆H₄); 6,81 (dd, J_{1,2} 15,1 Hz, J_{2,3} 4,6 Hz, 1H, H₂); 6,37 (dd, J_{1,2} 15,1 Hz, J_{1,3} 1,6 Hz, 1H, H₁); 5,38 (m, 1H, H₃); 2,37 (s, 3H, CH₃Ar); 1,99 (s, 3H, CH₃CO); 1,65-1,53 (m, 2H, H₄); 1,33-1,18 (m, 2H, H₅); 0,84 (t, J 7,1 Hz, 3H, CH₃).

¹³C-RMN (54,29 MHz, CDCl₃): δ 169,72 (CO); 144,54 (Cipso); 142,99 (C-2); 136,88 (Cpara); 130,84 (C-1) 129,92 (Cmeta); 127,68 (Corto); 71,12 (C-3); 35,55 (C-4); 22,57 (CH₃CO); 21,54 (CH₃-Ar); 18,03 (C-5); 13,62 (C-6).

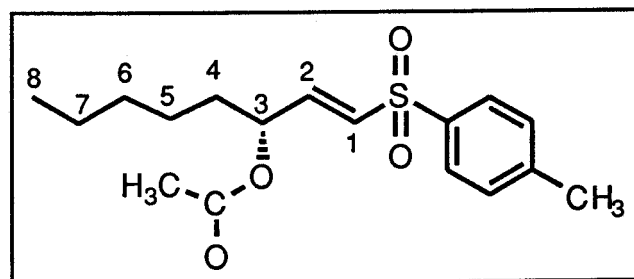
EM(HR) calculado para C₁₅H₂₀O₄S: 296,1081, desviación 0,4 ppm

EM m/e (abundancia relativa): 296 (3); 254 (11,6); 225 (10,9); 211 (32,7); 183 (31,1); 157 (12,2); 141 (67,7); 139 (39); 99 (100); 91 (30,5); 81 (35,9); 65 (10,9); 43 (44,5).

Acetato de E-(*R*)-1-(*p*-tolilsulfonil)-1-octen-3-ilo (134).

Parte Experimental

Se hacen reaccionar 50 mg (0,162 mmol) del acetoxisulfóxido **130d** en 5 mL de metanol con una disolución de 100 mg (0,162 mmol) de oxone® en 3 mL de



agua siguiendo el método general de oxidación. Se obtienen así 51 mg de la correspondiente sulfona como un aceite transparente (95% rdto).

$$[\alpha]_D^{25^\circ c} = +7,8^\circ \text{ (c=1,6; CHCl}_3)$$

1H-RMN (200 MHz, CDCl₃): δ 7,65-7,23 (sistema AA'BB', 4H, Me-C₆H₄); 6,79 (dd, J_{1,2} 15,1 Hz, J_{2,3} 4,6 Hz, 1H, H₂); 6,36 (dd, J_{1,2} 15,1 Hz, J_{1,3} 1,6 Hz, 1H, H₁); 5,40-5,30 (m, 1H, H₃); 2,32 (s, 3H, CH₃Ar); 1,95 (s, 3H, CH₃CO); 1,62-1,51 (m, 2H, H₄); 1,23-1,12 (m, 6H, H₅, H₆ y H₇); 0,75 (t, J 6,2 Hz, 3H, H₈).

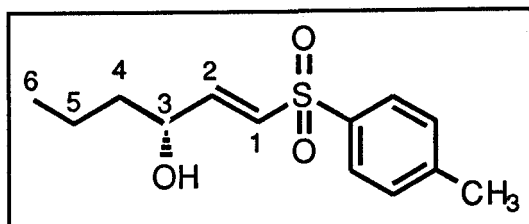
13C-RMN (54,29 MHz, CDCl₃): δ 169,47 (CO); 144,31 (Cipso); 142,87 (C-2); 136,77 (Cpara); 130,68 (C-1) 129,71 (Cmeta); 127,44 (Corto); 71,12 (C-3); 33,22 (C-4); 31,04 (C-5); 24,10 (C-6); 22,08 (C-7); 21,30 (CH₃-Ar); 20,58 (CH₃CO); 13,62 (C-6).

EM(HR) calculado para C₁₇H₂₄O₄S: 324,1393, desviación 0,6 ppm

EM m/e (abundancia relativa): 324 (1,3); 282 (15,8); 253 (21,3); 211 (55,5); 183 (64); 169 (88,4); 158 (23,7); 139 (58,5); 127 (100); 109 (60,3); 91 (45,1); 79 (9,7); 67 (12,8); 43 (23,8).

E-(R)-1-(p-Tolilsulfonil)-1-hexen-3-ol 131-(R)

Se disuelven 26 mg (0,08 mmol) de la acetoxisulfona en 4,5 mL de una mezcla de trietilamina-metanol-agua (1:1:1) agitándose la mezcla de reacción durante 8 h a temperatura ambiente. La mezcla se hidroliza con una disolución de HCl al 10% y se extrae con diclorometano. El extracto orgánico se lava sucesivamente con disoluciones saturadas de HCO_3Na y de NaCl. La evaporación del disolvente da lugar a 19 mg de un sólido blanco (80% rdto). p.f. 89-90 °C $[\alpha]_D^{25^\circ\text{C}} = -43,6^\circ$ ($c=1,8$; CHCl_3).

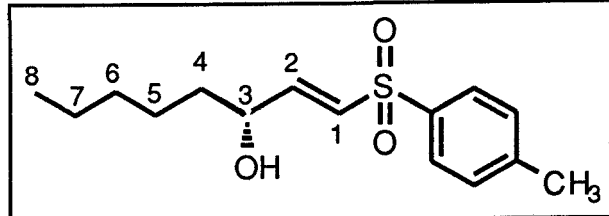


^1H y ^{13}C -RMN similares a los descritos para **131**.

EM(HR) calculado para $\text{C}_{13}\text{H}_{18}\text{O}_3\text{S}$: 254,0982, desviación 1,9 ppm

E-(R)-1-(*p*-Tolilsulfonil)-1-octen-3-ol 132-(R)

Se tratan 46 mg (0,14 mmol) de la hidroxisulfona **134** con 9 mL de una mezcla de trietilamina-metanol-agua (1:1:1) a temperatura ambiente durante 8 h. A continuación, se hidroliza con agua y se extrae con diclorometano. El extracto orgánico se lava posteriormente con una disolución de cloruro sódico y se seca sobre sulfato sódico anhidro. Se elimina el disolvente por evaporación a presión reducida obteniéndose un sólido blanco p.f. 103-105 °C $[\alpha]_D^{25^\circ\text{C}} = -39,5^\circ$ ($c=2,4$; CHCl_3).



^1H y ^{13}C -RMN similares a los descritos para **132**.

EM(HR) calculado para $\text{C}_{15}\text{H}_{22}\text{O}_3\text{S}$, 282,1290, desviación 1,6 ppm

Metodo general para la utilización de complejos de Pd en reacciones de desplazamiento nucleofílico.

Una disolución del correspondiente acetoxisulfóxido (1 eq), el complejo de paladio (0,01 eq) y trifenilfosfina* (0.1 eq) en THF anhidro y bajo atmósfera inerte se calienta a reflujo durante 1-2 h. A continuación se le añade una disolución de malonato de dimetilo (1,5 eq) y NaH (1,6 eq) en THF anhidro agitándose a la misma temperatura durante el tiempo especificado para cada uno de los casos. Posteriormente, se elimina el disolvente por evaporación a presión reducida y el residuo se purifica por cromatografía en columna rápida.

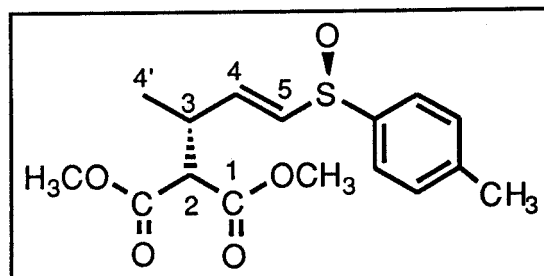
2-metoxicarbonil-3-(S)-metil-5-(S_R)-(p-tolilsulfinil)-4-pentenoato de metilo (146a).

Sólido blanco. Rendimiento: 92 y 93 % p.f.: 77-79 °C; $[\alpha]_D^{25^\circ\text{C}} = +119^\circ$ ($c=4,7$, CHCl₃).

Análisis. Calculado para C₁₆H₂₀O₅S:

C, 59,20; H, 6,21

Encontrado: C, 59,26 H, 6,17



* En el caso de tetrakis trifenilfosfina Pd (0) no se necesita añadir trifenilfosfina.

1H-RMN (500 MHz, CDCl₃): δ 7,43-7,25 (sistema AA'BB', 4H, Me-C₆H₄); 6,48 (dd, J_{4,5} 15,1 Hz, J_{3,4} 8,05 Hz, 1H, H₄); 6,22 (dd, J_{4,5} 15,1 Hz, J_{3,5} 0,5 Hz, 1H, H₅); 3,64 y 3,59 (s, 3H, CH₃CO); 3,35 (d, J_{2,3} 8,5 Hz, 1H, H₂); 3,10 (m, 1H, H₃); 2,35 (s, 3H, CH₃Ar); 1,10 (d, J_{3,4'} 6,8 Hz, 3H, H_{4'}).

13C-RMN (125 MHz, CDCl₃): δ 167,94 y 167,89 (CO); 141,52 (Cipso); 140,45 (Cpara); 139,68 (C-4); 136,39 (C-5); 129,97 (Cmeta); 124,61 (Corto); 56,55 (C-3); 52,52 y 52,42 (CH₃CO); 36,31 (C-2); 21,32 (CH₃Ar); 17,38 (C-4').

IR(KBr): ν 3019, 2956, 1736, 1492, 1440, 1389, 1347, 1313, 1236, 1165, 1088, 1047, 1011, 981, 924, 846, 808, 693, 621 cm⁻¹.

EM: (HR) m/e para C₁₆H₂₀O₅S: 324,1029, desviación 0,6 ppm.

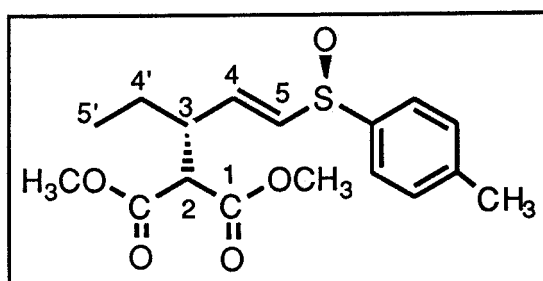
EM, m/e (abundancia relativa): M⁺ 324 (10,9); 308 (63,4); 276 (43,3); 216 (24,4); 183 (53); 177 (100); 157 (46,9); 145 (99); 125 (60,9); 124 (61,6); 91 (41,4); 59 (15,8); 43 (8,5).

2-metoxicarbonil-3-(S)-etil-5-(S_R)-(p-tolilsulfinil)-4-pentenoato de dimetilo (146b)

Sólido blanco. Rendimiento: 87 y 89 % p.f. 53,5-55,5 °C; [α]_D^{25°C} = +95,7° (c=2,8, CHCl₃).

Análisis . Calculado para C₁₇H₂₂O₅S, C, 60,35; H, 6,51

Encontrado: C, 60,34; H, 6,36.



Parte Experimental

1H-RMN (500 MHz, CDCl₃): δ 7,47-7,29 (sistema AA'BB', 4H, Me-C₆H₄); 6,43 (dd, J_{4,5} 15,1 Hz, J_{3,4} 9,6 Hz, 1H, H₄); 6,29 (dd, J_{4,5} 15,1 Hz, J_{3,5} 0,44 Hz, 1H, H₅); 3,65 y 3,61 (s, 3H, CH₃CO); 3,46 (d, J_{2,3} 8,5 Hz, 1H, H₂); 2,87 (m, 1H, H₃); 2,38 (s, 3H, CH₃Ar); 1,60-1,55 (m, 1H, H_{4'}); 1,47-1,41 (m, 1H, H_{4'}); 0,87 (t, J_{5',4'} 7,4 Hz, 3H, H_{5'}).

13C-RMN (125 MHz, CDCl₃): δ 167,98 y 167,78 (CO); 141,39 (Cipso); 140,46 (Cpara); 138,06 (C4); 137,87(C-5); 129,85 (Cmeta); 124,51 (Corto); 55,45 (C-3); 52,40 y 52,23 (CH₃CO); 43,53 (C-2); 24,99 (C-4') 21,22 (CH₃Ar); 11,43 (C-5').

IR (KBr): ν 2954; 1743 1494; 1442, 1222; 1084; 1044; 971; 807; 807; 622 cm⁻¹.

EM: (HR) m/e para C₁₇H₂₂O₅S: 338,1201, desviación 3,9 ppm.

EM, m/e (abundancia relativa): M⁺ (1,2); 322 (47,6); 199 (34,2); 191 (100); 178 (17,1); 161 (26,9); 139 (42,1); 124 (42); 111 (24,4); 99 (12,8); 67 (14,6); 45 (9,7).

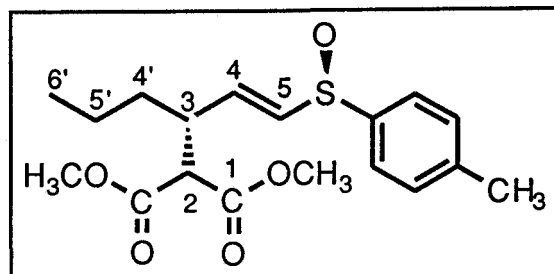
2-metoxicarbonil-3-(S)-propil-5-(S_R)-(p-tolilsulfinil)-4-pentenoato de dimetilo. (146c)

Sólido blanco. Rendimiento: 83 y 86 % p.f. 51-53 °C. [α]_D^{25°C} = +90° (c=2, CHCl₃).

Análisis. Calculado: para C₁₈H₂₄O₅S:

C, 61,34; H, 6,86

Encontrado: C, 61,08; H, 6,56.



¹H-RMN (500 MHz, CDCl₃): δ 7,47-7,29 (sistema AA'BB', 4H, Me-C₆H₄); 6,43 (dd, J_{4,5} 15,1 Hz, J_{3,4} 9,6 Hz, 1H, H₄); 6,28 (dd, J_{4,5} 15,1 Hz, J_{3,5} 0,5 Hz, 1H, H₅); 3,65 y 3,61 (s, 3H, CH₃CO); 3,44 (d, J_{2,3} 8,4 Hz, 1H, H₂); 2,86 (m, 1H, H₃); 2,39 (s, 3H, CH₃Ar); 1,47-1,40 (m, 2H, H_{4'}), 1,34 (m, 1H, H_{5'}); 1,22 (m, 1H, H_{5'}); 0,86 (t, J_{5',4'} 7,3 Hz, 3H, H_{6'}).

¹³C-RMN (125 MHz, CDCl₃): δ 167,96 y 167,79 (CO); 141,39 (Cipso); 140,45 (Cpara); 138,32 (C-4); 137,86(C-5); 129,85 (Cmeta); 124,53 (Corto); 55,71 (C-3); 52,39 y 52,23 (CH₃CO); 41,76 (C-2); 34,0 (C-4'); 21,22 (CH₃Ar); 20,06 (C-5') y 13,55 (C-6').

IR(KBr): ν 2950; 2871; 1742; 1595; 1493; 1442; 1242; 1156,; 1083; 1046; 969; 807; 622 cm⁻¹.

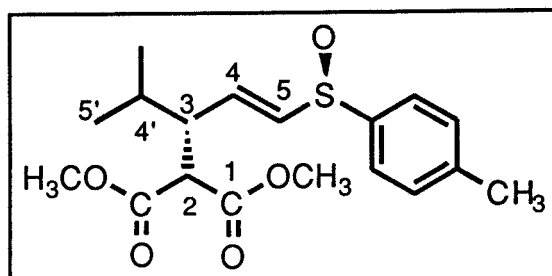
EM: (HR) m/e para C₁₈H₂₄O₅S: 352,1365, desviación 5,8 ppm.

EM, m/e (abundancia relativa): M⁺ (0,6); 336 (59,7); 215 (28); 205 (100); 181 (15,8); 163 (39); 161 (32,9); 153 (40,8); 149 (60,4); 124 (54,8); 111 (28); 91 (42,7); 81 (39,3); 59 (14).

2-metoxicarbonil-3-(S)-ipropil-5-(S_R)-(p-tolilsulfinil)-4-pentenoato de dimetilo. (146d)

Aceite transparente; Rendimiento: 64 y 71 % [α]_D^{25°C} = +173° (c=5,5, CHCl₃).

Análisis. Calculado para C₁₈H₂₄O₅S, C, 61,34; H, 6,86



Encontrado: C, 61,13; H, 6,60.

Parte Experimental

¹H-RMN (500 MHz, CDCl₃): δ 7,47-7,29 (sistema AA'BB', 4H, Me-C₆H₄); 6,51 (dd, J_{4,5} 15,1 Hz, J_{3,4} 10,2 Hz, 1H, H₄); 6,26 (d, J_{4,5} 15,1 Hz, 1H, H₅); 3,63 (d, J_{2,3} 8,8 Hz, 1H, H₂); 3,61 (s, 6H, CH₃CO); 2,84-2,79 (m, 1H, H₃); 2,38 (s, 3H, CH₃Ar); 1,85-1,78 (m, 1H, H_{4'}); 0,90 (2d, J_{5',4'} 2,0 Hz, 6H, H_{5'}).

¹³C-RMN (125 MHz, CDCl₃): δ 168,31 y 168,04 (CO); 141,52 (Cipso); 140,57 (Cpara); 138,9 (C-4); 135,98(C-5); 129,96 (Cmeta); 124,67 (Corto); 54,01 (C-3); 52,52 y 52,37 (CH₃CO); 48,30 (C-2); 29,37 (C-4'); 21,34 (CH₃Ar); 18,08 (C-5').

IR(KBr): ν 2959; 1742; 1438; 1205; 1083; 1046; 811 cm⁻¹.

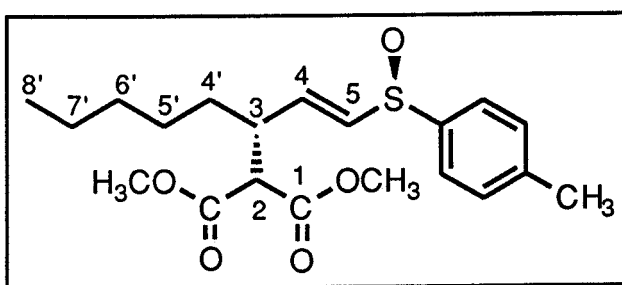
EM: (HR) m/e para C₁₈H₂₄O₅S 352,1355, desviación 2,6 ppm.

EM, m/e (abundancia relativa): M⁺ 352 (8,1); 336 (62,2); 304 (14,8); 293 (47,3); 261 (14,8); 213 (39,2); 205 (28,4); 193 (14,8); 181 (17,5); 161 (100); 149 (36,5); 129 (45,9); 123 (35,1); 111 (52,7); 91 (24,3); 81 (37,8); 69 (10,8); 59 (12,1); 41 (14,8).

2-carboxilato-3-(S)-pentil-5-(S_R)-(p-tolilsulfinil)-4-pentenoato de dimetilo. (146e)

Aceite transparente; Rendimiento: 76 y 78 % [α]_D^{25°C} = +120,4° (c=3,3, CHCl₃).

Análisis. Calculado para C₂₀H₂₈O₅S: C, 63,13; H, 7,42



Encontrado: C, 63,09; H, 7,13.

¹H-RMN (500 MHz, CDCl₃): δ 7,47-7,29 (sistema AA'BB', 4H, Me-C₆H₄); 6,43 (dd, J_{4,5} 15,1 Hz, J_{3,4} 9,7 Hz, 1H, H₄); 6,27 (d, J_{4,5} 15,1 Hz, 1H, H₅); 3,65 y 3,61 (s, 3H, CH₃CO); 3,44 (d, J_{2,3} 8,4 Hz, 1H, H₂); 2,98-2,91 (m, 1H, H₃); 2,39 (s, 3H, CH₃Ar); 1,50-1,38 (m, 2H, H_{4'}), 1,30-1,16 (m, 6H, H_{5'}, H_{6'} y H_{7'}); 0,83 (t, J_{7',8'} 6,8 Hz, 3H, H_{8'}).

¹³C-RMN (125 MHz, CDCl₃): δ 168,06 y 167,88 (CO); 141,49 (Cipso); 140,59 (Cpara); 138,09 (C4); 137,43(C5); 129,65 (Cmeta); 124,47 (Corto); 55,84 (C3); 52,47 y 52,31 (CH₃CO); 42,03 (C2); 31,96 (C4'); 31,26 (C5'); 26,58 (C6'); 22,31 (C7'); 21,30 (CH₃Ar) y 13,84 (C6').

IR(KBr): ν 2941; 2860 1743; 1493 1439; 1231; 1084 1048; 808; 621 cm⁻¹.

EM: (HR) m/e para C₂₀H₂₈O₅S: 380,1659, desviación 0,3 ppm.

EM, m/e (abundancia relativa): M⁺ (3,1); 364 (67,5); 332 (21,6); 300 (5,4); 293 (13,5); 272 (8,1); 241 (35,1); 233 (7,0); 209 (24,3); 201 (40,5); 181 (70,3); 177 (66,2); 163 (66,2); 161 (60,8); 149 (39,2); 137 (36,5); 129 (28,4); 124 (100); 111 (51,3); 109 (95,9); 91 (52,7); 79 (24,3); 67 (28,4); 59 (21,6); 41(24,3).

Procedimiento general para la acetilación de los hidroxisulfóxidos 129

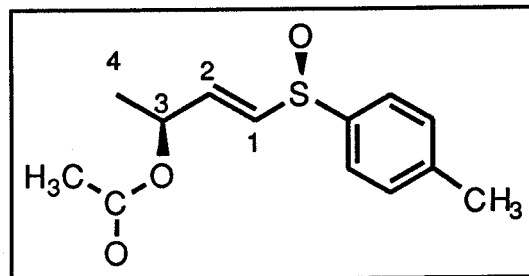
Se disuelve el correspondiente hidroxisulfóxido (1 eq) en CH₂Cl₂ anhidro en presencia de cantidades catalíticas de DMPA. La mezcla se enfria a 0 °C y se le añade diisopropiletamina (5 eq) agitándose a continuación durante 15 min a esa temperatura. Transcurrido este tiempo se le adiciona anhidrido acético (5 eq) y se agita a hasta que se alcanza la temperatura ambiente. Se hidroliza con agua y se extrae con diclorometano. El extracto

orgánico se lava con una disolución saturada de cloruro sódico y se seca sobre sulfato de sodio anhidro. El disolvente se evapora a presión reducida y el residuo se purifica por cromatografía rápida en columna.

Acetato de E-(S)-1-(S_R)-(p-tolilsulfinil)-1-buten-3-ilo (147a).

Aceite transparente; Rendimiento: 89 %
 $[\alpha]_D^{25^\circ C} = +172,5^\circ$ (c=1,5, CHCl₃).

¹H-RMN (200 MHz; CDCl₃): δ 7,36-7,16 (sistema AA'BB', 4H, Me-C₆H₄)
 6,41 (dd; J_{1,2} 15,1 Hz; J_{2,3}= 4,7 Hz; 1H; H₂); 6,27 (dd; J_{1,2} 15,1 Hz; J_{1,3} 0,9 Hz, 1H; H₁); 5,42-5,29 (m, 1H, H₃); 2,25 (s, 3H, CH₃-Ar); 1,89 (s, 3H, CH₃CO); 1,21 (d, J 6,58 Hz, 3H, CH₃).



¹³C-RMN (50,29 MHz, CDCl₃): δ 169,42 (CO); 141,49 (Cipso); 139,70 (Cpara); 136,05 (C-2); 135,07 (C-1); 129,80 (Cmeta); 124,48 (Corto); 68,48 (C-3); 21,03 (CH₃Ar); 20,67 (CH₃CO); 19,47 (CH₃).

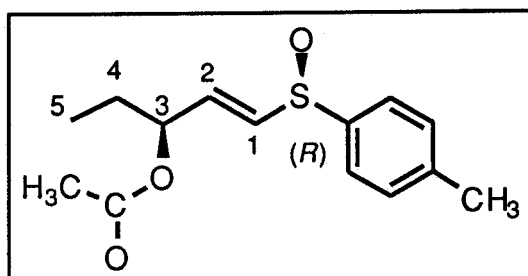
EM(HR) calculado para C₁₃H₁₆O₃S: 280,1131, desviación 1,9 ppm

EM similar al descrito para 130a.

Acetato de E-(S)-1-(S_R)-(p-tolilsulfinil)-1-penten-3-ilo (147b).

Aceite transparente; Rendimiento: 92 %
 $[\alpha]_D^{25^\circ C} = +155^\circ$ (c=2,4, CHCl₃).

¹H-RMN (200 MHz; CDCl₃): δ 7,41-7,21 (sistema AA'BB', 4H, Me-C₆H₄);
 6,44 (dd, J_{1,2} 15,1 Hz, J_{2,3} 4,9 Hz, 1H;



H₂); 6,27 (dd, *J*_{1,2} 15,0 Hz, *J*_{1,3} 0,8 Hz, 1H, H₁); 5,28 (m, 1H, H₃); 2,30 (s, 3H, CH₃-Ar); 1,96 (s, 3H, CH₃CO); 1,66-1,56 (m, 2H, H₄); 0,82 (t, *J* 7,4 Hz, 3H, CH₃).

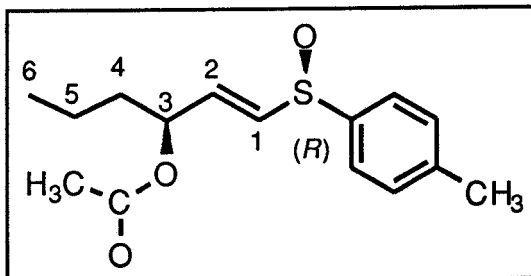
¹³C-RMN (50,29 MHz, CDCl₃): δ 169,85 (CO); 141,82 (Cipso); 139,61 (Cpara); 135,38 (C-2); 135,28 (C-1); 129,96 (Cmeta); 124,88 (Corto); 73,18 (C-3); 26,78 (C-4); 21,18 (CH₃Ar); 20,72 (CH₃CO); 8,94 (CH₃).

EM(HR) calculado para C₁₄H₁₈O₃S: 266,0968, desviación 3,3 ppm

EM similar al descrito para **130b**.

Acetato de E-(S)-1-(S_R)-(p-tolilsulfinil)-1-hexen-3-ilo (147c).

Aceite transparente; Rendimiento: 89 %
 $[\alpha]_D^{25^\circ} = +163,5^\circ$ (c=2,7, CHCl₃).



¹H-RMN (200 MHz; CDCl₃): δ 7,39-7,20 (sistema AA'BB', 4H, Me-C₆H₄); 6,44 (dd, *J*_{1,2} 15,1 Hz, *J*_{2,3} 5,0 Hz, 1H, H₂); 6,26 (d, *J*_{1,2} 15,1 Hz, 1H, H₁); 5,34 (m, 1H, H₃); 2,29 (s, 3H, CH₃-Ar); 1,94 (s, 3H, CH₃CO); 1,62-1,50 (m, 2H, H₄); 1,34-1,15 (m, 2H, H₅); 0,81 (t, *J* 7,2 Hz, 3H, CH₃).

¹³C-RMN (50,29 MHz, CDCl₃): δ 169,73 (CO); 141,72 (Cipso); 139,64 (Cpara); 135,66 (C-2); 135,06 (C-1); 129,91 (Cmeta); 124,82 (Corto); 71,84 (C-3); 35,70 (C-4); 21,14 (CH₃Ar); 20,68 (CH₃CO); 17,9 (C-5); 13,46 (CH₃).

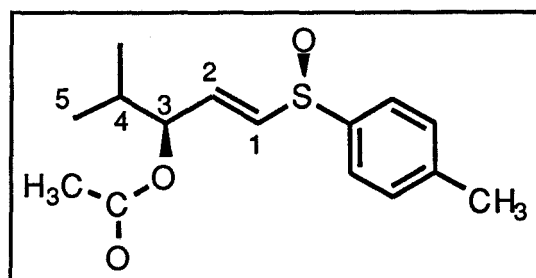
EM(HR) calculado para C₁₅H₂₀O₃S: 280,1131, desviación 0,9 ppm

EM similar al descrito para **130c**.

Acetato de E-(S)-4-metil-1-(S_R)-(p-tolilsulfinil)-1-penten-3-ilo (147d).

Aceite transparente; Rendimiento: 87 %
 $[\alpha]_D^{25^\circ\text{C}} = +173^\circ$ (c=2,4, CHCl₃).

1H-RMN (200 MHz; CDCl₃): δ 7,42-7,22 (sistema AA'BB', 4H, Me-C₆H₄); 6,45 (dd, J_{1,2} 15,1 Hz, J_{2,3} 5,3 Hz, 1H, H₂); 6,26 (dd, J_{1,2} 15,1 Hz, J_{1,3} 1,15 Hz, 1H, H₁); 5,24-5,14 (m, 1H, H₃); 2,32 (s, 3H, CH₃-Ar); 1,97 (s, 3H, CH₃CO); 1,81-1,73 (m, 1H, H₄); 0,84 (2d, J 2,9 Hz, 6H, CH₃)



13C-RMN (50,29 MHz, CDCl₃): δ 169,81 (CO); 141,78 (Cipso); 140,0 (Cpara); 136,29 (C-2); 133,90 (C-1); 129,99 (Cmeta); 124,94 (Corto); 76,52 (C-3); 31,89 (C-4); 21,24 (CH₃Ar); 20,73 (CH₃CO); 17,82 y 17,59 ((CH₃)₂CH).

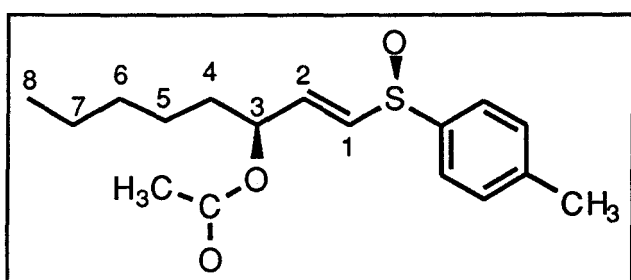
EM(HR) calculado para C₁₅H₂₀O₃S: 280,1131, desviación 5,7 ppm

EM similar al descrito para 130d.

Acetato de E-(S)-1-(S_R)-(p-tolilsulfinil)-1-octen-3-ilo (147e).

Aceite transparente; Rendimiento: 93 % $[\alpha]_D^{25^\circ\text{C}} = +120,5^\circ$ (c=1, CHCl₃).

1H-RMN (200 MHz; CDCl₃): δ 7,38-7,18 (sistema AA'BB', 4H, Me-C₆H₄); 6,42 (dd, J_{1,2} 15,1 Hz, J_{2,3} 5,1 Hz, 1H, H₂); 6,23 (dd, J_{1,2} 15,1 Hz, J_{1,3} 1,1 Hz, 1H, H₁); 5,36-5,17 (m, 1H, H₃); 2,28 (s, 3H, CH₃-Ar); 1,92 (s,



3H, CH₃CO); 1,78-1,65 (m, 2H, H₄); 1,15 (m, 6H, H₅, H₆ y H₇); 0,75 (t, *J* 5,9 Hz, 3H, CH₃)

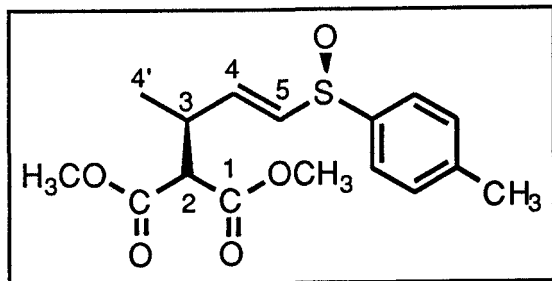
13C-RMN (50,29 MHz, CDCl₃): δ 169,99 (CO); 141,94 (Cipso); 140,10 (Cpara); 135,72 (C-2); 135,55 (C-1); 130,14 (Cmeta); 125,05 (Corto); 72,34 (C-3); 33,88 (C-4); 31,37 (C-5); 24,48 (C-6); 22,40 (C-7); 21,40 (CH₃-Ar); 20,98 (CH₃CO); 13,89 (CH₃).

EM(HR) calculado para C₁₇H₂₄O₂S: 292,1499, desviación 0,6 ppm

EM similar al descrito para 130e.

2-metoxicarbonil-3-(*R*)-metil-5-(S_R)-(p-tolilsulfinil)-4-pentenoato de dimetilo 146a-(*R*)

Sólido blanco. p.f. 77-79 °C ; Rendimiento: 89 % [α]_D^{25°C} = +119° (c=4,7, CHCl₃).



Análisis. Calculado para C₁₆H₂₀O₅S: C, 59,20; H, 6,21

Encontrado: C, 59,26; H, 6,17.

1H-RMN (500 MHz, CDCl₃): δ 7,43-7,25 (sistema AA'BB', 4H, Me-C₆H₄); 6,48 (dd, *J*_{4,5} 15,1 Hz, *J*_{3,4} 8,05 Hz, 1H, H₄); 6,22 (dd, *J*_{4,5} 15,1 Hz, *J*_{3,5} 0,5 Hz, 1H, H₅); 3,64 y 3,59 (s, 3H, CH₃CO); 3,35 (d, *J*_{2,3} 8,5 Hz, 1H, H₂); 3,10 (m, 1H, H₃); 2,35 (s, 3H, CH₃Ar); 1,10 (d, *J*_{3,4'} 6,8 Hz, 3H, H_{4'}).

13C-RMN (125 MHz, CDCl₃): δ 167,94 y 167,89 (CO); 141,52 (Cipso); 140,45 (Cpara); 139,68 (C-4); 136,39 (C-5); 129,97 (Cmeta); 124,61 (Corto); 56,55 (C-3); 52,52 y 52,42 (CH₃CO); 36,31 (C-2); 21,32 (CH₃-Ar); 17,38 (C-4').

EM(HR) calculado para C₁₆H₂₀O₅S: 324.1024, desviación 1,3 ppm

EM y IR similares a los descritos para **146a**.

Resolución del acetoxisulfóxido **1b utilizando tetrakistrifenilfosfina Pd(0)**

Una disolución del hidroxisulfóxido **1b** (70 mg, 0,248 mmol) y tetrakis trifenilfosfina (0,012 mmol, 12,8 mg) en 10 mLTHF se trata de la forma descrita en el procedimiento general con una disolución de 3 μL de dimetilmalonato (1,5 eq) y 15 mg de NaH (1,6 eq) en 5 mLTHF durante 4 h. La purificación del residuo obtenido se realiza por cromatografía en columna rápida utilizando una mezcla de eter y hexano (7:3) dando lugar al derivado 35 mg (42%), $[\alpha]_D^{25^\circ\text{C}} = +97^\circ$ (c=3,5, CHCl₃), recuperandose a su vez 27 mg del acetoxisulfóxido **147b** (38%) $[\alpha]_D^{25^\circ\text{C}} = +153^\circ$ (c=2,7, CHCl₃).

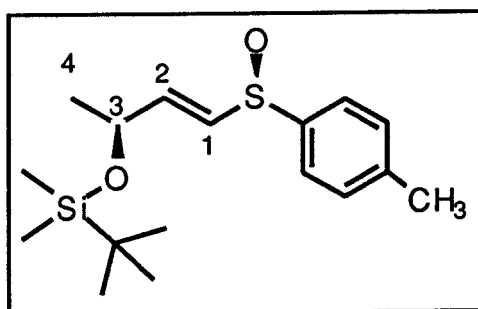
Procedimiento general para la silitación de los hidroxisulfóxidos **129**

A una disolución del hidroxisulfóxido **129** (1 eq) y cantidades catalíticas de DMPA (0,1 eq) en DMF seco a temperatura ambiente se le añade imidazol (3 eq) y cloruro de tertbutildimetsilsililo (3 eq). La mezcla se agita a esa temperatura 8 h. Transcurrido este tiempo se hidroliza con una disolución de ácido clorhídrico al 10% y se extrae con diclorometano (3x). Los extractos orgánicos se lavan sucesivamente con una disolución saturada de bicarbonato de sodio, con una disolución saturada de cloruro sódico y se seca sobre sulfato sódico anhidro. Tras la eliminación del disolvente por evaporación a presión reducida, se obtiene un residuo que se purifica por cromatografía flash.

**E-3-(S)-(terc-butil-dimetilsiloxi)-1-(S_R)-(p-tolilsulfinil)-1-buteno
(167a)**

Peso obtenido: 148 mgr; rdto : 96%.

Aceite transparente; $[\alpha]_D^{25^\circ\text{C}} = +50,4^\circ$ (c=1,4, CHCl₃).



Análisis . Calculado para C₁₇H₂₈SO₂Si: C, 62,96; H, 8,69

Encontrado: C, 63,16; H, 8,86.

¹H-RMN(200 MHz, CDCl₃): δ 7.46-7.26 (sistema AA'BB', 4H, Me-C₆H₄); 6.56 (dd, J_{1,2} 14.8 Hz, J_{2,3} 3.73 Hz, 1H, H₂); 6.34 (dd, J_{1,2} 14.8 Hz, J_{1,3} 1.5 Hz, 1H, H₁), 4.50-4.43 (m, 1H, H₃); 2.37 (s, 3H, CH₃Ar); 1.23 (d, J 6.5 Hz, 3H, H₄); 0.82 (s, 9H, (CH₃)₃C); 0.0 y -0.03 (2s, 6H, (CH₃)₂Si).

¹³C-RMN (50.29 MHz, CDCl₃): δ 142.33 (C-2); 141.51 (Cipso); 140.69 (Cpara); 132.97 (C-1); 129.99 (Cmeta); 124.80 (Corto); 67.80 (C-3); 25.71 ((CH₃)₃C); 23.63 (C-4); 21.38 (CH₃Ar); 18.14 (C(CH₃)₃); -4.95 ((CH₃)₂Si).

EM: (HR) m/e para C₁₇H₂₈SO₂Si: 324,1683 desviación 6,4 ppm.

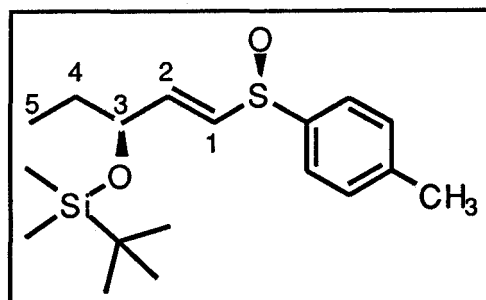
EM, m/e (abundancia relativa): M⁺ (3,1); 309 (6,1), 251 (3,6); 186 (8,5); 177 (23,8), 176 (32,3); 161 (8,5); 143 (17,1); 128 (16,4); 105 (4,8); 91 (17,1); 85 (28); 75 (100); 72 (6,7); 57 (5,4); 45 (6,7).

E-3-(S)-(terc-butil-dimetilsiloxi)-1-(S_R)-(p-tolilsulfinil)-1-penteno. (167b)

Parte Experimental

Peso obtenido: 158 mgr; rdto : 98%.

Aceite transparente; $[\alpha]_D^{25^\circ\text{C}} = +78^\circ$ (c=5,4,
CHCl₃).



Análisis. Calculado para C₁₈H₃₀SO₂Si: C,

63,99; H, 8,87

Encontrado: C, 63,56; H, 8,85.

¹H-RMN(200 MHz, CDCl₃): δ 7.45-7.25 (sistema AA'BB', 4H, Me-C₆H₄); 6.54 (dd, J_{1,2} 14.9 Hz, J_{2,3} 4.3 Hz, 1H, H₂); 6.32 (dd, J_{1,2} 14.9 Hz, J_{1,3} 1.4 Hz, 1H, H₁); 4.29-4.21 (m, 1H, H₃); 2.35 (s, 3H, CH₃Ar); 1.60-1.46 (m, 2H, H₄); 0.83 (t, J 7.3 Hz, 3H, H₅); 0.80 (s, 9H, (CH₃)₃C); -0.02 y -0.08 (2s, 6H, (CH₃)₂Si).

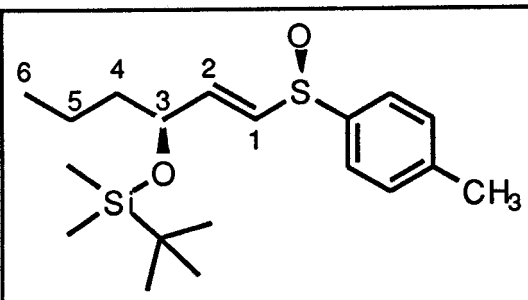
¹³C-RMN (50.29 MHz, CDCl₃): δ 141.45 (Cipso); 141.05 (C-2); 140.72 (Cpara); 133.95 (C-1); 129.92 (Cmeta); 124.73 (Corto); 72.48 (C-3); 30.22 (C-4); 25.67 ((CH₃)₃C); 21.32 (CH₃Ar); 18.06 (C(CH₃)₃); 9.06 (C-5); -4.78 y -5.03 ((CH₃)₂Si).

EM: (HR) m/e para C₁₈H₃₀SO₁Si: 322,1783 desviación 1,6 ppm.

EM, m/e (abundancia relativa): M⁺ (0,7); 322 (4,8); 309 (32,3); 307 (17,7); 297 (9,7); 294 (29,3); 288 (5,5); 204 (4,2); 198 (6,1); 191 (20,7); 190 (100); 175 (21,3); 157 (25); 143 (23); 124 (22); 99 (16,4); 91(19,5); 75 (54,3); 68 (6,7); 66 (5,5).

E-3-(S)-(terc-butyl-dimethylsiloxy)-1-(S_R)-(p-tolylsulfinil)-1-hexeno.(167c)

Peso obtenido: 134 mgr; rdto : 91%.
 Aceite transparente; $[\alpha]_D^{25^\circ\text{C}} = +64^\circ$
 (c=2,7, CHCl₃).



Análisis. Calculado para C₁₉H₃₂SO₂Si;

C, 64,77; H, 9,09

Encontrado: C, 64,66; H, 8,95.

¹H-RMN(200 MHz, CDCl₃): δ 7.43-7.23 (sistema AA'BB', 4H, Me-C₆H₄); 6.53 (dd, J_{1,2} 14.9 Hz, J_{2,3} 4.4 Hz, 1H, H₂); 6.29 (dd, J_{1,2} 14.9 Hz, J_{1,3} 1.4 Hz, 1H, H₁); 4.32-4.23 (m, 1H, H₃); 2.33 (s, 3H, CH₃Ar); 1.52-1.41 (m, 2H, H₄); 1.37-1.20 (m, 2H, H₅); 0.83 (t, J 7.2 Hz, 3H, H₆); 0.78 (s, 9H, (CH₃)₃C); -0.05 y -0.11 (2s, 6H, (CH₃)₂Si).

¹³C-RMN (50.29 MHz, CDCl₃): δ 141.75 (Cipso); 141.40 (C-2); 140.60 (Cpara); 133.61 (C-1); 129.87 (Cmeta); 124.65 (Corto); 71.28 (C-3); 53.30 (C-4); 39.55 (C-5); 25.61 ((CH₃)₃C); 21.26 (CH₃Ar); 18.02 (C(CH₃)₃); 13.93 (C-6); -4.79 y -5.10 ((CH₃)₂Si).

EM: (HR) m/e para C₁₉H₃₂SO₁Si: 336,1948 desviación 1,2 ppm.

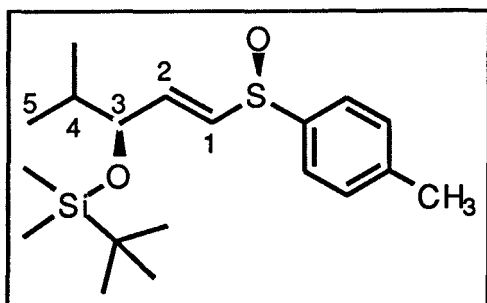
EM, m/e (abundancia relativa): M⁺ (3,6); 309 (10,4); 307 (6,1); 293 (23,2); 279 (3); 215 (9,7); 205 (22,5); 204 (57,3); 189 (7,9); 180 (3); 175 (13,4); 162 (7,9); 157 (6,7); 143 (6,1); 133 (7,3); 124 (32,9); 123 (26,2); 114 (4,8); 97 (14); 91 (30); 81 (63,4); 78 (23); 75 (100); 59 (14,6); 65 (7,3).

E-3-(S)-(terc-butil-dimetilsiloxi)-4-metil-1-(S_R)-(p-tolilsulfinil)-1-penteno. (167d)

Parte Experimental

Peso obtenido: 142 mgr; rdto : 96%.

Aceite transparente; $[\alpha]_D^{25^\circ} = +73^\circ$ (c=2,4,
CHCl₃).



Análisis. Calculado para C₁₉H₃₂SO₂Si: C, 64,77; H, 9,09

Encontrado: C, 64,36; H, 8,66.

¹H-RMN(200 MHz, CDCl₃): δ 7.46-7.25 (sistema AA'BB', 4H, Me-C₆H₄); 6.53 (dd, J_{1,2} 14.9 Hz, J_{2,3} 4.6 Hz, 1H, H₂); 6.31 (dd, J_{1,2} 14.9 Hz, J_{1,3} 1.4 Hz, 1H, H₁); 4.11-4.05 (m, 1H, H₃); 2.36 (s, 3H, CH₃Ar); 1.73 (dc, J 6.8 Hz, J 4.8 Hz, 1H, H₄); 0.85 y 0.80 (2d, J 6.8 Hz, 6H, H₅); 0.81 (s, 9H, (CH₃)₃C); -0.03 y -0.12 (2s, 6H, (CH₃)₂Si).

¹³C-RMN (50.29 MHz, CDCl₃): δ 141.48 (Cipso); 140.78 (Cpara); 139.28 (C-2); 134.90 (C-1); 129.95 (Cmeta); 124.75 (Corto); 76.12 (C-3); 34.50 (C-4); 25.71 ((CH₃)₃C); 21.36 (CH₃Ar); 18.07 (C(CH₃)₃); 17.49 (C-5); -4.67 y -5.06 ((CH₃)₂Si).

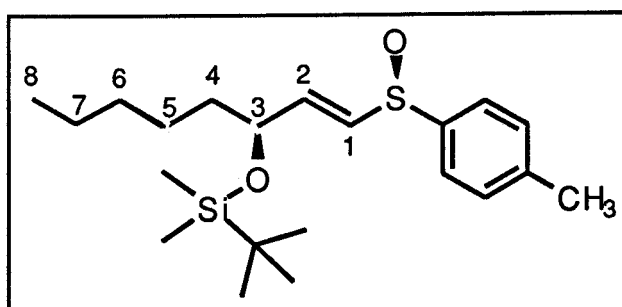
EM: (HR) m/e para C₁₉H₃₂SO₁Si 336,1948 desviación 1,6 ppm.

EM, m/e (abundancia relativa): M⁺ (2,6); 309 (7,9); 293 (12,2); 205 (7,3); 204 (44,5); 189 (14); 159 (6,1); 124 (14,6); 113 (4,9); 99 (4,3); 91 (11,6); 81 (19,5); 79 (13,4); 75 (100); 73 (7,3); 57 (12,8); 56 (14,6); 43 (12,8); 41 (19,5).

E-3-(S)-(terc-butil-dimetilsiloxi)-1-(S_R)-(p-tolilsulfinil)-1-octeno. (167e)

Peso obtenido: 110 mgr; rdto : 84%.

Aceite transparente; $[\alpha]_D^{25^\circ\text{C}} = +104^\circ$ ($c=2,7$, CHCl₃).



Análisis. Calculado para C₂₁H₃₆SO₂Si: C, 66,31; H, 9,47

Encontrado: C, 66,42; H, 9,41.

¹H-RMN(200 MHz, CDCl₃): δ 7.40-7.19 (sistema AA'BB', 4H, Me-C₆H₄); 6.49 (dd, $J_{1,2}$ 14.9 Hz, $J_{2,3}$ 4.4 Hz, 1H, H₂); 6.26 (dd, $J_{1,2}$ 14.9 Hz, $J_{1,3}$ 1.4 Hz, 1H, H₁); 4.26-4.22 (m, 1H, H₃); 2.29 (s, 3H, CH₃Ar); 1.46-1.39 (m, 2H, H₄); 1.25-1.11 (m, 6H, H₅, H₆ y H₇); 0.77 (t, J 7.5 Hz, 3H, H₈); 0.75 (s, 9H, (CH₃)₃C); -0.81 y -1.43 (2s, 6H, (CH₃)₂Si).

¹³C-RMN (50.29 MHz, CDCl₃): δ 141.82 (Cipso); 141.23 (C-2); 140.52 (Cpara); 133.57 (C-1); 129.76 (Cmeta); 124.56 (Corto); 71.36 (C-3); 37.26 (C-4); 31.48 (C-5); 25.52 ((CH₃)₃C); 24.23 (C-6); 22.30 (C-7); 21.15 (CH₃Ar); 17.89 (C(CH₃)₃); 13.74 (C-6); -4.89 y -5.18 ((CH₃)₂Si).

Método general para la acilación de los sililsulfóxidos

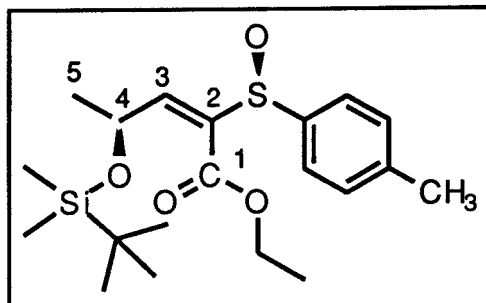
Se añade nBuLi (1,5 eq) sobre una disolución de diisopropilamina (1,5 eq) en THF anhídrico a 0 °C y se agita durante 30 min. A continuación la mezcla de reacción se enfria a -78 °C y se le adiciona una disolución del sililsulfóxido (1 eq) en THF manteniendo la mezcla en agitación durante 1 h a esa temperatura. Transcurrido este tiempo se añade cloroformiato de etilo (3 eq) y se agita a -78 °C durante 2 h. La mezcla se hidroliza con una disolución saturada de NH₄Cl y se extrae con CH₂Cl₂. La fase orgánica se lava con una

disolución saturada de NaCl y se seca sobre sulfato de sodio anhidro. El residuo obtenido trás la eliminación de disolvente se purifica por cromatografía en columna rápida.

E-4-(S)-(terc-butil-dimetilsiloxi)-2-(S_R)-(p-tolilsulfinil)-penten-2-oato de etilo. (168a)

Peso obtenido: 119 mg; rdto : 98%.

Aceite transparente; $[\alpha]_D^{25^\circ\text{C}} = +156^\circ$ (c=2,7, CHCl₃).



¹H-RMN(200 MHz, CDCl₃): δ 7.51-7.19 (sistema AA'BB', 4H, Me-C₆H₄); 6.98 (d, *J* 8.7 Hz, 1H, H₃); 4.98 (m, 1H, H₄); 4.08 (c, *J* 7.1 Hz, 2H, CH₂O); 2.33 (s, 3H, CH₃Ar); 1.16 (t, *J* 7.1 Hz, 3H, CH₃CH₂O); 1.15 (d, *J* 6.5 Hz, 3H, H₅); 0.85 (s, 9H, (CH₃)₃C); -0.02 y -0.11 (2s, 6H, (CH₃)₂Si).

¹³C-RMN (50.29 MHz, CDCl₃): δ 162 (CO); 148.05 (C-3); 142.05 (Cipso); 140.24 (Cpara); 136.18 (C-2); 129.58 (Cmeta); 124.76 (Corto); 73.04 (C-4); 61.25 (CH₂O); 25.73 ((CH₃)₃C); 21.37 (CH₃Ar); 18.47 (C(CH₃)₃); 17.40 (C-5); 13.87 (CH₃CH₂O); -4.41 y -5.08 ((CH₃)₂Si).

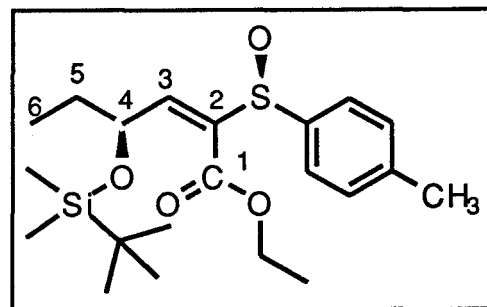
EM: (HR) m/e para C₁₉H₂₉SO₃Si: 365,1593 desviación 3,6 ppm.

EM, m/e (abundancia relativa): M⁺ (100); 351 (67); 304 (2,4); 251 (9,1); 227 (9,7); 205 (18,3); 199 (7,3); 161 (6,1); 149 (7,9); 145 (9,7); 123 (11); 111 (6,7); 91 (17); 79 (15,2); 75 (80,5); 73 (72); 59 (7,9); 41 (11).

E-4-(S)-(terc-butil-dimetilsiloxi)-2-(S_R)-(p-tolilsulfinil)-hexen-2-oato de etilo. (168b)

Peso obtenido: 121 mg; rdto : 83%.

Aceite transparente; $[\alpha]_D^{25^\circ\text{C}} = +140^\circ$
(c=2,4, CHCl₃).



¹H-RMN(200 MHz, CDCl₃): δ 7.49-7.17

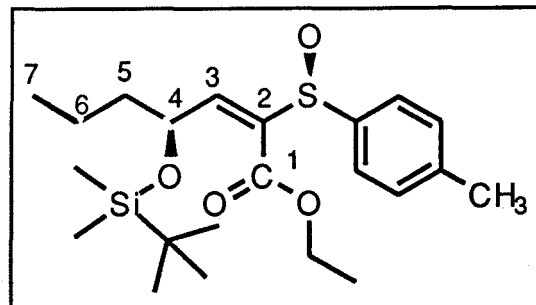
(sistema AA'BB', 4H, Me-C₆H₄); 6.99 (d, *J* 8.2 Hz, 1H, H₃); 5.18-5.08 (m, 1H, H₄); 4.03 (c, *J* 7.2 Hz, 2H CH₂O); 2.31 (s, 3H, CH₃Ar); 1.80-1.60 (m, 2H, H₅); 1.13 (t, *J* 7.2 Hz, 3H, CH₃CH₂O); 0.86 (t, *J* 7.3 Hz, 3H, H₆); 0.83 (s, 9H, (CH₃)₃C); -0.03 y -0.09 (2s, 6H, (CH₃)₂Si).

¹³C-RMN (50.29 MHz, CDCl₃): δ 161.94 (CO); 141.97 (Cipso); 141.66 (C-3); 140.33 (Cpara); 135.37 (C-2); 129.51 (Cmeta); 125.91 (Corto); 70.17 (C-4); 61.17 (CH₂O); 30.37 (C-5); 25.64 ((CH₃)₃C); 21.27 (CH₃Ar); 17.93 (C(CH₃)₃); 13.70 (CH₃CH₂O); 9.56 (C-6); -4.62 y -5.07 ((CH₃)₂Si).

E-4-(S)-(terc-butil-dimetilsiloxi)-2-(S_R)-(p-tolilsulfinil)-hepten-2-oato de etilo. (168c)

Peso obtenido: 101 mg; rdto : 93%.

Aceite transparente; $[\alpha]_D^{25^\circ\text{C}} = +124^\circ$
(c=7,1, CHCl₃).



¹H-RMN(200 MHz, CDCl₃): δ 7.52-

7.19 (sistema AA'BB', 4H, Me-C₆H₄); 7.02 (d, *J* 8.3 Hz, 1H, H₃); 5.28-5.18 (m, 1H, H₄); 4.08 (c, *J* 7.1 Hz, 2H, CH₂O); 2.33 (s, 3H, CH₃Ar); 1.43-1.26 (

m, 2H, H₅); 1,16 (t, *J* = 7.1 Hz, 3H, CH₃CH₂O); 0.90-0.83 (m, 12H, H₆, H₇ y (CH₃)₃C); -0.02 y -0.07 (2s, 6H, (CH₃)₂Si).

¹³C-RMN (50.29 MHz, CDCl₃): δ 162.04 (CO); 149.72 (C-3); 142.04 (Cipso); 140.38 (Cpara); 135.06 (C-2); 129.58 (Cmeta); 125.99 (Corto); 68.78 (C-4); 61.27 (CH₂O); 39.52 (C-5); 25.72 ((CH₃)₃C); 21.37 (CH₃Ar); 18.36 (C-6); 17.99 (C(CH₃)₃); 12.72 (C-7); -4.50 y -5.0 ((CH₃)₂Si).

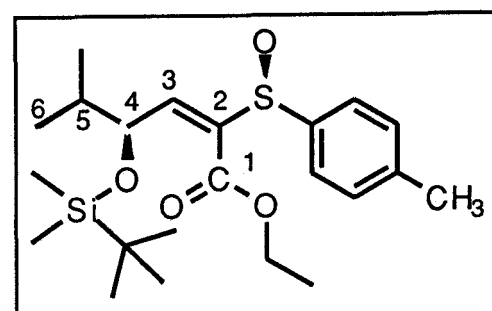
EM: (HR) m/e para C₂₂H₃₆SO₄Si: 424.1789 desviación 6,1 ppm.

EM, m/e (abundancia relativa): M⁺ (4,2); 398 (6,1); 380 (7,3); 379 (57,3); 367 (19,5); 365 (47,5); 362 (7,9); 353 (14); 351 (100); 323 (9,7); 321 (11); 308 (7,3); 305 (7,3); 279 (164); 255 (14); 230 (8,5); 227 (29); 205 (12); 203 (11); 199 (22); 177 (6,7); 174 (10,3); 161 (13,4); 145 (8,5); 141 (9,1); 124 (24,4); 105 (6,7); 91 (22); 79 (7,9); 75 (84); 73 (43,3); 58 (7,9); 41 (4,8).

E-4-(S)-(terc-butil-dimetilsiloxi)-2-(S_R)-(p-tolilsulfinil)-5-metil-hexen-2-oato de etilo. (168d)

Peso obtenido: 463 mg; rdto : 89%.

Aceite transparente; $[\alpha]_D^{25^\circ\text{C}} = +97^\circ$ (c=2,7, CHCl₃).



¹H-RMN(200 MHz, CDCl₃): δ 7.51-

7.20 (sistema AA'BB', 4H, Me-C₆H₄); 7.09 (d, *J* = 7.8 Hz, 1H, H₃); 5.47-5.33 (m, 1H, H₄); 4.08 (c, *J* = 7.1 Hz, 2H, CH₂O); 2.34 (s, 3H, CH₃Ar); 1.27 (m, 1H, H₅); 1.15 (t, *J* = 7.1 Hz, 3H, CH₃CH₂O); 0.88-0.80 (m, 12H, H₆ y (CH₃)₃C); -0.05 y -0.3 (2s, 6H, (CH₃)₂Si).

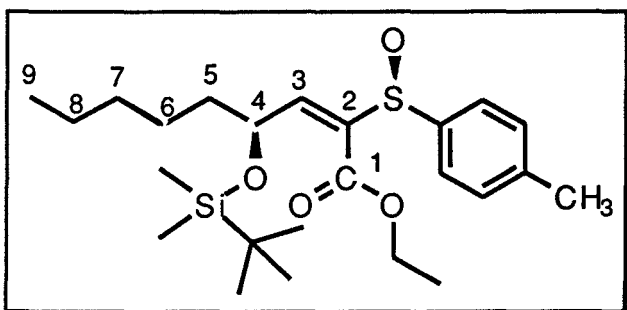
¹³C-RMN (50.29 MHz, CDCl₃): δ 161 (CO); 150.74 (C-3); 142.11 (Cipso); 140.44 (Cpara); 134.54 (C-2); 129.62 (Cmeta); 126.06 (Corto); 65.59 (C-4); 61.29 (CH₂O); 25.71 ((CH₃)₃C); 23.44 (C-5); 21.38 (CH₃Ar); 18.02 (C(CH₃)₃); 13.82 (C-6); -4.74 y -4.91 ((CH₃)₂Si).

EM: (HR) m/e para C₂₂H₃₆SO₄Si: 424.1789 desviación 4,3 ppm.

EM, m/e (abundancia relativa): M⁺ (6,7); 379 (4,8); 366 (6,7); 350 (6,1); 340 (7,3); 339 (27,4); 335 (6,7); 325 (15,2); 324 (31,7); 323 (81,7); 310 (4,8); 295 (15); 293 (17,7); 277 (5,4); 237 (8,5); 209 (4,8); 205 (4,8); 200 (18,3); 199 (19,5); 175 (35,4); 171 (53); 160 (6,1); 149 (17); 143 (9,7); 126 (25); 124 (20); 117 (43,3); 103 (17); 91 (25,6); 86 (10,3); 75 (100); 73 (66,4); 59 (10,3); 41 (12,8).

E-4-(S)-(terc-butil-dimetilsiloxi)-2-(S_R)-(p-tolilsulfinil)-nonen-2-oato de etilo. (168e)

Peso obtenido: 398 mg; rdto : 92%.
Aceite transparente; [α]_D^{25°C} = +108° (c=2,7, CHCl₃).



¹H-RMN(200 MHz, CDCl₃): δ 7.51-7.19 (sistema AA'BB', 4H, Me-C₆H₄); 7.02 (d, *J* 8.3 Hz, 1H, H₃); 5.26-5.17 (m, 1H, H₄); 4.08 (c, *J* 7.1 Hz, 2H, CH₂O); 2.33 (s, 3H, CH₃Ar); 1.83-1.61 (m, 2H, H₅); 1.40-1.24 (m, 6H, H₆, H₇ y H₈); 1.17 (t, *J* 7.1 Hz, 3H, CH₃CH₂O); 0.86-0.80 (m, 12H, H₉ y (CH₃)₃C); -0.017 y -0.07 (2s, 6H, (CH₃)₂Si).

¹³C-RMN (50.29 MHz, CDCl₃): δ 162.05 (CO); 149.67 (C-3); 142.04 (Cipso); 140.39 (Cpara); 135.08 (C-2); 129.58 (Cmeta); 125.99 (Corto); 68.99 (C-4); 61.26 (CH₂O); 37.34 (C-5); 31.52 (C-6); 25.72 ((CH₃)₃C); 24.74 (C-7); 22.48 (C-8); 21.38 (CH₃Ar); 17.99 (C(CH₃)₃); 13.87 (C-9); -4.49 y -4.99 ((CH₃)₂Si).

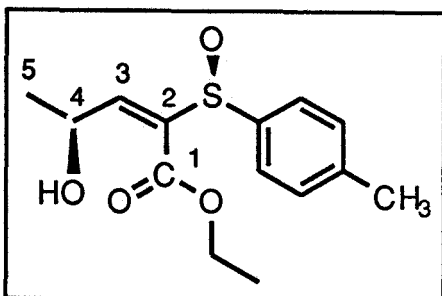
EM: (HR) m/e para C₂₄H₄₀SO₃Si: 436,2479 desviación 0,9 ppm.

EM, m/e (abundancia relativa): M⁺ (7,4); 379 (56,1); 365 (18,3); 354 (3); 336 (3); 304 (12,8); 259 (5,5); 255 (11); 239 (2,4); 227 (6,7); 215 (2,4); 205 (6,1); 187 (4,2); 167 (4,8); 161 (4,8); 149 (5,4); 124 (13,4); 123 (12,2); 117 (4,8); 91 (15,2); 79 (6,7); 75 (100); 73 (29,2); 57 (7,3); 41 (6,7).

Procedimiento general para la desililación de los carboxisulfóxidos

A una disolución del carboxisulfóxido (1 eq) en THF anhidro enfriada a 0 °C se le adiciona el complejo HF-piridina (1,3 μL/mmol) y se agita 30 min a 0 °C. Transcurrido ese tiempo se mantiene la agitación de la mezcla a temperatura ambiente y se adiciona la misma cantidad del complejo HF-piridina. La mezcla se agita durante 2 h. A continuación se diluyen en eter etílico y se hidroliza con una disolución saturada de HCO₃Na y se extrae con eter (4x). Los extractos orgánicos se lavan con una disolución saturada de NaCl y se secan sobre sulfato sódico anhidro. La eliminación del eter por evaporación a presión reducida conduce a un residuo que se lava con hexano dando lugar a un sólido.

E-4-(S)-hidroxi-2-(S_R)-(p-tolilsulfinil)-penten-2-oato de etilo.(170a)



Peso obtenido: 37 mg; rdto : 86%.
Sólido blanco p.f. 86-88 °C; $[\alpha]_D^{25^\circ\text{C}} = +173^\circ$
(c=1,6, CHCl₃).

¹H-RMN(200 MHz, CDCl₃): δ 7.54-7.18
(sistema AA'BB', 4H, Me-C₆H₄); 7.14 (d, *J* 7.1 Hz, 1H, H₃); 5.16 (m, 1H, H₄); 4.11 (c, *J* 7.1 Hz, 2H, CH₂O); 3.82 (ancha, 1H, OH); 2.36 (s, 3H, CH₃Ar); 1.15 (t, *J* 7.1 Hz, 3H, CH₃CH₂O); 0.88 (d, *J* 6.8 Hz, 3H, H₅).

¹³C-RMN (50.29 MHz, CDCl₃): δ 162.57 (CO); 149.61 (C-3); 142.57 (Cipso); 140.82 (Cpara); 136.39 (C-2); 129.93 (Cmeta); 126.31 (Corto); 64.53 (C-4); 61.86 (CH₂O); 21.47 (CH₃Ar); 17.56 (C-5); 13.81 (CH₃CH₂O).

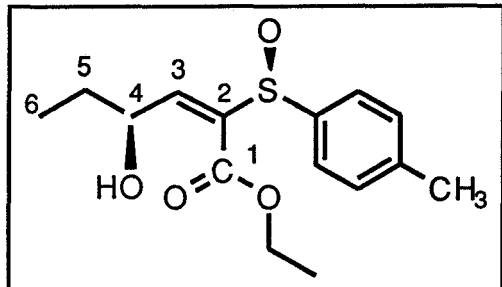
EM: (HR) m/e para C₁₄H₁₈SO₄: 282,0925 desviación 0,07 ppm.

EM, m/e (abundancia relativa): M⁺ (9,7); 278 (5,6); 264 (12,2); 247 (7,3); 239 (55,3); 236 (11,4); 226 (44,7); 219 (13,8); 210 (8,1); 191 (17); 188 (40,1); 181 (11,4); 169 (10,5); 149 (18,7); 145 (10,5); 140 (88,6); 139 (100); 131 (16,2); 124 (69,1); 123 (52,8); 117 (17); 108 (23,6); 99 (46,3); 92 (64,2); 91 (91); 89 (14,6); 79 (44); 77 (25,2); 71 (35); 69 (50,4); 65 (31); 52 (13,8); 45 (39);

E-4-(S)-hidroxi-2-(S_R)-(p-tolylsulfinil)-hexen-2-oato de etilo. (170b)

Peso obtenido: 62 mg; rdto : 78%.
Sólido blanco p.f. 91-93 °C; $[\alpha]_D^{25^\circ\text{C}} = +200^\circ$
(c=1,1, CHCl₃).

¹H-RMN(200 MHz, CDCl₃): δ 7.52-7.22
(sistema AA'BB', 4H, Me-C₆H₄); 7.13 (d, *J*



7.2 Hz, 1H, H₃); 4.88-4.78 (m, 1H, H₄); 4.09 (c, *J* 7.1 Hz, 2H CH₂O); 3.15 (ancha, 1H, OH); 2.35 (s, 3H, CH₃Ar); 1.78-1.64 (m, 2H, H₅); 1.14 (t, *J* 7.1 Hz, 3H, CH₃CH₂O); 0.98 (t, *J* 7.4 Hz, 3H, H₆).

¹³C-RMN (50.29 MHz, CDCl₃): δ 161.94 (CO); 148.55 (C-3); 142.55 (Cipso); 139.84 (Cpara); 138.16 (C-2); 129.91 (Cmeta); 126.32 (Corto); 69.50 (C-4); 61.82 (CH₂O); 29.58 (C-5); 21.46 (CH₃Ar); 13.79 (CH₃CH₂O); 9.56 (C-6).

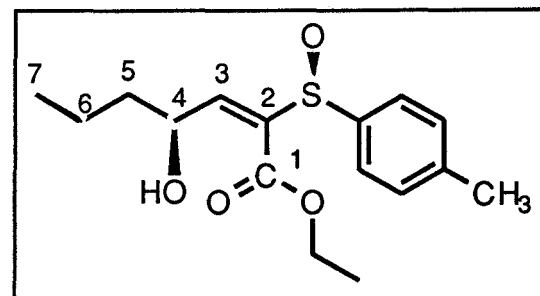
EM: (HR) m/e para C₁₅H₂₀SO₄ 296,1082 desviación 3.2 ppm.

EM, m/e (abundancia relativa): M⁺ (3,1); 278 (8,2); 267 (8,2); 249 (12,3); 246 (6,5); 240 (10,6); 239 (59); 233 (10,6); 226 (15,6); 205 (8,2); 202 (28,6); 193 (9); 178 (9); 173 (14); 168 (5,7); 149 (15,6); 145 (11,5); 140 (68,8); 139 (100); 131 (17,2); 128 (27,8); 124 (73,8); 123 (47,5); 119 (18,8); 117 (20,5); 111 (18,8); 99 (32,8); 92 (52,4); 91 (91); 83 (15,6); 77 (18,8); 71 (27); 69 (52,5); 65 (24,6); 59 (19,6); 29,5); 45 (11,4).

E-4-(S)-hidroxi-2-(S_R)-(p-tolilsulfinil)-hepten-2-oato de etilo. (170c)

Peso obtenido: 63 mg, (83% rdto).

Sólido blanco p.f. 95-97 °C; [α]_D^{25°C} = +149° (c=2,1, CHCl₃).



¹H-RMN(200 MHz, CDCl₃): δ 7.52-

7.21 (sistema AA'BB', 4H, Me-C₆H₄); 7.13 (d, *J* 7.3 Hz, 1H, H₃); 4.98-4.88 (m, 1H, H₄); 4.08 (c, *J* 7.1 Hz, 2H, CH₂O); 3.03 (ancha, 1H, OH); 2.34 (s,

3H, CH₃Ar); 1.74-1.25 (m, 2H, H₅ y H₆); 1,13 (t, *J* 7.1 Hz, 3H, CH₃CH₂O); 0.92 (t, *J* 7.1 Hz, 3H, H₇).

¹³C-RMN (50.29 MHz, CDCl₃): δ 162.54 (CO); 148.96 (C-3); 142.50 (Cipso); 139.85 (Cpara); 136.43 (C-2); 129.88 (Cmeta); 126.32 (Corto); 67.97 (C-4); 61.76 (CH₂O); 38.59 (C-5); 21.43 (CH₃Ar); 18.45 (C-6); 13.81 (CH₃CH₂O); 13.76 (C-7).

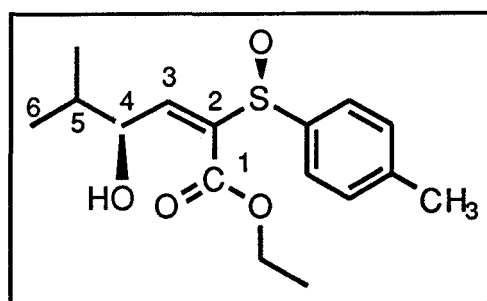
EM: (HR) m/e para C₁₆H₂₂SO₄: 310,1421 desviación 3.6 ppm.

EM, m/e (abundancia relativa): M⁺ (5,5); 292 (10,3); 281 (15); 268 (10,3); 263 (9,5); 249 (14,3); 248 (16,6); 247 (16,6); 240 (17,5); 239 (100); 221 (29,4); 216 (34); 205 (11); 193 (11); 178 (16,6); 173 (18,2); 149 (19); 145 (17,4); 140 (87,3); 139 (85,7); 127 (39,7); 125 (31); 124 (69,8); 123 (55,5); 119 (17,5); 117 (20,6); 108 (15,8); 99 (62,7); 97 (38); 92 (69); 93; 82 (22,2); 77 (17,4); 71 (48); 69 (51,6); 65 (23,8); 55 (19,8); 45 (11,9).

E-4-(S)-hidroxi-2-(S_R)-(p-tolilsulfinil)-5-metil-hexen-2-oato de etilo. (170d)

Peso obtenido: 171 mg (73 % rdto).

Sólido blanco p.f. 111-113 °C; [α]_D^{25°C} = +108° (c=4,4, CHCl₃).



¹H-RMN (200 MHz, CDCl₃): δ 7.50-7.20 (sistema AA'BB', 4H, Me-C₆H₄); 7.14 (d, *J* 7.6 Hz, 1H, H₃); 6.62 (dd, *J* 7.6 Hz, J 6.2 Hz, 1H, H₄); 4.06 (c, *J* 7.1 Hz, 2H, CH₂O); 3.67 (ancha, 1H, OH); 2.33 (s, 3H, CH₃Ar); 1.33-1.19 (m, 1H, H₅); 1.12 (t, *J* 7.1 Hz, 3H, CH₃CH₂O); 0.98 y 0.93 (2d, *J* 6.8 Hz, 6H, H₆).

Parte Experimental

^{13}C -RMN (50.29 MHz, CDCl_3): δ 162.65 (CO); 147.48 (C-3); 142.51 (Cipso); 139.73 (Cpara); 138.10 (C-2); 129.87 (Cmeta); 126.33 (Corto); 72.83 (C-4); 61.75 (CH_2O); 22.52 (C-5); 21.40 (CH_3Ar); 14.22 (C-6); 13.74 ($\text{CH}_3\text{CH}_2\text{O}$).

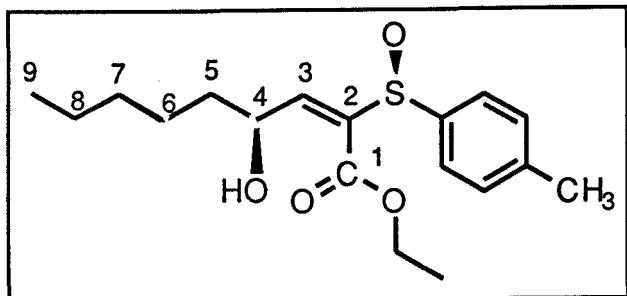
EM: (HR) m/e para $\text{C}_{16}\text{H}_{22}\text{SO}_4$: 310,1421 desviación 0.8 ppm.

EM, m/e (abundancia relativa): M^+ (5,5); 292 (5,5); 281 (52); 267 (74); 264 (13,4); 251 (13,4); 249 (18,9); 248 (14,9); 239 (40); 221 (28,3); 216 (43,3); 205 (69,3); 193 (13,4); 177 (14,2); 174 (47,2); 173 (60,6); 171 (15,7); 149 (29,9); 145 (20,5); 140 (88,2); 139 (92,1); 127 (36,2); 124 (77); 123 (84,2); 119 (24,4); 117 (17,3); 108 (16,5); 99 (33); 92 (80,3); 91 (100); 82 (18,9); 78 (18,9); 71 (26,7); 69 (54,3); 65 (26); 55 (17,3), 45 (17,3).

E-4-(S)-hidroxi-2-(S_R)-(p-tolilsulfinil)-nonen-2-oato de etilo.
(170e)

Peso obtenido: 114 mg (76% rdto).

Sólido blanco p.f. 66-68 °C;
[α]_D^{25°C} = +206° (c=3,7, CHCl_3).



^1H -RMN(200 MHz, CDCl_3): δ

7.50-7.18 (sistema AA'BB', 4H, Me-C₆H₄); 7.13 (d, J 7.4 Hz, 1H, H₃); 4.97-4.87 (m, 1H, H₄); 4.05 (c, J 7.1 Hz, 2H, CH_2O); 3.57 (ancha, 1H, OH); 2.31 (s, 3H, CH_3Ar); 1.69-1.55 (m, 2H, H₅); 1.43-1.20 (m, 6H, H₆, H₇ y H₈); 1.14 (t, J 7.1 Hz, 3H, $\text{CH}_3\text{CH}_2\text{O}$); 0.83 (t, J 6.5 Hz, 3H, H₉).

^{13}C -RMN (50.29 MHz, CDCl_3): δ 162.38 (CO); 149.25 (C-3); 142.39 (Cipso); 139.75 (Cpara); 136.88 (C-2); 129.79 (Cmeta); 126.30 (Corto); 68.22

(C-4); 61.62 (CH₂O); 36.49 (C-5); 31.52 (C-6); 24.84 (C-7); 22.44 (C-8); 21.35 (CH₃Ar); 13.89 (CH₃CH₂O); 13.71 (C-9).

5. RESUMEN Y CONCLUSIONES

PRIMERA:

Se ha desarrollado un método de preparación en grandes cantidades de los sulfóxidos (+)-(R)-metil *p*-tolil sulfóxido **21-(R)** y (-)-(S)-metil *p*-tolil sulfóxido **21-(S)** ópticamente puros. El procedimiento es una modificación del método, para la obtención de sulfóxidos, basado en la síntesis asimétrica de los sulfinatos de Diaceton-*D*-glucosa, previamente desarrollado en nuestro grupo de investigación. En esta modificación se separa Diaceton-*D*-glucosa de cada uno de los sulfóxidos por su conversión a un derivado monoacetálico. El proceso se lleva a cabo en un tiempo considerablemente más corto que el empleado en el clásico método de Andersen.

SEGUNDA

Se ha realizado con éxito la aplicación del método de la Diaceton-*D*-glucosa a la obtención de las series enantioméricas de los sulfóxidos *p*-clorofenil metil sulfóxido **29-(R)** y **29-(S)**, metil *p*-metoxifenil sulfóxido **33-(R)** y **33-(S)** y metil (1-naftil) sulfóxido **36-(R)** y **36-(S)**. Estos sulfóxidos se han obtenido de forma enantioméricamente pura y con buenos rendimientos químicos, se han caracterizado por sus poderes rotatorios y por sus características espectroscópicas.

TERCERA

Se ha llevado a cabo la síntesis de los dos posibles isómeros en el azufre de los ésteres metílicos de la N-(benciloxicarbonil)-S-Oxo-S-metil-*L*-cisteina **41-(R)** y **41-(S)** diasteroméricos y de los ésteres metílicos de la N-(benciloxicarbonil)-S-Oxo-S-propil-*L*-cisteina **47-(R)** y **47-(S)**. La síntesis de estos compuestos se ha efectuado a partir de los sulfinatos de Diaceton-*D*-

5. Resumen y Conclusiones

glucosa correspondiente y ha confirmado la utilidad del método de la Diaceton-*D*-glucosa como un método extremadamente útil para la síntesis de sulfóxidos polifuncionalizados.

CUARTA

Partiendo de los sulfóxidos anteriormente sintetizados se ha llevado a cabo la síntesis estereoselectiva de (-)-N-(benciloxicarbonil)-O-(metoximetil)-(S)-S-oxo-S-metil-L-cisteinol **50** y (+)-N-(benciloxicarbonil)-O-(metoximetil)-(R)-S-oxo-S-metil-L-cisteinol **52** que son, respectivamente, el enantiómero y diastereómero del sintón quiral del antibiótico esparomicina. Por otro lado, la síntesis de estos compuesto ha servido para confirmar de la esteroquímica en el azufre de los sulfóxidos utilizados como productos de partida.

QUINTA

Se ha puesto a punto un procedimiento para la síntesis del (*S,S*)-bis-(*p*-tolilsulfinil) metano **99**, por condensación entre el carbanión de litio del (+)-(R)-metil-*p*-tolilsulfóxido **21-(R)** y el (-)-(S)-*p*-toluenosulfinato de mentilo **2-(S)** o (-)-(S)-*p*-toluenosulfinato de Diaceton-*D*-glucosa **25-(S)**. Con este procedimiento, que se basa en el método descrito por Kuneida, se mejora considerablemente el rendimiento químico y la estereoselectividad del proceso.

SEXTA

La extensión de este procedimiento a distintos sulfinatos y diferentes carbaniones de litio derivados de metilsulfóxidos ha permitido la síntesis estereoselectiva del (*S,S*)-(*p*-clorofenilsulfinil)-(*p*-tolilsulfinil) metano (**102**), el (*R,S*)-(*p*-clorofenilsulfinil)-(*p*-tolilsulfinil)-metano (**104**), el (*S,R*)-(*p*-clorofenilsulfinil)-(*p*-tolilsulfinil) metano (**105**), (*S,R*)-(*p*-clorofenilsulfinil)-(*p*-metoxifenilsulfinil)-metano (**106**), (*S,S*)-(*p*-clorofenilsulfinil)-(*p*-

5. Resumen y Conclusiones

metoxifenilsulfinil)-metano (**103**), (*S,S*)-Bis 1-naftilsulfinilmethano **107**, (*S,S*)-Bis 2-metoxi-1-naftilsulfinilmethano (**108**), (*S,S*)-(1-naftilsulfinil)-(p-tolilsulfinil) metano (**109**) y (*R,S*)-(1-naftilsulfinil)-(p-tolilsulfinil) metano (**110**) con buenos rendimientos químicos.

SEPTIMA

El (*S,S*)-bis-(*p*-tolilsulfinil) metano **99** se ha hecho reaccionar con diferentes aldehido enolizables en la condensación Knoevenagel hidroxilativa (proceso SPAC). Como resultado del proceso se han obtenido en un solo paso los γ -hidroxisulfóxidos- α,β -insaturados **101**. En todos los casos los productos presentan la configuración *E* en el doble enlace, obteniéndose los dos posibles isómeros en el carbono hidroxílico. Los de bis-sulfóxidos restantes **102-110**, se han utilizado para el estudio de la influencia de la quiralidad del azufre sulfinílico sobre la estereoquímica del proceso SPAC, así como para estudiar la distinta capacidad migratoria de los diferentes restos aromáticos en la transposición [2,3] sigmatrópica sulfóxido-sulfenato.

OCTAVA

Los resultados estero- y regioquímicos, obtenidos en el condensación Knoevenagel hidroxilativa (proceso SPAC), han mostrado que la etapa de protonación del bis-sulfóxido $\delta-\gamma$ -insaturado **XXVI** transcurre con escasa o nula selectividad resultando una transferencia de quiralidad nula desde el azufre sulfinílico en la etapa de transposición sigmatrópica posterior. Por otro lado, la capacidad migratoria de los diferentes restos sulfinílicos no parece depender de las propiedades donadoras o atractoras de electrones de los sustituyentes aromáticos, sino de la interacción $\pi-\pi$ electrónica entre los restos aromáticos, que resulta de difícil evaluación.

NOVENA

Se ha puesto a punto un método para la resolución enzimática de la mezcla distereomérica de los γ -hidroxisulfoxidos α,β -insaturados **101** utilizando la lipasa PS (Amano), que permite obtener los acetatos de *E*-(*R*)-1-(*p*-tolilsulfinil)-1-alquen-3-ilo **130** y los alcoholes *E*-(*S*)-1-(*p*-tolilsulfinil)-1-alquen-3-ol **129** de forma ópticamente pura y con buenos rendimientos químicos.

DECIMA

La utilización de los acetatos de *E*-(*R*)-1-(*p*-tolilsulfinil)-1-alquen-3-ilo **130** en reacciones de desplazamiento nucleofílico catalizadas por complejos de paladio (0) ha permitido la obtención de los 2-metiloxicarbonil-3-(*S*)-alquil-5-(*S_R*)-(*p*-tolilsulfinil)-4-pentenoato de metilo **146** con una alta esteroselectividad y buenos rendimientos químicos.

UNDECIMA

Los intentos de extensión de esta reacción de desplazamiento nucleófilo catalizada por paladio a los acetatos de configuración (*S*), *E*-(*S*)-1-(*p*-tolilsulfinil)-1-alquen-3-ilo **147** resultaron infructuosos, excepto en el caso del derivado **146a** (R=Me), encontrándose una marcada influencia de la esteroquímica del azufre sulfinílico y del tamaño del resto alquílico sobre el proceso de desplazamiento nucleofílico.

DUODECIMA

La alta selectividad del proceso de desplazamiento nucleofílico catalizado por paladio se ha utilizado para desarrollar un método de resolución de la mezcla diastereomérica de los alcoholes *E*-1-(*p*-tolilsulfinil)-1-penten-3-ol **101** alternativo a la resolución enzimática de los mismos. Dicho método consiste en hacer reaccionar la mezcla de acetatos **130b** y **147b** con dimetil

5. Resumen y Conclusiones

malonato sódico en presencia de tetrakis(trifenilfosfina) paladio (0), obteniéndose el 2-metoxicarbonil-3-(*S*)-etil-5-(*S_R*)-(p-tolilsulfinil)-4-pentenoato de metilo **146b**, como producto de reacción, y recuperándose el acetato *E*-(*S*)-1-(p-tolilsulfinil)-1-penten-3-ilo **147b**.de configuración (*S*). Ambos productos se obtuvieron con buenos rendimientos y enantiómericamente puros.

DECIMOTERCERA

Se ha puesto a punto un método para la obtención de *E*-4-(*S*)-(terc-butildimetsiloxi)-2-(*S_R*)-(p-tolilsulfinil)-alquen-2-oato de etilo **168** con buenos rendimientos químicos a partir de los hidroxisulfóxidos protegidos como éteres de sililo **167**. El método, que se basa en el procedimiento descrito por Posner para la litiación de sulfóxidos alílicos, consiste en hacer reaccionar el carbanión α del sulfóxido, generado por tratamiento de los éteres de sililo **167** con LDA, con clorocarbonato de etilo.

DECIMOCUARTA

Se han obtenido los *E*-4-(*S*)-hidroxi-2-(*S_R*)-(p-tolilsulfinil)-alquen-2-oato de etilo **170** ópticamente puros, por tratamiento de los derivados **168** con el complejo HF-piridina.

DECIMOQUINTA

Todos los intentos de lactonización de los γ -hidroxiésteres **170** han resultado infructuosos, resultando en la descomposición de los productos de partida. La alta labilidad química mostrada por los γ -hidroxiésteres **170** nos hace pensar que estos derivados no constituyen sustratos idoneos para la síntesis de las lactonas α,β -insaturadas **127**.

6. BIBLIOGRAFIA

- 1.- a) Walker, A.J. *Tetrahedron Asymm.*, **1992**, 3, 961; b) Solladie, G. *Synthesis*, **1981**, 185; c) Carreño, M.C. *Chem. Rev.*, **1995**, 95, 1717; d) Ogura, K. "Comprehensive Organic Synthesis", Trost, B.M., Fleming, I. Eds., Academic Press: Oxford **1991**; vol 1, pag 505; e) Patai, S., Rappaport, Z., Stirling, C. Eds. "The Chemistry of Sulfones and sulfoxides.", John Wiley & Sons, Chichester, England **1988**; f) Mickolajazy, K.M., Drabowics, J., "Topic in Stereochemistry", **1982**, 13, 333; e) Solladiè, G. "Comprehensive Organic Synthesis", Trost, B.M., Fleming, I. Eds., Academic Press: Oxford **1991**; vol 6, pág. 133.
- 2.- a) Andersen, K.K. *Tetrahedron Lett.*, **1962**, 3, 93; b) Andersen, K.K. Galfield, W., Papanikolau, N.E., Foley, J.W., Perkins, R.I. *J. Am. Chem. Soc.*, **1964**, 86, 5637; c) Andersen, K.K. *J. Org. Chem.*, **1964**, 29, 1953
- 3.- a) Mislow, K., Green, M.M., Laur, P., Melillo, J.T., Simmons, T., Teinay, A.L. *J. Am. Chem. Soc.*, **1965**, 87, 1958; b) Bickart, P., Axelrod, M., Jacobus, M., Mislow, K. *J. Am. Chem. Soc.*, **1967**, 89, 697
- 4.- Solladiè, G., Hutt, J., Greudin, A. *Synthesis*, **1987**, 173
- 5.- Whitesell, J.K., Wong, M.S. *J. Org. Chem.*, **1991**, 56, 4552
- 6.- Whitesell, J.K., Wong, M.S. *J. Org. Chem.*, **1994**, 59, 597
- 7.- a) Llera, J.M., Fernández, I., Alcudia, F. *Tetrahedron Lett.*, **1991**, 32, 7290; b) Fernández, I., Khiar, N., Llera, J.M., Alcudia, F. *J. Org. Chem.*, **1992**, 57, 6789

- 8.- Evans, D.A., Faul, M.M., Colombo, L., Bisaha, J.J., Clardy, J., Cherry, D. *J. Am. Chem. Soc.*, **1992**, *114*, 5977
- 9.- García Ruano, J.L., Alonso, R., Zarzuelo, M.M., Noheda, P. *Tetrahedron Asymm.*, **1995**, *6*, 1133
- 10.- Rebiere, F., Ricard, S.L., Kagan, H.B. *J. Org. Chem.*, **1991**, *56*, 5991
- 11.- a) Benson, S.C., Snyder, J.K. *Tetrahedron Lett.*, **1991**, *32*, 5885; b) Wull, F., Lee, T.B.K. *J. Am. Chem. Soc.*, **1973**, *94*, 6349.
- 12.- a) Pitchen, P., Duñach, E., Deshmukh, M.N., Kagan, H.B. *J. Am. Chem. Soc.*, **1984**, *106*, 8188; b) Zhao, S.M., Samuel, O., Kagan, H.B. *Tetrahedron*, **1987**, *43*, 5135;
- 13.- Di Furia, F., Modena, G., Sereglia, R. *Synthesis*, **1984**, 325.
- 14.- Brunel, J.M., Diter, P., Duetsch, M., Kagan, H.B. *J. Org. Chem.* **1995**, *60*, 8086.
- 15.- Komatsu, N., Nishibayashi, Y., Jugita, T., Uemura. *Tetrahedron Lett.*, **1992**, *33*, 5391.
- 16.- Komatsu, N., Hashizume, M., Sugita, T., Uemura, S. *J. Org. Chem.*, **1993**, *58*, 7624
- 17.- a) Davis, A.F., Reddy, T., Han, W., Carroll, P.J. *J. Am. Chem. Soc.*, **1992**, *114*, 1428; b) Davis, A.F., Weismiller, C., Murphy, C.K., Reddy, R.T., Chen, B-C. *J. Org. Chem.*, **1992**, *57*, 7274.

- 18.- a) Sakuraba, H., Natori, K., Tanaka, Y. *J. Org. Chem.*, **1991**, *56*, 4124;
b) Halterman, R.L., Jan, S-T., Nimmons, H.L. *Synlett.*, **1991**, 791.
- 19.- Holland, H.L. *Chem.Rev.*, **1988**, *88*, 473.
- 20.- Colonna, S., Gaggero, N., Carrea, G., Pasta, P. *J. Chem. Soc. Chem. Commun.*, **1992**, 357.
- 21.- Colonna, S., Gaggero, N., Casella, L., Carrea, G., Pasta, P. *Tetrahedron Asymm.*, **1992**, *3*, 95.
- 22.- a) Secundo, F., Carrea, G., Dallavalle, S., Franzosi, G. *Tetrahedron Asymm.*, **1993**, *4*, 1981; b) Carrea, G., Redigolo, B., Riva, S., Colonna, S., Gaggero, N., Battistel, E., Bianchi, D., *Tetrahedron Asymm.* **1992**, *3*, 1063; c) Pasta, P., Carrea, G. Holland, H.L., Dallavalle, S. *Tetrahedron Asymm.*, **1995**, *6*, 993; d) Ottolina, G., Pasta, P., Carrea, G., Colonna, S., Dallavalle, S., Holland, H.L. *Tetrahedron Asymm.*, **1995**, *6*, 1375.
- 23.- a) Youn, J.H., Hermann, R. *Tetrahedron Lett.* **1986**, *27*, 1493; b) Youn, J.H., Herrmann, R. *Synthesis*, **1987**, 72.
- 24.- a) Mislow, K., Simmons, T., Melillo, J.T., Ternary, A.L. *J. Am. Chem. Soc.*, **1964**, *86*, 1452; b) Jacobus, J., Mislow, L. *J. Am. Chem. Soc.*, **1967**, *89*, 5228.
- 25.- McKillop, A., Koyunsu, D., Knief, A., Dumont, W., Renier, D., Trobelsi, M. *Tetrahedron Lett.*, **1990**, *31*, 5007.

- 26.- a) Klunder, J.M., Sharpless, K.B. *J. Org. Chem.*, **1987**, *52*, 2598; b) Lee, A.W.M., Chan, W.H., Tao, Y., Lee, Y.K. *J. Chem. Soc., Perkin Trans.*, **1**, *1994*, 477.
- 27.- Pyne, S.G., Hajipour, A.R., Prabakaran, R. *Tetrahedron Lett.*, **1994**, *35*, 645.
- 28.- a) Block, E., *Angew Chem. Int. Ed. Engl.*, **1992**, *31*, 1135; b) Morris, C.J., Thompson, J.F. *J. Am. Chem. Soc.*, **1956**, *78*, 1605; c) Barry, T.N., Manley, T.R., Millar, K.R. *J. Agric. Sci. Camb.*, **1982**, *49*; d) Singh, N.S., Patwardhan, M.V., Madhov, D.L. *J. Sci. Food Agric.*, **1991**, *56*, 15.
- 29.- a) Morimitsu, Y., Morioka, Y., Kawakishi, S. *J. Agric. Food Chem.*, **1992**, *40*, 368; b) Sendl, A., Schiliack, W., Loeser, R., Stanislaus, F., Wagner, H. *Artherosclerosis*, **1992**, *94*, 79.
- 30.- Sendl, A., Elbl, G., Steinke, B., Redl, K., Breu, W., Wagner, H. *Plant. Med.*, **1992**, *58*, 1.
- 31.-Chasseaud, L.F., “*Glutathione, Metabolism and Function*”, Arias, I.M., Jacoby, W.B., Ed., Ravan Press, New York, **1976**, pag 77.
- 32.-Nakamura, S., Goto, K., Kondo, M., Naito, S., Bando, M., *Bioorganic & Medicinal Chemistry Letters*, **1996**, *6*, 937.
- 33.- Freeman, G.G., Whigham, R.J. *Phytochemistry*, **1976**, *15*, 521.

-
- 34.- Bueno, A.B., Carreño, M.C., Fischer, J., García Ruano, J.L., Peña, B., Peñas, L., Rubio, A. *Tetrahedron Lett.* **1991**, 32, 3191.
- 35.- a) Argoudelis, A.D., Herr, R.R. *Antimicrob. Ag. Chemother.*, **1962**, 780; b) Higashide, E.G., Hasegawa, T., Shibata, M., Mizuno, K., Akaike, M. *Takada Kenkysho Nempo*, **1966**, 25, 1.
- 36.- Owen, S.P., Dielz, A., Camiener, G.W. *Antimicrob. Ag. Chemother.*, **1962**, 772.
- 37.- Monro, R.E., Vazques, D. *J. Mol. Biol.*, **1967**, 28, 161.
- 38.- a) Ottenheijm, H.C.J., Liskamp, R.M.J. *Tetrahedron Lett.*, **1978**, 27, 2437; b) Ottenheijm, H.C.J., Liskamp, R.M.J. *Tetrahedron Lett.*, **1979**, 28, 387; c) Helquist, P., Shekhani, M.S. *J. Am. Soc.*, **1979**, 101, 1057; d) Liskamp, R.H.J., Zeegers, H.J.M., Ottenheijm, H.C.J. *J. Org. Chem.*, **1981**, 46, 5408; e) Ottenheijm, H.C.J., Liskamp, R.H.J., van Nispel, P.J.H., Boots, H.A., Tijhuis, M.W. *J. Org. Chem.*, **1981**, 46, 3273; f) Flynn, G.A., Ash, R.J. *Biochem. Biophys. Res. Comm.*, **1990**, 166, 673; g) Hwang, D-R., Helquist, P., Shekhani, M.S. *J. Org. Chem.*, **1985**, 50, 1264; h) Parry, R.J., Hayt, J.C., Li, Y. *Tetrahedron Lett.*, **1994**, 35, 7497
- 39.- Greene, T.W., Wuts P.G. “*Protective Groups in Organic Synthesis*”, Eds. John Wiley & Sons. New York U.S.A. **1991**, pag 17.
- 40.- a) Bruckner, R. en “*Comprehensive Organic Synthesis*”; Trust, B.M. y Flanigan, I. Eds, Academic Press. Oxford **1991**, Vol.4, pág.873; b) Hoffman, R.W., *Angew. Chem.Int.*, Ed. Engl. 18, 565, **1979**; c)

Hoffman, R.W. en “*Organic Sulfur Chemistry*”, Fredina, R.K., Skorova, A.E., Eds., *Pergamon Press*, New York **1981**, pág.64-80; d) Braverman, S. “*Chemistry of Sulfones and Sulfoxides*” e) Hill, K. en “*Asimetric Synthesis*”, Rollison, J.D., Ed. *Academic Press*, Orlando (Florida), **192**, Vol.3, pág.554-562.

- 41.- a) Bickart, P., Carson, F.W., Jacobus, J., Miller, E.G, *J. Am. Chem. Soc.*, **1968**, *10*, 4864; b) Tang, R., Mislow, K., *J.Am.Chem.Soc.*, **92**, **1970**, 200; c) Evans, D.A., Andrews, G.C., *Accounts. Chem. Research* **1974**, *7*,147.
- 42.- Raustenstrauch, V., *Chem Commun*, **1970**, *4*
- 43.- Hoffman, R.W., *Chem.Rev.* , **1989**, *89*, 1841.
- 44.- Goldmann, S., Hoffman, R.W., Maak, N., Geucke, K.J., *Chem. Ber.*, **1980**, *113*, 831.
- 45.- Hoffman, R.W., Goldmann, S., Gerlach, R., Maak, N., *Chem. Ber* **1980**, *113*, 845.
- 46.- a) Kodama, M., Shimada, K., Ito, S., *Tetrahedron Lett.*, **1977**, 2763; b) Brownbridge, P., Warren, S., *J. Chem. Soc. Perkins Trans 1*, **1977**, 1131.
- 47.- Yamagiwa, S., Sato, H., Hoshi, N., Kosugi, M., Vela, H., *J.Chem.Soc.*, Perkin Trans I. **1979**, 570.

-
- 48.- a) Kunieda, H., Nokami, J., Kinoshata, H., *Tetrahedron.Lett.*, **1974**, 3397; b) Mioskowski, C., Solladiè, G., *J. Chem. Soc. Chem. Comm.*, **1977**, 162; c) Mioskowski, C., Solladiè, G., *Tetrahedron*, **1980**, *36*, 227; d) Hoye, T.R., Kurth, M.J., *J. Org. Chem.*, **1980**, *45*, 3549; e) Onaka, M., Mukaiyama, T., *41st Annual Meeting of Chem.Soc.Jpn., Abstract II*, **1980**, 983 ; f) Tanikaya, R., Nashida, H., Ono, N., Ray, A., *Chem.Lett.*, **1980**, 1365.
- 49.- Cass, Q.B., Jaxc-Chamlec, A.A., Sammes, P.G., *J. Chem. Soc. Chem. Comm.*, **1981**, 1248.
- 50.- Tanikaga, R., Mozaki, Y., Tanaka, K., Kail, A., *Chem.Lett.*, **1982**, 1703.
- 51.- Tanikaya, R., Nozaki, Y., Tamura, T., Kail, A., *Synthesis*, **1983**, 135.
- 52.- Annunziata, R., Cinquini, M., Cozzi, F., Raimondi, C., Restelli, A., *Gazz. Chim. Ital.*, **115**, **1985**, 637.
- 53.- a) Nokami, J., Mandai, T., Nishimura, A., Takeda, T., Wakabayasi, S., *Tetrahedron Lett.*, **1986**, *27*, 5109; b) Nokami, J., Mondac, T., Imakusa, Y., Nishiuchi, N., Kawada, M., Wakabayashi, S., *Tetrahedron Lett.*, **1981**, *22*, 4489; c) Ono, T., Tamoaka, T., Yuasa, Y., Matsuda, T., Nokami, J., Wakabayoshi, S., *J. Am. Chem. Soc.*, **1984**, *106*, 7890.
- 54.- Kosugi, H., Kitaoka, M., Takahashi, A. Uda, H., *J. Chem. Soc. Chem. Comm.*, **1986**, 1268.

-
- 55.- a) Burgess, K., Henderson, I., *Tetrahedron Lett.*, **1984**, *30*, 3633; b) Burgess, K., Henderson, I., *Tetrahedron Lett.*, **1989**, *30*, 4325; c) Burgess, K., Cassidy, J., Henderson, I., *J. Org. Chem.*, **1991**, *56*, 2650.
- 56.- Burgess, K., Henderson, I., *Tetrahedron*, **1991**, *33*, 6601.
- 57.- Trost, B.M., Mallart, S., *Tetrahedron Lett.*, **1993**, *34*, 8025.
- 58.- a) Nokami, J., Nishimura, A., Sunami, M., Wakabayashi, S., *Tetrahedron Lett.*, **28**, *1987*, 649; b) Nokami, J., Taniguchi, T., Ogawa, Y., *Chem.Lett.*, **1995**, 43.
- 59.- a) Domínguez, E., Carretero, J.C., *Tetrahedron Lett.*, **1990**, *31*, 2427; b) Alcaraz, C., Carretero, J.C., *Tetrahedron Lett.*, **1991**, *32*, 1385; c) Carretero, J.C., Domínguez, E., *J. Org. Chem.*, **1992**, *57*, 3867; d) Trost, B.M., Grese, T.A., *J. Org. Chem.*, **1991**, *56*, 3184.
- 60.- Nokami, J., Taniguchi, A., Honda, M., Fukutake, S., *Tetrahedron Lett.*, **1995**, 1025.
- 61.- Kinieda, N., Nokami, J., Kinoshita, M., *Bull. Chem. Soc.Japan*, **1976**, *49*, 256.
- 62.- a) Kaneta, N., Mitamura, F., Llemura, M., Murata, Y., Komatsu, K., *Tetrahedron Lett.*, **1966**, *37*, 5385; b) Hunter, C.A., *Chem. Soc. Rev.*, **1994**, 101; c) Burley, S.K., Petsko, G.A., *Science* **1985**, *229*, 23; d) Ferguson, S.F., Sanford, E.M., Seward, E.M., Diedrich, F. *J. Am. Chem. Soc.* **1991**, *113*, 5410; e) Cozzi, F., Cinquini, M., Annunziata, R., Siegel, J.S., *J. Am. Chem. Soc.* **1993**, *115*, 5330; f) Amabilino,

-
- D.B., Ashton, P.R., Brown, C.L., Cordova, E., Godinez, L.A., Goodnow, T.T., Kaifer, A.E., Newton, S.P., Pietraskiewicz, H., Philp, D., Raymo, F.M., Reder, A.S., Rutland, M.T., Slawin, A.M.Z., Spencer, N., Stoddart, J.F., Williams, D.J. *J. Am. Chem. Soc.* **1995**, *117*, 1271; g) Hunter, C.A., *J. Mol. Biol.* **1993**, *230*, 1025; h) Adams, H. Carrer, F.J., Hunter, C.A., Morales, J.C., Seward, E.M. *Angew. Chem. Int. Ed. Engl.* **1996**, *35*, 1542.
- 63.- Pirkle, W.H., Finn, J.M., Schreiner, J.L., Hamper, B.C., *J. Am. Chem. Soc.*, **1981**, *103*, 3964.
- 64.- a) "Biotransformations in Preparative Organic Chemistry"; Davies H.G., Green, R.H., Kelly, D.R., Roberts, S.M. Eds; Academic Press, London **1989**, b) Yamada, H.; Shimizu, S. *Angew Chem Int. Ed. Engl.* **1988**, *27*, 622 y referencias incluidas; c) Wong, C-H.; Whitesides, G.M., "Enzymes in Synthetic Organic Chemistry", Baldwin, J.E.; Magnus, P.D. Eds, Pergamon. Oxford; **1994**.
- 65.- Santaniello, E., Ferraboshi, P., Grisenti, P., Manzocchi, A., *Chem. Rev.* **1992**, *92*, 1071 y referencias incluidas.
- 66.- Bostein, D., Shortle, D. *Science* **1985**, *229*, 1193.
- 67.- Schultz, P.G. *Angew. Chem. Int. Ed. Engl.* **1989**, *28*, 1283.
- 68.- Theil, F. *Chem. Rev.* **1995**, *95*, 2203 y referencias incluidas.

-
- 69.- a) Chen, C-S., Wu, S.H., Girdaukas, G.; Sih, C.J. *J. Am. Chem Soc.* **1987**, *109*, 2812; b) Yamamoto, K., Nishiota, T., Oda, J., Yamamoto, Y. *Tetrahedron Lett.* **1989**, *29*, 1717.
- 70.- Chen, C-S., Sih, C.I. *Angew. Chem Int. Ed. Engl.* **1989**, *28*, 695.
- 71.- Cygler, M., Grochulski, P., Kazlauskas, R.J., Scharg, J.D., Bouthillier, F., Rubin, B., Berrequi, A.N., Gupta, A.K., *J. Am. Chem. Soc.* **1994**, *116*, 3180.
- 72.- Kazlauskas, R.J., Weissfloch, A.N.E., Rappaport, A.T., Luccia, L.A. *J. Org. Chem.* **1991**, *56*, 2656.
- 73.- a) Kim, M.J., Choi, Y.K., *J. Org. Chem.* **1992**, *57*, 1605; b) Georgens, U., Schneider, M.P. *J. Chem. Soc. Chem. Commun.* **1991**, 1066.
- 74.- Bianchi, D., Battistel, E., Bosetti, A., Cesti, P., Fekete, Z. *Tetrahedron Asymm.* **1993**, *4*, 777.
- 75.- Belan, A., Bolte, J., Fauve, A., Gourey, J.G., Veschambre, H. *J. Org. Chem.* **1987**, *52*, 256.
- 76.- Stokes, T.M., Oehlschlager, A.C. *Tetrahedron Lett.* **1987**, *28*, 209.
- 77.- Nishio, T., Kamimura, H., Murata, M., Terao, Y., Achiwa, K. *J. Biochem.* **1989**, *105*, 510.
- 78.- Burgess, K., Henderson, I., *Tetrahedron Asymm.*, **1990**, *1*, 57.

-
- 79.- a) Dominguez, E., Carretero, J.C., Fernandez-Mayoralas, A., Conde, S., *Tetrahedron Lett.*, **1991**, 32, 5159; b) Carretero, J.C., Dominguez, E., *J. Org. Chem.* **1992**, 57, 3867.
- 80.- Jacobs, H.K., Mueller, B.H., Galopan, A.S., *Tetrahedron*, **1992**, 48, 8891.
- 82.- Kang, S-K., Park, Y-W., Kin, S-G., Jeon, J-H. *J. Chem. Soc. Perkin Trans 1* **1992**, 405.
- 83.- Leonard, M.J., Johnson, H.W. *J. Org. Chem.* **1962**, 27, 282.
- 84.- Trost, B.M., Curran, D.P. *Tetrahedron Lett.* **1981**, 22, 1287.
- 835.- Davies, S.G. “*Organotransition Metal Chemistry: Applications to Organic Synthesis*”. Pergamon Press, Oxford, England 192.
- 86.- a) Trost, B.M. *Tetrahedron* **1977**, 33, 2615; b) Trost, B.M., Accounts Chem. Research., **1980**, 13, 385; c) Tsuji, J. *Tetrahedron*, **1986**, 42, 4381; d) Godleski, S.A. “*Comprehensive Organic Synthesis*”, Trost, B.M. Ed., Pergamon press, Oxford, 199 , vol 4, pag 585; e) Consiglio, G., Waymouth, R.H. *Chem. Rev.*, **1989**, 89, 257.
- 87.- Shefly, F.K., Stille, J.K. *J.Am. Chem. Soc.* **1983**, 105, 7173.
- 88.- Tanikaga, R., Jun, T.X., Kaji, A., *J. Chem. Soc. Perkin Trans 1*, **1990**, 1185.

-
- 89.- Trost, B.M., Schmuff, N.R., Miller, M.J. *J. Am. Chem. Soc.* **1980**, *102*, 5979.
- 90.- Tsuji, J., Shimizu, I., Minami, I., Ohashi, Y., Takahashi, K.; Sugiura, T. *J. Org. Chem.* **1985**, *50*, 1523.
- 91.- Tanigawa, Y., Nishimura, K., Kawasaki, A., Muranashi, S. *Tetrahedron Lett.* **1982**, *23*, 5549.
- 92.- Atkins, K.E., Walter, W.E., Menyik, R.M. *Tetrahedron Lett.* **1970**, 3821.
- 93.- Hosomi, A., Hoashi, K., Kohra, S., Tominaga, Y., Otaka, K., Sakurai, J. *Chem. Soc. Chem. Commun.* **1987**, 570.
- 94.- Yamamoto, Y., Akimoto, M., Saito, O., Yamamoto, A. *Organometallics*; **5**, **1986**; 1559.
- 95.- Fiaud, J.C., Legros, J.Y. *J. Org. Chem.* **1987**, *52*, 1907.
- 96.- a) Tanikaga, R., Jun, T.X., Kaji, A. *J. Chem. Soc. Perkin Trans 1* **1990**, 1185; b) Murahashi, S., Tanigawa, Y., Imada, Y., Taniguchi, Y. *Tetrahedron Lett.* **1986**, *27*, 227.
- 97.- Julia, M., Nei, M., Saussime, L. *J. Organomet. Chem.* **1979**, *181*, C17.
- 98.- a) Tsuji, J., Sakai, K., Nagashima, H., Shimizu, I. *Tetrahedron Lett.* **1981**, *22*; 131; b) Hutchins, R.O., Learn, K., *J. Org. Chem.* **1982**, *47*, 4320.

- 99.- Ademark, B., Nystrom, J.E., Rein, T., Backvall, J.E., Helquist, P., Aslanian, R. *Tetrahedron Lett.*, **1984**, 25, 5719.
- 100.- Trost, B.M., Yashida, J., Lautens, H. *J. Am. Chem. Soc.* **1983**, 105, 4494.
- 101.- Miyaura, N., Yanu, T., Suzuki, A. *Tetrahedron Lett.* **1980**, 21, 2865.
- 102.- Hutchins, R.O., Learn, K. *J. Org. Chem.* **1982**, 47, 4380.
- 103.- Legros, J.Y., Fiaud, J.C. *Tetrahedron Lett.* **1990**, 31, 7453.
- 104.- a) Zhu, L., Wehmeyer, R.M., Rieke, R.D. *J. Org. Chem.* **1991**, 56, 144 ; b) Hayashi, T., Konishi, H., Yokota, K., Kumada, H. *J. Chem. Soc. Chem. Commun.* **1987**, 313.
- 105.- Trost, B.M., Weber, L. *J. Am. Chem. Soc.* **1975**, 97, 1611.
- 106.- Trost, B.M., Verhoeven, T.R. *J. Org. Chem.* **1976**, 41, 3215.
- 107.- Trost, B.M., Herdon, J.W. *J. Am. Chem. Soc.* **1984**, 106, 6835.
- 108.- Greenspoon, N., Keinan, E. *J. Org. Chem.* **1988**, 53, 3723.
- 109.- Overman, L.E., Knoll, F.M. *Tetrahedron Lett.* **1979**, 20, 2301.
- 110.- Fiaud, J.C., Aribizovioche, L. *J. Chem. Soc. Chem. Commun.* **1986**, 390.

- 111.- a) Moreno-Mañas, M., Ribas, J. *Tetrahedron Lett.* **1989**, *30*, 3109.; b)
Prats, M., Moreno-Mañas, M. *Tetrahedron* **1992**, *48*, 1695.
- 112.- Zhu, Z., Lu, X. *Tetrahedron Lett.* **1987**, *28*, 1897.
- 113.- Godleski, S.A., Vilhaver, E.B. *J. Org. Chem.* **1986**, *51*, 486.
- 114.- Tsuji, J., Ueno, H., Kobayashi, Y., Okumoto, H. *Tetrahedron Lett.* **1981**, *22*, 2973.
- 115.- Jackson, W.K., Strauss, J.V. *Austr. J. Chem.* **1977**, *30*, 553.
- 116.- Hiroi, K., Hiroshi, O., Arinaga, Y. *Chem. Lett.* **1995**; 1099.
- 117.- Marino, J.P., Laborde, E. *J. Am. Chem. Soc.* **1988**, *110*, 966.
- 118.- Garcia Ruano, J.L., González, A.M., Barcena, A.I., Camazón, M.J.,
Navarro-Ranninger, C. *Tetrahedron Asymm.* **1996**, *7*, 139; b) Alvarez-
Valdez, A., García Ruano, J.L., López-Solera, J., Massaguer, J.R.,
Navarro-Ranninger, C., Rodriguez, J.H. *Organometallics* **1993**, *12*,
4104.
- 119.- a) Lippard, S.J. “*Platinum and other Metal Chemotherapeutic Agents*”
(ACS, Sym. Ser.; **1993**, 209).; b) Melason, R., Chevrotiere, C., Rochon,
F. *Acta Crystallogr. Sect. C*; **1985**, *41*, 1428.; c) Kagan, H.B., Ronan,
B. *Rev. Heteroatom. Chem.* 1992, vol 7, 92.; d) Annibale, G., Tobe,
M.L. *J. Chem. Soc. Dalton Trans* **1989**, 1265.

- 120.- Demole, E., Berthet, *Helv. Chim. Acta* **1972**, *55*, 1866.
- 121.- a) Kosugi, H., Tagami, K., Takahashi, A., Kanna, H., Uda, H. *J. Chem. Soc. Perkin Trans I* **1989**, 935.; b) Ward, R.S. *Tetrahedron* **1990**, *46*, 5029.
- 122.- Posner, G.H., Kogan, T.P., Haines, S.R., Frye, L.L. *Tetrahedron Lett.* **1984**, *25*, 2627.
- 123.- Carretero, J.C., Garcia Ruano, J.L., Lorente, A., Yuste, F. *Tetrahedron Asymm.* **1993**, *4*, 177.
- 124.- Iwai, K., Kosugi, H., Uda, H. *Chem Lett.* **1975**, 921.
- 125.- Watanabe, M., Shirai, K., Kumamoto, Y. *Chem. Lett.* **1975**, 855.
- 126.- Barbier, P., Benezra, C. *Tetrahedron Lett.* **1982**, *23*, 3511.
- 127.- Posner, G.H., Kogan, T.P., Haines, S.R., Frye, L.L., *Tetrahedron Lett.*, **1984**, *25*, 2627.
- 128.- Holton, R.A., Kim, H.B. *Tetrahedron Lett.* **1986**, *27*, 2191.
- 129.- Corey, E.J., Venkateswarlu, A. *J. Am. Chem. Soc.* **1974**, *94*, 6190.
- 130.- Posner, G.H., Tang, P.W., Mallamo, J.P. *Tetrahedron Lett.* **1978**, *42*, 3995.

-
- 131.- Baker, R., Cummings, W.J., Haynes, J.F., Kumar, A. *J. Chem. Soc. Chem. Commun.* **1986**, 1237.
- 132.- Thomas, E.J., Williams, A.C. *J. Chem. Soc. Chem. Commun.* **1987**, 992.
- 133.- Corey, E.J., Ponder, J.W., Ulrich, P. *Tetrahedron lett.* **1981**, *21*, 137.
- 134.- Nicolau, K.C., Webber, S.E. *Synthesis* **1986**, 453.
- 135.- Brown, H.C., "Organic Synthesis via Boranes", Wiley, New York, **1975**, pag 256.
- 136.- Still, W.C., Khahn, M., Mitra, A., *J. Org. Chem.* **1978**, *43*, 2923

Acta de la reunión del Comité Científico de la SEVILLA

Reunido el Tribunal compuesto por los abajo firmados en el día de 28 febrero, para juzgar la Tesis Doctoral

D. VICTOR J. GUERRERO DE LA ROJA

Sulfoxídos y Bis-Sulfoxotriquicloro: Preparación
y Aplicaciones Sintéticas

acordó admitir la tesis para su examen. Apto "cum laude" por
unánimidad

28 febrero 1983.

1.8.93

El Vocal,

H. Trujillo

El Vocal,

H. Trujillo

El Secretario,

J. R. Ruiz

El Doctorado,

Victor J. Guerrero

F. Alberme
A. Arribalzaga
V. J. Guerrero